2 6 4 11 1 8 8 6 6 Г Д О К Л А Д Ы

LIII, № 4 1971

ամբագրական կոլեգիա

է. Գ. ԱՖՐԻԿՑԱՆ, կենսաբանական զիտությունների թեկնածու, Ա. Թ. ԲԱԲԱՑԱՆ,
2002 ԳԱ ակադեմիկոս, Ա. Ա. ԹԱԼԱԼՅԱՆ, 2002 ԳԱ թղթակից-անդամ, Վ. Մ.
ԹԱՌԱՑԱՆ, 2002 ԳԱ թղթակից-անդամ,
Վ. Հ. ՀԱՄՐԱՐՋՈՒՄՑԱՆ, ակադեմիկոս, Վ. Հ.
ՂԱԶԱՐՅԱՆ, ՀՍՍՀ ԳԱ թղթակից-անդամ
(պատ. խմբազբի տեղակալ), Ս. Հ. ՄԻՐՋՈՅԱՆ, ՀՍՍՀ ԳԱ թղթակից-անդամ, Ս. Ս.
ՄԿՐՏՉՑԱՆ, ՀՍՍՀ ԳԱ ակադեմիկոս, Ա. Գ.
ՆԱՋԱՐՈՎ, ՀՍՍՀ ԳԱ ակադեմիկոս (պատխմթագիբ), Օ. Մ. ՍԱՊՈՆՋՑԱՆ, ՀՍՍՀ ԳԱ
թղթակից-անդամ. Մ. Լ. ՏԵՐ-ՄԻՔԱՅԵԼՅԱՆ,
ՀՍՍՀ ԳԱ թղթակից-անդամ։

Редакционная коллегия

В А АМБАРЦУМЯН, академик, Э. Г. АФРИКЯН, кандидат биологических наук. А. Т. БАБАЯН, академик АН АрмССР, В. О. КАЗАРЯН, чл-корр. АП АрмССР (зам. отв. редактора), С. Л. МИРЗОЯН, чл.-корр АН АрмССР, С. С. МКРТЧЯН, академик АН АрмССР, А. Г. НАЗАРОВ, академик АН АрмССР (отв. редактор), О. М. САПОНДЖЯН, чл.-корр. АН АрмССР, В. М. ТАРАЯН. чл.-корр. АН АрмССР, В. М. ТАРАЯН. чл.-корр. АН АрмССР М. Л. ТЕР-МИКАЕЛЯН, чл.-корр. АН АрмССР. ССР.

የብዺԱՆԴԱԿበՒԹՑՈՒՆ

เกเเคยนแรกจน

անդեր - Վոնարյագինի - Մ տարածության մեջ տեղաչարժի օպերատորի	
իզոմեարիկ լայեացումները	
Ռ. Հ. Նագաբյան— <i>Որո- իրական պար</i> զ <i>Լիի խմբերի վերլուծումեերի մասին</i>	
Ռ. Ս. Դավթյան—Ձափելի ֆունկցիահերը ֆուրյեի ինտեցրալներով ներկայացման	
Jumph	
Դ. Հ. Մելքումյան—Ֆունկցիոնալ հավասարումների կալունու թյա ն ինտեգրալային	
չափանիչ	200
ԱՈԱԶԳԱԿԱՆՈՒԹՑԱՆ ՏԵՍՈՒԹՑՈՒՆ	
5ու Ս. Նչանյան <i>— Բաղադրյալ կիսանարթության առանցջատիմետրիկ խառը խեղբի</i> մասին	211
shahuu	
Գ. Մ. Ավագյանց, Վ. Մ. Հաբությունյան, Ռ. Ս. Բաբոնդյան— p+nn+ ստրուկտու-	
ևայի վոլաավպերային բնութագծի վրա բացասական դիմադրության Հատվածի ձևավո-	***
hunte	210
นบรานารการคราหา	
Դ. Ա. Գուբզադյան, է. Ա. Ղազաբյան, Մ. Ն. Քրմոյան, Ռ. Ա. Եփբեմյան—Қ—2 Հրքի-	
ռային աստղադիտարանը	224
անորդանական ՔԻՄԻԱ	
Վ. Մ. Բառայան, Ժ. Մ. Առստամյան—Հիմնային ներկերով անտիմոնի էքստրակ-	
ցիայի ժեխանիզմի մասին	231
048แสนา 2แบนชกบษา	
Ս. Ա. Ջոնշաբյան—Նոր տվյալներ Ղափանի պզինձ-բազմամետադային Հանքավայրի	
ստրուկաուրային և մագմատիկ վերահսկման մասին	230
<u>ዓեብ ዶክ ሆኮ ሀ</u>	
It. Գ. Գևուզյան. Հ. Հ. Գոիզույան—Կայծթարի և ալյումինիումի վարթագիծը Ղափա- Եի Հանջային դաչտի ալկալահողային Հրարխային դիֆերենցիատների թյուրեղացման Համանակ	243
4050950550	
րիրֆիջիկԱ	
Գ. Լ. Ղարաբլյան, Ս. Ս. Հովճաննիսյան—Հետադարձ կերպով կարգավորվող թիու Հիմիական չղթայի ռեակցիաների ինքնատատանման ռեժիմի հետազոտումը	245
የ ኮበ4 ኮሆኮዚ	
Ա. Ա. Գալոյան, Մ. Վ. Օնանյան, Հ. Գ. Գևուգյան—Արյան մեջ գտնվող պսակաձն անոքները լայնացնող նյուքնրի անջատումը և նրանց որոշ Հատկությունները	254

СОДЕРЖАНИЕ

МАТЕМАТИКА	Стр
Ф. И. Ландер—Расширения изометрических оператиров сдвига в простран- Р. О. Назарян—О разложении некоторых простых вещественных групп Ли Р. С. Дантян—О представлении измеримых функций интегралами Фурье Л. О. Мелкумян—Интегральный признак устойчивости функциональных уравнений	100
теория упругости	
Ю С Ншанян—О смешанной осесняметричной задаче для составного полу- пространства	
Г. М. Авакьянц. В. М. Арутюнян, Р. С. Барсегян—Формирование участка отринательного сопротивления на вольтамперной характеристике р пп+ структур	218
АСТРОНОМИЯ	
Г. А. Гупзадян, Э. А. Казарян, М. Н. Крмоян, Р. А. Епремян—Ракетная астрофизическая обсерватория К-2	224
НЕОРГАНИЧЕСКАЯ ХИМИЯ	
В М. Тараян, Ж. М. Арстамян—К вопросу о химизме экстракции сурьмы основными красителями	231
полезные нскопаемые	
С. А. Зограбян—Новые данные о структурном и магматическом контроле оруденения на Кафанском медно-полиметаллическом месторождении	236
пеохимия при	
Р Г Геворкян Г О Грисорян—О поведении кремния и алюминия при кристаллизации щелочно-земельных пулканических дифференциатов в Кафанском рудном поле (Армянская ССР)	243
БИОФИЗИКА	
Г. Л. Кантарі) жян. С. С. Оганесян—Исследованне автоколебательного режима в бнохимических цепных реакциях с обратной связькі	248
виохимия	
А. А Галоян, М В Оганян, Г. Г. Геворкян—Выделение и некоторые свойства находящихся в крови коронароактивных веществ	254

УДК 517 948 35

MATEMATHKA

Ф. И. Ландер

Расширения изометрических операторов сдвига в пространстве Понтрягина П⁽ⁿ⁾

(Представлено вкадемиком АН Армянской ССР М. М. Джрбашяном 12/V 1971)

1. Пусть $\Pi^{(n)}$ *n*-мерное пространство Понтрягина (¹), e_0 , e_1 , ..., e_{n-1} —базис $\Pi^{(n)}$, V—оператор сдвига этого базиса: $Ve_1 = e_{k+1}$, $k = 0,1,\cdots,n-2$), изометрический по отношению к индефинитной метрике (x,y) пространства $\Pi^{(n)}$. При этом матрица Грама базиса является тёплицевой эрмитовой:

$$(e_1, e_j) = c_{i-1}, i, j = 0, 1, \dots, n-1$$
 (2).

Введем обозначения (при $k=0,\ 1,\cdots,\ n-1)$: $\Delta_k=|c_{\ell-i}|^k$ о $(\Delta_{-1}=1);$ алгебраическое дополнение (минор) соответствующего элемента определителя $\Delta_{n-1}, \ldots, (u_1, \cdots, c_{n-1})=$ $=A_{k_0}u_0+A_{k_1}u_1+\cdots+A_{k_n-1}u_{n-1}; \ d_k(i)=d_k(1,i,\cdots,i^{n-1})$ (так как $\Delta_{n-1}\neq 0$, то $(\lambda)\equiv 0$). Обозначим также

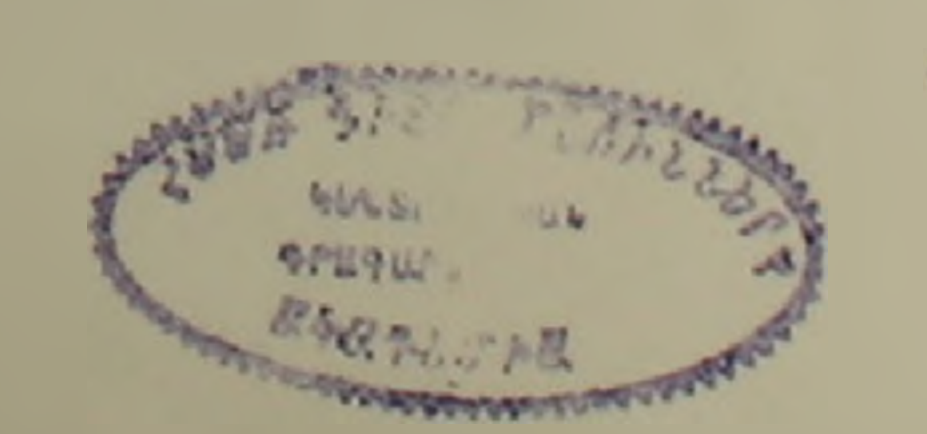
$$\Delta_{n}(\zeta, \overline{\gamma}) = \begin{vmatrix} c_{0} & c_{-1} & \cdots & c_{-n+1} \\ c_{1} & c_{0} & \cdots & c_{-n+2} & c_{-n+1} \\ \vdots & \vdots & \ddots & \vdots \\ c_{n-1} & c_{n-2} & \cdots & c_{0} & c_{-1} \\ \zeta & c_{n-1} & \cdots & c_{1} & c_{0} \end{vmatrix}$$
 (1)

В (2) установлено следующее

Предложение. Расширение U изометрического оператора V совига является унитарным оператором тогда и только тогда, когда $Ue_{n-1} = \alpha_0 e_0 + \dots + \alpha_{n-1} e_{n-1}$, го числа $\alpha_0 e_0 + \dots + \alpha_{n-1} e_{n-1}$, являются решением системы

 $c_{-k}a_0 + c_{-k+1}a_1 + \cdots + c_{-k+n-1}a_{n-1} = c_{-k+n}, k = 0, 1, \cdots, n-1, c_n = \zeta,$ в которой и удовлетворяет уравнению $\Delta_n(\zeta, \overline{\zeta}) = 0$, определяющему на плоскости C^1 при $\Delta_{n-2} \neq 0$ —окружность, при $\Delta_{n-2} = 0$ —прямую линию. При этом

$$a_{k}(\zeta) = \Delta_{n-1}^{-1} d_{k}(\zeta, c_{n-1}, \cdots, c_{n-1}, c_{n-1}, c_{n-1}).$$
 (2)



Применяя детерминантное тождество Сильвестра (*) к определителю (1) и его минору M_{0k} (порядка n-1) и полагая $A_{0n}=0$, $a_n(\zeta)=-1$, получаем (при $k=0,1,\cdots,n$)

$$A_{k0} \Delta_n (\mathbf{x}, \mathbf{y}) = -\Delta_{n-1} [\overline{a_{n-k}(\mathbf{y})} + \overline{a_0(\mathbf{y})} \, \mathbf{a}_k(\zeta)], \tag{3}$$

откуда при k=0 и $\nu=3$ вытекает (см. также (4))

$$\Delta_{n-2}\Delta_n(\zeta,\overline{\zeta}) = \Delta_{n-1}^2 \left[1 - |\alpha_0(\zeta)|^2\right]. \tag{4}$$

При $\Delta_{n-2}=0$ имеем $z_0(\zeta)={\rm const}, |z_0(\zeta)|=1, {\rm откуда}$ и следует, что уравнение $\Delta_n(\zeta,\zeta)=0$ определяет (при $\Delta_{n-2}=0$) прямую линию (ср. (1)).

Расширения U оператора V, определенные равенством $Ue_{n-1}==a_0(\zeta)e_0+a_1(\zeta)e_1+\cdots+a_{n-1}(\zeta)e_{n-1}$, будем обозначать через U_ζ , оговариван там. где это необходимо, их унитарность (при $\Delta_n(\zeta,\zeta)=0$). Заметим, что при $\Delta_{n-2}=0$ унитарные операторы U_ζ обладают любопытным свойством: если операторы U_{ζ_1} (t=1, m) унитарны и $\zeta_0=(\zeta_1+\cdots+\zeta_m)m^{-1}$, то оператор $m^{-1}(U_{\zeta_1}+\cdots+U_{\zeta_m})=U_{\zeta_m}$ также унитарен, что приводит к равенству

$$m(U_{-} + \cdots + U_{-})^{-1} = m^{-1}(U_{-}^{-1} + \cdots + U_{-}^{-1}).$$

2. Обозначим (при $k = 1, 2, \dots, n; c_n = \zeta$)

$$\Delta_{k}(\lambda) = \begin{vmatrix} c_{0} & c_{-1} & \cdots & c_{-k+1} & 1 \\ c_{1} & c_{0} & \cdots & c_{-k+2} & \lambda \\ \vdots & \vdots & \ddots & \ddots & \vdots \\ c_{k-1} & c_{k-2} & \cdots & c_{0} & \lambda^{k-1} \\ c_{k} & c_{k-1} & \cdots & c_{y} & \lambda^{k} \end{vmatrix}, \ \Delta_{0}(\lambda) = c_{0}.$$
 (5))

Характеристический многочлен оператора U: имеет вид

$$\psi_{1}(\lambda) = \lambda^{n} - \alpha_{n-1}(\zeta) \lambda^{n-1} - \dots - \alpha_{1}(\zeta) \lambda - \alpha_{0}(\zeta) =$$

$$= \Delta_{n-1}^{-1} \Delta_{n}(\lambda) = -\frac{1}{2} [C(\lambda) - \zeta B(\lambda)], \text{ где } C(\lambda) = \Delta_{n-1} \psi_{0}(\lambda),$$

 $A_{ij} = A_{n-1-1}$, справедливого для эрмитовых матриц, симметричных относительно побочной диагонали).

Все дальнейшие предложения о собственных числах операторов $U_{\mathfrak{t}}$ являются также предложениями о нулях многочленов, ортогональных относительно последовательности c_0, \ldots, c_n (см. $(^{4,\,5})$), причем обычное ограничение $\Delta_k \neq 0$ ($k=0,\ldots,n-2$) нами не налагается

Если $f(i) = a_m i^m + \cdots + a_1 i + a_n$ то по определению $f^*(i) = \overline{a_0} i^m + \overline{a_1} i^{m-1} + \cdots + \overline{a_m}$.

Применяя к определению $\Delta_n(I)$ и его минору $A_n = 0$ детерминантное тождество Сильвестра, получаем*

$$\Delta_{n-2} \Delta_n (i) = \Delta_{n-1} [i \Delta_{n-1} (i) - (c_n) \Delta_{n-1} (i)]. \tag{6}$$

Из (3) следует

$$\Delta_{n-1}^*(\lambda)\Delta_n\left(\zeta, \quad \overline{\mathbf{v}}\right) = \Delta_{n-1}^2\left\{\psi_{\mathbf{v}}^*(\lambda) + \overline{\mathbf{a}_{\mathbf{v}}(\mathbf{v})}\psi_{\mathbf{v}}(\lambda)\right\}. \tag{7}$$

Заметим, что (6) можно получить из (7), и обратно.

3. Как и в (*), введем вектор h_1 , ортогональный к подпространству $R_1(\lambda) = (V - \lambda I) D_V$, где $D_V = \pi.o.$ $\{e_k\}$. При нормировке $(h_1, e_0) = 1$ имеем

$$h_{\lambda} = \Delta_{n-1}^{-1} \left[d_{0}(\lambda) \cdot e_{0} + d_{1}(\lambda) \cdot e_{1} + \cdots + d_{n-1}(\lambda) \cdot e_{n-1} \right],$$

$$(h_{\lambda}, h_{\mu}) = -\Delta_{n-1}^{-1} \Psi(\overline{\lambda}, \mu), \quad (h_{\lambda}, h_{\lambda}) = -\Delta_{n-1}^{-1} \Psi(\overline{\lambda}, \lambda),$$

где через Ψ (λ , μ) обозначен определитель (впервые, по-видимому, рассматривавшийся Кронекером (1), см. также ($^{8-10}$))

$$\Psi_{\cdot}(\lambda, \mu) = \begin{vmatrix} 0 & 1 & \lambda & \cdots & \lambda^{n-1} \\ 1 & c_0 & c_{-1} & \cdots & c_{-n+1} \\ \mu & c_1 & c_0 & \cdots & c_{-n+2} \\ \mu^{n-1} & c_{n-1} & c_{n-2} & \cdots & c_0 \end{vmatrix} = -\sum_{i,j=0}^{n-1} A_{ij} \lambda^{j} \mu^{i}.$$
(8)

Так как $\Delta_{n-1} \neq 0$, то $\Psi'(i_0, \lambda) \neq 0$ ни при каком — Из тождестна $A_{ij} = \overline{A}_{n-1-i, n-1-j}$ следует (см. также (10)).

$$\Psi(\lambda^{-1}, \mu^{-1}) = (\lambda \mu)^{1-n} \Psi(\mu, \lambda). \tag{9}$$

Имеет место

Лемма 1. Если U_z унитарный оператор и $U_z = i z_i$ ($z_i \neq 0$), ито $z_i = h_{\lambda^*}(\lambda^* = \overline{\lambda}^{-1})$.

Поскольку $d_{n-1}(\lambda^{-1}) = \lambda^{1-n} B(\lambda)$, то справедлива

Лем ма 2. Вектор принаилежит D_1 тогда и только тогда, когда $\Delta_{n-1}^*(i_0)=B(i_0)=0$.

Следствие 1. Ни один из корней многочлена $\Delta^*_{-1}(\lambda)$ не мо-жет быть собственным числом оператора U_1 .

Таким образом, многочлены $\Delta_n(\lambda)$ и $\Delta_{n-1}^*(\lambda)$ взаимно просты (при $\Delta_{n-1} \neq 0$)*.

Внедем теперь дробно-рациональную функцию

$$\zeta(\lambda) = \frac{C(\lambda)}{B(\lambda)}$$

она не имеет устранимых особых точек и не может иметь более

^{*} Доказательство тождества (б), приведенное в (4), в случае Де 0 должне обыть дополнено соображениями непрерывности.

n-1 полюсов. Имеет место

Теорема 1. Число принадлежит $z(U_n)$ (спектру U_n) тогова и только тогов, когда $B(v_0)=0$ и $v_0=\zeta(v_0)$.

Многочлены $\Delta_n(\lambda)$ и $\Delta_{n-1}(\lambda)$ имеют общие кории тогда и только тогда, когда $\Delta_n(0)=0$ ($a_0(c_n)=0$), при этом $\Delta_{n-2}\neq 0$ и $\Delta_n(\lambda)=\Delta_{n-1}^{-1}\Delta_{n-1}(\lambda)$.

4. Пусть ξ_{n-1} , η_{n-1} соответствующие координаты векторов x, у в базисе e_0 , e_1 , ..., e_{n-1} . Тогда

$$(U,x, U,y) - (x, y) = -\Delta_{n-1}^{-1} \left[\tau_{n-1} \Delta_n(\zeta, y) \right].$$

Если $x=z_{\mu},\ y=z_{\mu},\ U\,z_{\mu}=\mu\,z_{\mu},\ To$

$$(1-\iota \mu)(z_1, z_n) = \Delta_{n-1}^{-1} z_{n-1} \eta_{n-1} \Delta_n (z, \nu). \tag{11}$$

При $i = \mu$ формула (11) переходит в формулу (4) из (2) (см. также (5)). Из (11) вытекает

Teopema 2. a) Ec.111 $\iota_0 \in \mathfrak{s}(U_1)$, $\iota_0 \in \mathfrak{s}(U_1)$, $mo = 0^{\circ}$.

6) Ecau $r_0 \in \sigma(U_1)$, $u \in \sigma(U_1)$, $u \in \sigma(U_2)$, $u \in$

Из а) следует (при $\zeta = v$) вторая часть теоремы 2 из (5).

Из теоремы 2 заключаем, что $\Delta_n[1(\lambda), \overline{1(\lambda^*)}] \equiv 0$, откуда получаем:

$$\Delta_{n}\left[\zeta(\lambda), \overline{\zeta(\mu)}\right] = -\Delta_{n-1} z_{0} \left[\zeta(\lambda)\right] \left[\overline{\zeta(\mu)} - \overline{\zeta(\lambda^{\circ})}\right]. \tag{12}$$

Следствие 2. Оператор $U_{\zeta(\lambda_0)}$ унитарен тогда и только тогда, когда $\zeta(r_0) = \zeta(r_0^*)$.

Из (11) и (12) выводим:

$$\Delta_{n-1}(i\mu-1)\Psi(\mu, i)=B(i)\overline{B(\mu)}\Delta_{n}[\zeta(i),\overline{\zeta(\mu)}], \qquad (13)$$

$$(1 - i\mu) \Psi(\overline{\lambda}, \mu) = \overline{\alpha_0[\xi(\lambda)]} B(\lambda) B(\mu)[\xi(\mu) - \xi(\lambda^*)]. \tag{14}$$

Так как $a_0[\zeta(\iota)] \Delta_{n-1}^*(\iota) \equiv \iota \Delta_{n-1}(\iota)$, то

$$(\iota - \mu) \Psi (\iota^{-1}, \mu) \iota^{n-1} = -B(\iota) B(\mu) [\zeta(\iota) - \zeta(\mu)]$$
 (15)

Обозначим $\Psi'(i^{-1}, n) \lambda^{n-1} = \Phi(i, \mu)$, тогда

$$(x - \mu) \Phi(x, \mu) = -B(x)B(\mu)[\zeta(x) - \zeta(\mu)]$$
 (15')

Следствие 3. Оператор и унитарен тогда и только тогда, когда выполняется (при $B(r_0) \neq 0$) хотя бы одно из равенств:

a)
$$|r_0| = 1$$
 $(r_0 = r_0)$, 6) $\Psi(\bar{r_0}, r_0) = 0$ $(\Phi(\bar{r_0}, r_0) = 0)$.

Из (15') можно получить $\zeta'(\lambda) = -B^{-2}(\lambda) \Phi(\lambda, \lambda)$, в силу чего $\Phi(\lambda^*, \lambda) = 0$ ($\Psi(\lambda, \lambda) = 0$) на единичной окружности (см. также (°)).

[&]quot; а) следует также из (7) и следствия 1.

Заменив в (15) $\zeta(r)$ на $C(r)B^{-1}(r)$, получаем (ср. с (°))

$$(\nu - \mu) \Phi (\lambda, \mu) = -\Delta_{n-1} [\Phi (\nu) B (\mu) - \mu) B (\nu)],$$
 (16)

откуда, в частности, вновь можно получить следствие 1.

Полагая в (16) $\mu = \ell_0$, $\zeta = \zeta(\ell_0)$, находим

$$\psi_{2(1_0)}(\lambda) = -\Delta_{n-1}^{-1} B^{-1}(r_0) \Phi(\lambda_0, \mu)$$
 (17)

Следствие 4. Число ι_0 ($B(\iota_0) \neq 0$) является кратным корнем многочлена $\iota_{(\iota_0)}(\iota)$ тогда и только тогда, когда

$$\Phi(i_0, i_0) = 0((h - h_i) = 0).$$

Следствие 5. Существует не более 2n-2 значений л. (значений ζ), которые могут быть кратными корнями многочленов $\psi_{-}(L)$ (при которых многочлены $\psi_{+}(L)$ имеют кратные корни).

5. Алгебранческую кривую, определяемую уравнением $\Psi(\ell, \lambda) = 0$, обозначим L_0 (если матрица $C_{\ell-1} I_{\ell-1}^{n-1}$ дефинитна, то L_0 является пустым множеством). Из (9) следует, что L_0 симметрична относительно единичной окружности. Перефразируя следствие 3, получаем, что геометрическим местом собственных чисел унитарных операторов U_1 является объединение единичной окружности и линии L_0 за вычетом (возможно лежащих на них) корнен многочлена $B(\ell)$.

Лемма 3. Если $\Delta_{n-2} \neq 0$ (и $\Delta_{n-1} \neq 0$), то среди корней многочлена B(i) нет симметричных относительно единичной окружности, в том числе на 'ней лежащих, и нет корней, лежащих на линии L_0 . Если же $\Delta_{n-2} = 0$, то множество (ненулевых) корней многочлена B(i) симметрично относительно единичной окружности, и все они лежат на ее объединении с линией

Случай x = 1 (x = n - 1) выделяется своей простотой: имеет место Лемма 4. Если x = 1 (x = n - 1), $B(\iota_n = 0)$ ($\iota_0 = 0$) и $\iota_n = 0$, то $\iota_{n-1} \Psi(\iota_n, \iota_n) > 0$ ($\iota_n = 0$), $\iota_n \in \iota_n \in L_0$.

6. Дадим следующие определения (ср. с (11)): унитарный оператор U в пространстве Π_* называется эллиптическим (параболическим, гиперболическим), если он имеет х-мерное положительное инвариантное подпространство (если $\mathfrak{I}(U)$ целиком лежит на единичной окружности, но U не является эллиптическим; если U не является ни эллиптическим, ни параболическим оператором)

Можно привести (при n > 2) примеры операторов V, не допускающих эллиптических (эллиптических и параболических) расширений U_1 . Что касается гиперболических расширений, то имеет место (для x = 1 доказанная в $\binom{11}{2}$).

Теорема 3. Изометрический оператор V савига в пространстве $\Pi^{(n)}$ всегой допускает гиперболические расширения U. Множество соответствующих соткрыто на линии, определяемой уравнением $\Delta_n(\zeta, \zeta) = 0$. Граничные точки этого множества соответствуют параболическим U.

Доказательство этой теоремы приведено в (12). Иное доказательство можно получить рассуждение от противного: если при $|\lambda| > 1$ будет $\Psi(\lambda, \lambda) > 0$ (< 0), то при $|\lambda| = 1$ будет $\Psi(\lambda, \lambda) > 0$ (< 0). Но тогда собственные векторы унитарного оператора U_{-} с простым спектром, лежащим на единичной окружности, образуют ортогональный базис, состоящий только из положительных или только из отрицательных векторов (см. следствия 4, 5), что приводит к положительности или отрицательности формы (x, y).

В заключение заметим, что из формулы (11) и теоремы 2 следует, что число корией многочлена $\psi_{\epsilon}(t)$, лежащих вие единичного круга постоянно для всех ζ , удовлетворяющих неравенству $(-\zeta) > 0$ (< 0), откуда немедленно вытекает теорема 2 из (5).

Автор пользуется случаем выразить глубокую благодарность. И. С. Иохвидову за руководство и постоянное внимание к работе.

Воронежский государственный педагогический институт

5. Ի. ԼԱՆԴԵՐ

Պոնտոյազինի П⁽⁺⁾ տառածության մեջ տեղաչառժի օպեռատուի իզոմետոիկ լայնացումները

րիցի գլխավոր մինորների վրա առանց սահմանափակումներ դնելու)։

Ուսումնասիրվում են Պոնտրյադինի [[ˈո] վերջավոր չափանի տարածության մեջ \ իզոմետրիկ օպերատորի լայնացումները։ Ստացված են այդպիսի
շանկացած չ-ի համար \ x < n, այդպիսի օպերատորն ունի հիպերթոլիկ
լայնացումներ։ Միաժամանակ ստացված են օրթողոնալ բաղմանդամների վելայնացումները մինորեմների նոր ապացույցներ (համապատասխան մատլայնացումները մինորեմների վրա առանց սահմանափակումներ դնելու)։

ЛИТЕРАТУРА — ЧРЦЧЦЪПЪРВЯВЪ

1 И. С. Иохвидов, М. Г. Крейн, Тр. Моск матем. общ., 5, 169 (1956), 8, 413 (1959), 2 И. С. Иохвидов, ДАН СССР, 173, № 5, 1002 (1967), 3 Ф. Р. Гантмалер, Теория матриц, М., 1967, 4 Я. Л. Геронимус, Уч. записки ХТУ, 35 (1948), 5 М. Г. Крейн, Теория функций, функц анализ и их прилож., вып. 2, 131 (1966), 6 Ф. И. Ландер, Расширения операторов сдвига в пространстве Понтрягина, ДАН СССР, 199, № 3, 529 (1971), 1 L. Kronecker, Sitzungsber, Akadem. Berlin, 1881. 4 G. Frobentus, Sitzungsber, der Königl. Preuss. Akad. der Wissenschaft., 16—31 (1912), 9 Н. И. Ахиезер, Классическая проблема моментов, М., 1961. 10 У. Гренандер, Г. Сеге, Теплицевы формы и их прилож, М., 1961. 11 И. С. Иохвидов, ДАН СССР, 173, № 4, 758 (1967), 12 Ф. И. Ландер, Оболном свойстве многочленов, ортогональных на единичной окружности, Сборник статей аспирантов ВГУ, вып. 1, 47—53 (1971).

LIII 1971

MATEMATHKA

4

УДК 51946

Р О. Назарян

О разложении некоторых простых вещественных групп Ли

(Представлено чл-корр АН Армянской ССР Р. А. Александряном 20/V 1971)

Предполагается, что все рассматриваемые группы Ли и их подгруппы являются связными. Тройка (G, G', G''), где G группа \mathcal{A} и, G'и G'' ее собственные подгруппы Ли, называется разложением, если G = G'G'', т. е. если каждый элемент $g \in G$ представляется в виде g = g'g'', где $g' \in G'$, $g'' \in G''$. Разложение G = G'G'' называется редуктивным, если G—редуктивная группа Ли, G', G'' — редуктивные в Gподгруппы \mathfrak{I} и. Разложение называется максимальным, если G', G''максимальные подгруппы в G. В работе (1) найдены все редуктивные и все максимальные разложения некомпактных простых вещественных групп Ли. В настоящей работе рассматриваются минимальные разложения, т. е. такие разложения G = G'G'', для которых не существует подгрупп $C_0 \subset G'$, $G_0' \subset G''$ таких, что тронка (G, G_0, G_0') является разложением и что $G_0 \neq G'$ или $G_0' = G''$. Мы находим все минимальные разложения групп SO(p, q), SU(p, q), Sp(p, q) и всех нормальных вещественных простых групп Ли. Знание всех максимальных и всех минимальных разложений этих групп дает возможность легко найти все их разложения. Для групп SO(1, q), SU(1, q), Sp(1, q) это было сделано в работе (1). Пусть G = G'G'' - разложение. Обозначим соответственно через \mathfrak{M} , \mathfrak{M}' , \mathfrak{M}'' алгебры Ли, отвечающие группам G, G', G''. Тогда $\mathfrak{M}=\mathfrak{M}'+\mathfrak{M}''$ (1). Мы будем описывать разложения групп Ли при помощи соответствующих разложений алгебр Ли.

Разложение G = G'G'' будем называть разложением без пересечения, если $\mathfrak{M}' \cap \mathfrak{M}'' = 0$. Такое разложение является минимальным. Примером разложения без пересечения является так называемое разложение Ивасава G = KT, где K - максимальная компактная в G подгруппа, а T -максимальная треугольная в G подгруппа (*).

Пусть \mathfrak{M} —полупростая алгебра Ли над |R| И-система простых корней этой алгебры Ли. $\Pi_1 \subset \Pi$ подсистема корней, не равных нулю на некомпактной части картановской подалгебры, μ_r -параболическая подалгебра в \mathfrak{M}_r соответствующая подсистеме $\Gamma \subset \Pi_1$. Рассмотрим

 $\Gamma = \emptyset$ и положим u = m + n., где $m \subset h_- + v$, причем m изоморфно проектируется на h = c. Тогда u - k-подалгебра т. е. $\mathfrak{M} = u + k \circ v$ и это есть разложение без пересечения. Назовем это разложение обобщенным разложением Пвасава.

Теорема. Минимальные разложения групп SO(p, q). SU(p, q). Sp(p, q) и нормальных вещественных простых групп Ли исчерпываются разложениями, перечисленными в таблицах 1, 2 а все остальные минимальные разложения имеют компактную Ж... В таблице 1 даны все минимальные редуктивные разложения.

		Таблица 1
DR .	M.	M."
sl (2n, R)	sp (n, R)	sl(2n-1, R)
su (2p, 2q)	sp (p, q)	so(2p-1, 2q) so(2p, 2q-1)
su(n, n)	sp (n, R)	su(n-1, n)
so (3, 4)	G_z	so (1, 4) so (2, 3)
so (2p, 2q)	su (p, q)	so(2p-1, 2q) so(2p, 2q-1)
so(n, n)	sl(n, R)	so(n-1, n)
so (4p, 4g)	sp(p, q)	so(4p-1, 4q) so(4p, 4q-1)
so (2n, 2n)	sp (n, R)	so(2n-1, 2n)
so (8, 8)	so (7, 8)	so (1, 8) so (4, 5)
so (4, 4)	so (3, 4)	so (1, 4) so (2, 3)

Метод нахождений мянимальных разложения состоит в следующем. Пусть G = G'G''—минимальное разложение группы G. Обозначим через K, K', K'' максимальные полупростые компактные подгруппы в G, G', G'' соответственно такие, что $K \supset K'$, K''. Из работы (1) следует, что тройка (K, K', K'') является разложением. Пусть G', G''—максимальные подгруппы в G, содержащие G', G'' соответственно, K', K''—их максимальные полупростые компактные подгруппы. Все разложения компактных групп Ли подробно изучены в работе (1). Результаты ее позволяют янно найти все разложения K = K', K'', где

 $K' \subset K'$, $K'' \subset K''$. Подгруппы G, G'' описаны в работе (¹). Ищем те подгруппы $G' \subset G'$ и $G'' \subset G''$, которые содержат соответственно K', K'' и из этих подгрупп выбираем те, которые дают минимальное разложение.

Ta	бл	и	ца	2
----	----	---	----	---

2002	DR'	$\pi_1 \setminus \Gamma$	DR"
sl (2n, R)	$sl(2n-1, R) + n_r$	21	$sl(n, C)$ $s_{p}\left(\frac{n}{2}, C\right)$ $su^{*}(2m) m = \frac{n}{2}$
su(p, q) $0 1$	sl(p, C)rn _r	ap, a4	su (1, q)
su(2p, 2q) 0	$su(2p-1, 2q-1)+n_r$	$a_1, a_{2p+2q-1}$	sp(p, q)
so (p, q) 0 2	$sl(p, R) + n_r$	a _p	so (1, q)
so (2p, 2q) р или q нечет.	$so(2p-1, 2q-1)+n_c$	a ₂	su (p, q)
so (4p, 4q)	$so(4p-1, 4q-1)+n_r$	a ₁	sp (p. q)
sp(2n, R)	$sp(2n-1, R) + n_r$	α ₁	sp (n, C)
sp (p, q)	$su^*(2p) + n_t$	a _{2,p}	sp (1, q)

Таблица З M" M' $\pi_1 \setminus \Gamma$ M $sl(p, |R) + n_r$ su (1, q) so (p, q) ap 0 2 $sl(p, |R)+c^-+n_r$ so (q) $sl(p, C) + n_r$ su(1, q) su(p, q)ap, aq 0 1 $sl(p, C) + c^- + n_r$ su (q) sp (p, q) $|su^{\circ}(2p)+c_{r}^{-}+n_{1}|$ a_{2p} | sp(q)0

Следствие. Все разложения без пересечения групп SO(p, q), SU(p, q), Sp(p, q) исчерпываются разложениями, перечисленными в табл. 3 и обобщенными разложениями Ивасава.

В заключение выражаю искреннюю благодарность А. Л. Онищи-ку за постоянное внимание и руководство.

Ереванский государственный университет

Ռ. Հ. ՆԱԶԱՐՅԱՆ

Ուոշ իւական պաւզ էիի խմբեւի վեւլուծումների մասին

Հողվածում դիտարկվում է (SO(p,q),SU(p,q),Sp(p,q)) խմբերի և Լիի նորմալ իրական պարզ խմբերի վերլուծումները։ Գտնված են այդ խմբերի բոլոր այն վերլուծումները, որոնք Իվասավայի վերլուծումների հետ միասին սպառում են մինիմալ ռեդուկտիվ և մնացած բոլոր մինիմալ վերլուծումները։ Գտնված են նաև SO(p,q),SU(p,q),Sp(p,q) խմբերի բոլոր առանց հատման վերլուծումները։

ЛИТЕРАТУРА — ԳՐԱԿԱՆՈՒР ՑՈՒՆ

¹ А. Л. Онищик, Матем сб., т. 80 (122), 4, 553—599, (1969). ² С. Хелгасон, Дифференциальная геометрия и симметрические пространства, изд. «Мир», М., 1965. ³ А. Л. Онищик, Труды Моск. матем об ва, XI, 199—242 (1962).

1.111

1971

MATEMATHKA

УДК 517 512

Р. С. Давтян

О представлении измеримых функций интегралами Фурье

(Представлено чл -корр. АН Армянской ССР А. А. Талаляном 23/V 1971)

В 1939 году Д. Е. Меньшовым была доказана следующая теорема о представлении измеримых функций тригонометрическими рядами (1).

Теорема I (Д. Е. Меньшов). Для любой почти везде конечной измеримой функции f(x), определенной на $[-\pi, \pi]$, существует тригонометрический ряд

$$\frac{a_0}{2} + \sum_{k=1}^{\infty} a_k \cos kx + b_k \sin kx, \tag{1}$$

который сходится к f(x) почти всюду на $[-\pi, \pi]$.

В дальнейшем А. А. Талаляном была доказана теорема (см. (²), теорему 1), являющаяся усилением теоремы I.

Она формулируется следующим образом,

Теорема II (А. А. Талалян). Существует тригонометрический ряд (1), обладающий тем свойством, что для любой измеримой функции f(x), конечной почти всюду на сегменте $[-\pi,\pi]$ или равной $+\infty$ или $-\infty$ на множестве положительной меры, из ряда (1) можно выделить подряд

$$\sum_{k=1}^{\infty} a_n \cos n_k x + b_n \sin n_k x, \ 0 \leq n_1 < n_2 < \cdots,$$

который сходится κ f(x) почти всюду на том множестве, где f(x) конечна и сходится κ f(x) по мере на том множестве, где f(x) равна $+\infty$ или $-\infty$.

Заметим, что в доказательстве теоремы II существенно испольвована одна лемма Д. Е. Меньшова о свойствах интеграла Дирихле (см. (3), лемму 2), которая играет важную роль при доказательстве теоремы I. Однако теорема II, в отличие от теоремы I, доказывается без использования принципа локализации Римана для общих тригонометрических рядов и конструкции Д. Е. Меньшова построения пульрядов. Это обстоятельство позволяет, используя метод доказательства теоремы II, доказать следующую теорему о представлении измеримых функций интегралами Фурье.

Теорема 1. Для любой почти везде конечной измеримой функции F(x), определенной на $[0, \infty)$, существует непрерывная на $[0, \infty)$ функция g(t) такая, что

$$\lim_{t \to \infty} \sqrt{\frac{2}{\pi}} \int_{0}^{\lambda} g(t) \cos xt dt = F(x)$$
 (2)

почти для всех $x, x \in [0, \infty)$, причем

$$\lim g\left(t\right)=0\tag{3}$$

11

$$\bigvee_{o} g \leqslant p \quad (p \in [0, \infty)). \tag{4}$$

Заметим, что аналогичная теорема при более слабой сходимости (сходимость по мере) интегралов (2) и без требования выполнения (4) была доказана (4), где вместо ядра соз x1 рассмотрены более общие ядра.

Согласно теореме 1, оказывается, что при помощи сравнительно узкого класса функций g(t), удовлетворяющих условиям (3) и (4), косинус-интегралами Фурье представляются все конечные измеримые функции, определенные на $[0, \infty)$. В связи с этим представляет интерес следующая задача.

Пусть $\phi(\rho)$ неубывающая функция, заданная на $\{0, \infty\}$, и через B_{ϵ} обозначен класс непрерывных функции g(t), удовлетворяющих (3) и условию

$$\bigvee_{s}^{s} g = O(s) \in O \longrightarrow \infty$$

Для каких функций $\varphi(\rho)$ можно утверждать, что B является классом представления конечных функций в смысле (2)?

Теорема 1 означает, что можно взять $\mathfrak{p}(\rho) \equiv \rho$.

Используя конструкцию построения универсального тригонометрического ряда (см. (2)), устанавливается существование функции $\varphi(\rho), \varphi(\rho) = 0$ при $\rho \to \infty$, для которой B_{\bullet} все же является классом представления (в указанном выше смысле) для всех конечных измеримых функций.

Кроме того, левко пожавать, что нельзя взять $\varphi(\rho) = O(1)$ при $\rho \to \infty$. Однако нам не удалось найти окончательных оценок для $\varphi(\rho)$.

В доказательстве теоремы 1 существенно используется одна лемма Д. Е. Меньшова о свойствах интеграла Дирихле (см. (³), лемму 1) Лемма I (Д. Е. Меньшов). Пусть [c, d] любой отрезок, r и > 8 произвольные натуральные числа и

$$\delta = \frac{d-c}{r}, \quad \varepsilon_s = c + s + a_s = c_s - \delta$$

$$(s = 0, 1, 2, r).$$

Torda

$$\left|\sum_{s=1}^{r} \int_{a_{s}}^{c_{s}} \frac{\sin \rho (t-x)}{t-x} dt\right| < L$$

$$x \in \left[c + \frac{d-c}{r}, d - \frac{d-c}{r}\right], \rho \in (-\infty, \infty)$$

где L-абсолютная константа*.

Исходя из этой леммы и применяя методы работы (3), доказываются сформулированные ниже леммы 1 и 2, при помощи которых устанавливается теорема 1.

Пемма 1. Для любых положительных чисел A и e < 1 можно определить b > 0 такое, что какова бы ни была измеримая функция f(x),

$$f(x) = 0$$
, $npu \quad x \in E$, $E \subset [0, A]$

u

$$|f(x)| \leq \delta, x \in E$$

и каковы бы ни были положительные числа a, z, B и r, существуют измеримое множество R, отрезок [q, s] и измеримая функция g(x), $x \in [q, s]$, для которых выполняются следующие условия:

a)
$$s > q > g(x)$$
 непрерывна на $[q, s] u g(q) = g(s) = 0$.

$$|g(x)| < \epsilon (x \in [q, s]);$$

b)
$$R \subset E, \ \mu R > \mu E - \epsilon;$$

c)
$$\left|\sqrt{\frac{2}{\pi}}\int_{\mathbb{R}}g(t)\cos x\,tdt-f(x)\right|<\eta\;(x\in R);$$

d)
$$\left| \frac{2}{\pi} \int_{-\pi}^{\pi} g(t) \cos x t dt \right| < \varepsilon (x \in R, p \in [q, s]);$$

e)
$$B + \bigvee_{a} g < ap \quad (p \in [q, s]).$$

Леммя 2. Пусть A > 1 некоторое число, a / (x) почти везде конечная на [0, A] измеримая функция, равная нулю вне некоторого множества $E \subset [0, A]$. Тогда для любых положительных чисел a, b, b и a < 1 существуют измеримые множества P и a < 1 существуют измеримые множества a < 1 существующеств

[•] р не обязан быть целым.

резок [q, s] и измеримая функция g(x), $x \in [q, s]$, которые удов-летворяют условиям:

1)
$$s>q>3$$
, $g(x)$ непрерывна на $[q, s]$ и $g(q)=g(s)=0$, $|g(x)|<\delta (x\in [q, s])$;

2)
$$P \subset E, \quad \mu P > \mu E - \delta,$$

3)
$$Q \subset [0, A] - E, \mu Q > \mu \{[0, A] - E\} - \delta,$$

4)
$$\left|\sqrt{\frac{2}{\pi}}\int_{a}^{s}g(t)\cos xtdt-f(x)\right|<\delta(x\in P),$$

5)
$$\left|\sqrt{\frac{2}{\pi}}\int g(t)\cos xtdt\right| < \delta (x \in Q, \rho \in [q, s]),$$

$$B + \bigvee_{q} g \leqslant ap \ (p \in [q, s]).$$

В заключение автор выражает благодарность А. А. Талаляну за постановку задачи и оказанную помощь при ее решении.

Институт математики и механики Академии наук Армянской ССР

n. u. auspaut

Չափելի ֆունկցիաները Ֆուբյեի ինտեգբալներով ներկայացման մասին

Ներկա աշխատանքում ապացուցվում է հետևյալ Թեորեմը։

և որ և և և $|0, \infty)$ -ում որոշված ցանկացած ճամարյա ամենուրեք վերջավոր չափելի F(x) ֆունկցիայի ճամար զոյություն ունի $|0, \infty)$ -ում որոշված g(t) աննդճատ ֆունկցիա այնպիսին, որ

$$\lim_{\lambda \to -1} \sqrt{\frac{2}{x^2}} \int g(t) \cos x t dt = F(x)$$

 $[0, \infty)$ -ին պատկանող ճամարյա բոլոր x-ևրի ճամար, ընդ որում՝

$$\lim g(t)=0, \quad \mathbf{L} \quad \bigvee_{\mathbf{u}} g \leqslant \mathbf{p} \ (\mathbf{p} \in [0, \infty)).$$

ЛИТЕРАТУРА — ЧРИЧИВОВЬ ЗОВЬ

1 Д. Е. Меньшов, Матем сб., 9 (51), (1941), 667—692 ² А. А. Талалян, Известия АН СССР, сер. матем, т. 27 (1963), 621—660 ³ Д. Е. Меньшов, Матем. сб., 8, (50) (1940), 493—518 ⁴ А. А. Талалян, Матем. сб., 53 (95), № 3 (1961), 287—312.

МАТЕМАТИКА

УДК 5179

Д. О. Мелкумян

Интегральный признак устойчивости функциональных уравнений

(Представлено чл.-корр. АН Армянской ССР Ф. Т. Саркисяном 25/V 1971)

1. Линейные дифференциальные уравнения. Рассмотрим систему

$$\frac{dX}{dt} = AX,\tag{1}$$

где A-постоянная матрица с размером $n \times n$, X-вектор, t-время.

Для асимптотической устойчивости линейной однородной системы (1) необходимо и достаточно, чтобы все кории ее характеристи ческого уравнения

$$P(L) \equiv \det(A - \lambda E) = 0 \tag{2}$$

обладали отрицательными вещественными частями (16-3). Однако вычисление корней уравнения (2) представляет собой достаточно трудоемкую задачу, поэтому, устойчивость системы опредляется при помощи специальных критериев. При высокой размерности системы (1)-реализация на ЦВМ существующих критериев устойчивости Рауса и Гурвица (4.5) также очень трудоемка.

Для рассмотренных систем справедлива

Теорема 1. Для того, чтобы система (1) была асимптотически устойчива, необходимо и достаточно, чтобы

$$\int_{-\infty}^{\infty} \operatorname{Re}\left[P'\left(iz\right)/P\left(iz\right)\right] dz = n\pi. \tag{3}$$

Доказательство. Положим в (2) t = iz и рассмотрим действительную часть логарифмической производной от характеристыческого многочлена

$$f(z) = \text{Re}\left[\frac{P'(iz)}{P(iz)}\right] = \sum_{m=1}^{n} \frac{-x_m}{x_m^2 + (z - y_m)^2}$$
(4)

где / - x - / ly - корки уравнения (2). Так как для любого m

$$\int \frac{-x_m dz}{x_m^2 + (z - y_m)^2} = \begin{cases} +\pi, & \text{если } x_m < 0; \\ 0, & \text{если } x_m = 0; \\ -\pi, & \text{если } x_m > 0, \end{cases}$$

то доказательство теоремы становится очевидным. В силу сходимости интеграла (3) и четности подинтегральной функции (4), условие (3) можно привести к виду

$$\int_{\Gamma} \operatorname{Re} |P'(iz)/P(iz)| dz \approx n\pi. \tag{5}$$

Таким образом задача асимптотической устойчивости системы (1) сводится к вычислению определенного интеграла (5).

2. Линейные разностные уравнения. Аналогичный критерий существует для линейных разностных уравнений вида

$$X(n+1) = AX(n), n = 0, 1, 2, \cdots$$
 (6)

Условие асимтотической устойчивости системы (6) заключается в том, чтобы все собственные значения матрицы A лежали внутри единичного круга (2).

Теорема 2. Для того, чтобы вистема (6) была асимтотически устойчива, необходимо и доститочно, чтобы

$$\int_{0}^{\pi} \text{Re} \left[P'(e^{tz}) / P(e^{tz}) \right] dz = n\pi. \tag{7}$$

Доказательство. Положим в (2) $\lambda = e^{iz}$ и рассмотрим действительную часть логарифмической производной от характеристического многочлена

$$f(z) = \text{Re} \left| \frac{P'(e^{iz})}{P(e^{iz})} \right| = \sum_{m=1}^{\infty} \frac{1 - R_m \cos(z - \varphi_m)}{1 + R_m^2 - 2R_m \cos(z - \varphi_m)}$$
(8)

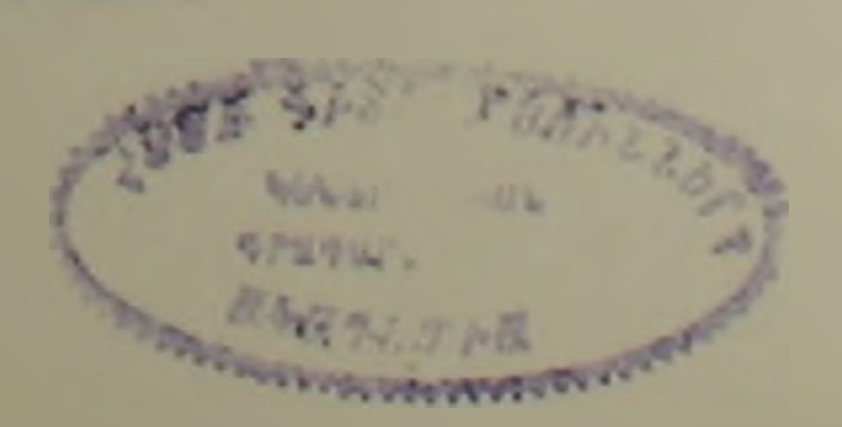
где $I_m = R_m \operatorname{Exp}(i \varphi_m)$ — кории урапиения (2). Так как для любого m

$$\int \frac{1 - R_m \cos(z - \varphi_m)}{1 + R_m^2 - 2R_m \cos(z - z)} dz = \begin{cases} \pi, \text{ echil } R_m < 1; \\ \pi/2, \text{ echil } R_m = 1; \\ 0, \text{ echil } R_m > 1; \end{cases}$$

то доказательство теоремы становится очевидным.

Таким образом задача асимптотической устойчивости системы (6) также сводится к вычислению определенного интеграла (7).

Еренанский НИИ математических машин



Ֆունկցիոնալ ճավասաբումների կայունության ինտեզրալային չափանիջ

Հաստատուն գործակիցներով դձային դիֆերենցիալ և տարրերույթային հավասարումների ասիմպտոտիկ կայունության որոշման համար առաջադրըվում է ինտերգրալային չափանիշ, որը գոյություն ունեցողների (Ռաուս, Հուրվից և այլն) նկատմամբ հարմար է հաշվիչ մեբենաներում իրագործման տեսակետից։

Դիտարկվող հավասարումների ասիմպտոտիկ կայունու<mark>թյան խնդիրը թեր-</mark> վում է որոշյալ ինտեգրալի հաշվ<mark>ման</mark>։

ЛИТЕРАТУРА — ЭГЦЧЦЬПЬР 5 ПЬЪ

1 Р. Беллман, Теория устойчивости решений дифференциальных уравнений, ИЛ, 1954 2 Р. Беллман, Введение в теорию матриц, «Наука», М., 1969 3 Б. П. Демидович, Лекции по математической теории устойчивости, «Наука», М., 1967. 4 Н. Г. Чеботарев, Н. Н. Мейман, Проблема Рауса-Гурвица для полиномов и целых функций. Труды мат. инст. АН СССР, 26 (1949). 5 Ф. Р. Гантмахер, Теория матриц, «Наука», М., 1967.

LIII 1971 4

УДК 539.37

ТЕОРИЯ УПРУГОСТИ

Ю. С. Ншанян

О смешанной осесимметричной задаче для составного полупространства

(Представлено чл.-корр. АН Армянской ССР Б. Л. Абрамяном 1/VII 1971)

В работе рассматривается осесимметричная контактная задача для полупространства с полусферическим углублением, в которое без сцепления вдавливается упругая полусфера на другого материала. Решение задачи сводится к квази вполне регулярной бесконечной системе линейных уравнений. Распределение напряжений в упругом теле н окрестности сферических полостей исследовалось в работах (1-4 и др). Осесимметрическое напряженное состояние сплошной полусферы рассматривается в работе (5).

1. Пусть на плоской поверхности упругой сферы заданы перемещения. На плоской поверхности полупространства напряжения будем считать отсутствующими. Упругая полусфера, находящаяся в полусферическом углублении полупространства, вдавливается осесимметричным образом и на поверхности контакта отсутствуют касательные напряжения. Задачу будем решать в сферической системе координат (р, в, г), где координата в отсчитывается от оси симметрии. Тогда граничные условия, условия сопряжения и осесимметричности будут иметь вид:

$$U_{\bullet}^{(1)} = U(\rho), \quad U^{(1)} = 0 \quad \left(\theta = \frac{\pi}{2} \quad 0 < \rho < R \right)$$

$$\sigma^{(2)} = \frac{\pi}{2} = 0 \quad \left(\theta = \frac{\pi}{2} \cdot R < \rho < \infty \right)$$
(1.1)

$$U_{\rho}^{(1)} = U_{\rho}^{(2)} \quad \sigma^{(1)} = \sigma^{(2)}, \quad \sigma^{(1)} = \tau^{(2)} = 0 \quad \left(\rho = R, \ 0 < \theta < \frac{\pi}{2} \right) \quad (1.2)$$

$$\tau^{(i)}(\rho, 0) = 0 \quad U_0^{(i)}(\rho, 0) = 0 \quad (i = 1, 2) \tag{1.3}$$

Здесь U и U — радиальный и меридиональный компоненты перемещения, $U(\rho)$ — произвольная гладкая функция, σ_{ρ} , σ_{θ} нормальные, а — касательное напряжения. Величины, относящиеся к полусфере

отмечены индексом 1, а к полупространству—индексом 2. Переходны от координат р и в к координатам

$$\xi = \cos \theta, \ t = \ln \frac{P}{R} \tag{1.4}$$

н следуя работе (11) решение уравнений Ляме берем в виде

$$U_{3}^{(l)} = (1 - \xi^{2})^{1/2} \left\{ \sum_{k=1}^{\infty} (A_{k}^{(l)} e^{2t} n^{l} + B^{(l)} e^{-t}) P_{k}(\xi) + \frac{1}{4} \int_{0}^{\infty} (A^{(l)} e^{2t} n^{l} + B^{(l)} e^{-t}) P_{k}(\xi) + \frac{1}{4} \int_{0}^{\infty} (A^{(l)} e^{2t} n^{l} + B^{(l)} e^{-t}) P_{k}(\xi) + \frac{1}{4} \int_{0}^{\infty} (A^{(l)} e^{-t} n^{l} + B^{(l)} e^{-t}) P_{k}(\xi) + \frac{1}{4} \int_{0}^{\infty} (A^{(l)} e^{-t} n^{l} + \delta_{l2} B_{k}^{(l)} e^{-t} n^{l}) P_{k}(\xi) + \frac{1}{4} \int_{0}^{\infty} (A^{(l)} e^{-t} n^{l} + \delta_{l2} B_{k}^{(l)} e^{-t} n^{l}) P_{k}(\xi) - \frac{1}{4} \int_{0}^{\infty} (A^{(l)} e^{-t} n^{l} + \delta_{l2} B_{k}^{(l)} e^{-t} n^{l}) P_{k}(\xi) - \frac{1}{4} \int_{0}^{\infty} (A^{(l)} e^{-t} n^{l} + \delta_{l2} B_{k}^{(l)} e^{-t} n^{l}) P_{k}(\xi) - \frac{1}{4} \int_{0}^{\infty} (A^{(l)} e^{-t} n^{l} + \delta_{l2} B_{k}^{(l)} e^{-t} n^{l}) P_{k}(\xi) - \frac{1}{4} \int_{0}^{\infty} (A^{(l)} e^{-t} n^{l} + \delta_{l2} B_{k}^{(l)} e^{-t} n^{l}) P_{k}(\xi) - \frac{1}{4} \int_{0}^{\infty} (A^{(l)} e^{-t} n^{l} + \delta_{l2} B_{k}^{(l)} e^{-t} n^{l}) P_{k}(\xi) - \frac{1}{4} \int_{0}^{\infty} (A^{(l)} e^{-t} n^{l} + \delta_{l2} B_{k}^{(l)} e^{-t} n^{l}) P_{k}(\xi) - \frac{1}{4} \int_{0}^{\infty} (A^{(l)} e^{-t} n^{l} + \delta_{l2} B_{k}^{(l)} e^{-t} n^{l}) P_{k}(\xi) - \frac{1}{4} \int_{0}^{\infty} (A^{(l)} e^{-t} n^{l} + \delta_{l2} B_{k}^{(l)} e^{-t} n^{l}) P_{k}(\xi) - \frac{1}{4} \int_{0}^{\infty} (A^{(l)} e^{-t} n^{l} + \delta_{l2} B_{k}^{(l)} e^{-t} n^{l}) P_{k}(\xi) - \frac{1}{4} \int_{0}^{\infty} (A^{(l)} e^{-t} n^{l} + \delta_{l2} B_{k}^{(l)} e^{-t} n^{l}) P_{k}(\xi) - \frac{1}{4} \int_{0}^{\infty} (A^{(l)} e^{-t} n^{l} + \delta_{l2} B_{k}^{(l)} e^{-t} n^{l}) P_{k}(\xi) - \frac{1}{4} \int_{0}^{\infty} (A^{(l)} e^{-t} n^{l} + \delta_{l2} B_{k}^{(l)} e^{-t} n^{l}) P_{k}(\xi) - \frac{1}{4} \int_{0}^{\infty} (A^{(l)} e^{-t} n^{l} + \delta_{l2} B_{k}^{(l)} e^{-t} n^{l}) P_{k}(\xi) - \frac{1}{4} \int_{0}^{\infty} (A^{(l)} e^{-t} n^{l} + \delta_{l2} B_{k}^{(l)} e^{-t} n^{l}) P_{k}(\xi) - \frac{1}{4} \int_{0}^{\infty} (A^{(l)} e^{-t} n^{l} + \delta_{l2} B_{k}^{(l)} e^{-t} n^{l}) P_{k}(\xi) - \frac{1}{4} \int_{0}^{\infty} (A^{(l)} e^{-t} n^{l} + \delta_{l2} B_{k}^{(l)} e^{-t} n^{l}) P_{k}(\xi) - \frac{1}{4} \int_{0}^{\infty} (A^{(l)} e^{-t} n^{l} n^{l}) P_{k}(\xi) - \frac{1}{4} \int_{0}^{\infty} (A^{(l)} e^{-t} n^{l} n^{l}) P_{k}(\xi) - \frac{1}{4} \int_{0}^{\infty} (A^{(l)} e^{-t} n^{l}) P_{k}(\xi) - \frac{1}{4} \int_{0}^{\infty} ($$

$$-e^{\frac{t}{2}} \int [(A^{(l)}(z) W_1 - B^{(l)}(z) W_2 - [D^{(l)}(\tau) h^{(l)} + C^{(l)}(\tau) g^{(l)}]P_1 - (\xi)) \sin tz - (A^{(l)}(\tau) W_2 + B^{(l)}(\tau) W_1 - [C^{(l)}(\tau) h^{(l)} - D^{(l)}(\tau) g^{(l)}_1]P_1 - (\xi)) \times \\ \times \cos t\tau \Big| \left(-\frac{9}{4} \right)$$
(1.6)

Здесь $\mathbf{z}^{(t)}$, $A_{k}^{(t)}$, $B_{k}^{(t)}$, $A^{(t)}$ (-), $B^{(t)}$ (-), $C^{(t)}$ (τ), $D^{(t)}$ (-) неизвестные величины, подлежащие определению, $P_{\mathbf{z}}(z)$ — полиномы Лежандра $P_{-\frac{1}{2}+l\tau}(z)$ —

функции конуса, $P(z) = \frac{dP}{dz}$. $W_t(z, z)$ — известные величины, со-

держащие функции конуса, введенные в работе (5) (7 = 1, 2, 3, 4). В формулах (1.5) и (1.6) введены также следующие обозначения:

$$x_{11} = k - 1, \quad x_{12} = k + 1, \quad x_{21} = -(k + 2), \quad x_{22} = -k$$

$$\delta_{11} = -k \quad \delta_{12} = -(k + 1) \frac{(m_1 + 1) k - 2}{(m_1 + 1) k + 3m_1 + 5}, \quad m_i = \frac{\lambda_i}{\mu_i} \quad (i = 1, 2)$$

$$\delta_{21} = k + 1 \quad \delta_{22} = \frac{m_2 (k + 1) + 3k + 1}{m_2 (k - 2) + 3k - 4}$$

и, _и – упругие постоянные Ляме.

212

2. Вычисляя при помощи выражений (1.5), (1.6) и обычных формул напряжения замечаем, что условия (1.3) удовлетворяются тождественно. Удовлетворяя условиям (1.1) и (1.2) и вводя новые не известные $H^{(t)}(t=1,\cdots 4;\ k=2,\ 4,\cdots)$ следующими соотношениями

$$(k-1)A^{(1)} + \frac{m_1k(k+2) + k^2 + 2k - 1}{m_1(k+3) + k + 5}B_k^{(1)} = \frac{H_k^{(1)}}{P_k(0)}$$

$$-(k+2)A_k^{(2)} - \frac{m_1(k-1) + 3k^2 - 2}{m_0(k-2) + 3k - 4}B_k^{(2)} = \frac{H_k^{(1)}}{P_k(0)}$$

$$\mu_{12}k(k-1)A^{(1)} - \mu_{12}(k+1)\frac{(k+1)(k+2) + m_1(k^2 - k - 3)}{m_1(k+3) + k + 5}B_k^{(1)} - \frac{H_k^{(1)}}{m_1(k+3) + k + 5}$$

$$-(k+1)(k+2)A^{(2)}_{k} - k \frac{m_{2}(k^{2}-k+1) + k(3k+1)}{m_{2}(k-2) + 3k - 4}B^{(2)}_{k} = \frac{H^{(3)}_{k}}{P_{k}(0)}$$

$$\delta_{11}A^{(1)}_{k} + \delta_{12}B^{(1)}_{k} + \delta_{21}A^{(2)} + \delta_{22}B^{(2)} = \frac{H^{(4)}_{k}}{P_{k}(0)}$$
(2.1)

где $\mu_{12} = \frac{1}{2}$ мы после некоторых преобразований выразим через коэффициенты $H_{i}^{(j)}$ также и неизвестные функции $A^{(j)}$, $B^{(j)}$, $C^{(j)}$, $D^{(j)}$, $(j=1,\ 2)$

$$A^{(f)}(z) = (2-j)\Delta_{21}^{(f)}\overline{U}(z) + \Delta_{41}^{(f)}f_{f}(z); \quad B^{(f)}(z) = (2-j)\Delta_{22}^{(f)}\overline{U}(z) + \Delta_{32}^{(f)}f_{f}(z);$$
(2.2)

$$C^{(f)}(\tau) = (2-j)\Delta_{A}^{(f)}\overline{U}(\tau) + \Delta_{A}^{(f)}f_{f}(\tau); \quad D^{(f)}(\tau) = (2-j)\Delta_{A}^{(f)}\overline{U}(\tau) + \Delta_{A}^{(f)}f_{f}(\tau). \tag{2.3}$$

Здесь для простоты принято

$$U(\mathfrak{p}) = -U_{\mathfrak{o}} = \text{const}$$

и использованы следующие обозначения:

$$\widetilde{U}(\tau) = U_0 \left[\pi \left(\tau^3 + \frac{9}{4} \right) P_{-\frac{1}{4}+i\tau}^{\prime}(0) \right]^{-1}, \\
W_{4+i}(\tau, \xi) = \xi W_{2+i} - W_i + (-1)^i (1 - \xi^2) W_{2+i}^{\prime} \\
W_{i+6}(\tau, \xi) = 2 \left[\tau W_{3-i}^{\prime} + (-1)^{i+1} \left(\tau^2 + \frac{9}{4} \right) W_i^{\prime} \right] \quad (i = 1, 2) \\
W_{i, 0} = W_i(0, \tau) \left[P_{-\frac{1}{4}+i\tau}(0) \right]^{-1} \quad (j = 1, 2, 5, 6), \\
W_{i, 0} = W_i(0, \tau) \left[P_{-\frac{1}{4}+i\tau}(0) \right] \quad (j = 3, 4, 7, 8) \\
\left[(-1)^{j+1} W_{4j-1, 0}, W_{4j-1, 0}, (j-1)g_1^{(2)} + 2 - j, (j-1)h_1^{(2)} \right] \\
\left[(-1)^{j+1} W_{4j-1, 0}, W_{4j-1, 0}, (1-j)h_3^{(2)}, (j-1)g_1^{(2)} + j - 2 \right] \\
W_{4j-3, 0}, W_{4j-3, 0}, (-1)^j h_{3j-2}^{(j)}, (-1)^{j+1} g_4^{(j)}$$
(2.5)

а $\Delta_{\rho,J}^{(J)}(p,\ t=1,\ 2,\ 3,\ 4;\ (J=1,\ 2)$ являются отношениями соответствующих алгебранческих дополнений к определителям (2.5)

$$f_{1}(\tau)\left(\tau^{2} + \frac{9}{4}\right)P_{-\frac{1}{2}+l\tau}(0) = -a^{(1)}M_{\frac{1}{2}} - \sum_{p=2,4,\cdots,l=1}^{4} \left[\delta_{11}M_{p-\frac{3}{2}}\Omega_{l1} + \delta_{12}M_{p+\frac{1}{2}}\Omega_{l2}\right]H_{p}^{(l)},$$

$$f_{2}(z) \left(z^{2} + \frac{9}{4}\right) P_{-\frac{1}{2} + iz}(0) = a^{(2)} M_{-\frac{3}{2}} + \sum_{p=2,4,\dots,i=1}^{4} \left[(p+1)^{2} M_{-(p+\frac{1}{2})} \right]^{2} M_{-\frac{1}{2}} + \sum_{p=2,4,\dots,i=1}^{4} \left[(p+1)^{2} M_{-(p+\frac{1}{2})} \right]^{2} M_{-\frac{1}{2}} + \sum_{p=2,4,\dots,i=1}^{4} \left[(p+1)^{2} M_{-\frac{1}{2}} \right]^{2} M_{-$$

где

$$M_{*} = -\frac{2}{\pi} \frac{r^{2}}{r^{2} + \tau^{2}}, \quad h_{4}^{(2)} = \left(1 + \frac{5}{4} m_{2}\right) h_{1}^{(2)} - \frac{1}{2} m_{2} rg_{1}^{(2)},$$

$$g_{4}^{(2)} = \left(\frac{5}{4} m_{2} + 1\right) g_{1}^{(2)} - \frac{1}{2} m_{2} rh_{2}^{(2)} - \left(\tau^{2} + \frac{1}{4}\right) \left(1 + \frac{1}{2} m_{2}\right). \quad (2.6)$$

Через коэффициенты $H_k^{(l)}$ выражаются также постоянные $a^{(l)}$ (j=1,2)

$$a^{(l)} = a^{(l)} + \sum_{p=2, 4, \dots, l-1} \sum_{i=1}^{n} a^{(l)}_{ij} H^{(l)}$$
(2.7)

где

$$a_{0}^{(f)} = \gamma_{1j} (\overline{U}_{0}^{(1)} - \overline{U}_{0}^{(3)}) - \gamma_{2j} (\mu_{12} g_{0} \overline{U}_{0}^{(4)} - \overline{U}_{0}^{(3)}); \quad g_{0} = \frac{3}{2} m_{1} + 1$$

$$P_{n}(0) = \delta_{11} \gamma_{p-\frac{3}{2}, j}^{(1)} \Omega_{11} + \delta_{12} \gamma_{p+\frac{1}{2}}^{(1)} \Omega_{12} + \frac{1}{p+\frac{1}{2}} \Omega_{12} + \frac{1}{p+\frac{1}{2}} \Omega_{13} + \frac{1}{p+\frac{1}{2}} \Omega_{13} + \frac{1}{p+\frac{1}{2}} \Omega_{14},$$

$$\beta_{1} = (p+1)^{2}, \quad \beta_{2} = p \frac{m_{2} (p^{2} - 2p - 2) + 3p^{2} + 2p + 3}{p (m_{2} + 3) - 2 (m_{2} + 2)},$$

$$(i = 1, \dots, 4; j = 1, 2)$$

$$(2.8)$$

 $\Omega_{iq}(i, q = 1, \cdots, 4)$ определяются как отношения соответствующего алгебраического дополнения к определителю системы (2.1), аналогично как и γ_{ij} для определителя

$$T = \begin{bmatrix} 1 + \mu_{12} g_{0} - X^{(1)} & -Z^{(1)} & -X^{(1)} & -X^{(1)$$

Причем здесь

$$-\frac{X_{k,*}^{(f)}}{\overline{U}_{k}^{(k)}} = \int_{0}^{\infty} \left(\tau^{2} + \frac{9}{4} \right) \left[W_{1,k} \left\{ \frac{\Delta_{41}^{(f)}}{\Delta_{21}^{(1)}} \right\} - W_{2,k} \left\{ \frac{\Delta_{42}^{(f)}}{\Delta_{22}^{(1)}} \right\} - W_{2,k} \left\{ \frac{\Delta_{42}^{(f)}}{\Delta_{22}^{(f)}} \right\} - W_{1,k} \left\{ \frac{h_{1}^{(f)} \Delta_{43}^{(f)} - g_{2}^{(f)} \Delta_{44}^{(f)}}{h_{1}^{(f)} \Delta_{23}^{(f)} - g_{2}^{(f)} \Delta_{24}^{(f)}} \right\} \left[M_{+}(\tau) \atop \overline{U}(\tau) \right] d\tau_{+} \tag{2.10}$$

$$\frac{Z_{k,v}^{(0)}}{\overline{U}_{k}^{(3)}} = \int_{0}^{\infty} \left(z^{2} + \frac{9}{4} \right) \left[\left(\frac{1}{2} W_{2,k} - z W_{1,k} \right) \left\{ \frac{\Delta_{41}^{(0)}}{\Delta_{21}^{(1)}} \right\} + \left(\frac{1}{2} W_{1,k} + z W_{2,k} \right) \left\{ \frac{\Delta_{42}^{(0)}}{\Delta_{22}^{(1)}} \right\} + \left[\frac{1}{2} W_{1,k} + z W_{2,k} \right] \left\{ \frac{B_{12}^{(0)}}{B_{22}^{(1)}} \right\} + \left[\frac{B_{12}^{(0)}}{B_{22}^{(1)}} \right] \left\{ \frac{B_{12}^{(0)}}{B_{22}^{(1)}} - h_{2}^{(1)} \Delta_{23}^{(1)} - h_{2}^{(1)} \Delta_{24}^{(1)} \right\} \right] \left[\frac{B_{12}M_{1}(z)}{\overline{U}(z)} \right] dz, \quad (2.11)$$

$$\gamma_{*,j}^{(l)} = \gamma_{1,j} \left(Z_{0,*}^{(l)} + Z_{0,*}^{(l)} \right) - \gamma_{2,j} \left(\mu_{1}, g_{0}, Z_{0,*}^{(l)} - Z_{0,*}^{(l)} \right) \quad (i, j = 1, 2) \quad (2.12)$$

Где обозначено:

$$N_{l,k}(z) = \int_{0}^{1} P_{-\frac{1}{2}+lz}(\xi) P_{k}(\xi) d\xi; \quad W_{l,k} = \int_{0}^{1} W_{l}(z,\xi) P_{k}(\xi) d\xi \quad (j=1,2)$$
(2.13)

Наконец для определения неизвестных $H_k^{(t)}$ получим следующую совокупность бесконечных систем линейных уравнений

$$H_k^{(i)} = a_{k,0}^{(l)} + \sum_{p=2,4,\ldots,q-1} \sum_{q=1}^{l} a_{kp}^{(l,q)} H_p^{(q)} \quad (q, l=1,\ldots,4)$$
 (2.14)

Свободные члены этой совокупности определяются из соотношений

$$\frac{P_{k}(0)(2k+1)}{k(k+1)}a_{k,0} = (2-j)\overline{U}_{k}^{(j)} + (-1)^{j}z_{0}^{(j)} + z_{0}^{(j)}Z_{k,1}^{(j)} - z_{0}^{(2)}Z_{k,-2}^{(2)}$$

$$P_{k}(0)(2k+1)a_{k,0}^{(3)} = \overline{U}_{k}^{(3)} - z_{0}^{(1)}Z_{k,1}^{(1)} - z_{0}^{(2)}Z_{k,-2}^{(2)}$$

$$P_{k}(0)(2k+1)a_{k,0}^{(4)} = \overline{U}_{k}^{(4)} + z_{0}^{(1)}X_{k,1}^{(1)} + z_{0}^{(2)}X_{k,-2}^{(2)}$$

$$(2.15)$$

Где введены обозначения:

$$\frac{J_{k,\cdot}^{(I)}}{\overline{U}_{k}^{(I)}} = \int_{0}^{\infty} \left[-W_{8,\cdot k} \left\{ \begin{array}{c} \Delta_{41}^{(I)} \\ \Delta_{21}^{(I)} \end{array} \right\} + W_{7,\cdot k} \left\{ \begin{array}{c} \Delta_{42}^{(I)} \\ \Delta_{22}^{(I)} \end{array} \right\} - \\
-N_{2,\cdot k} \left\{ \begin{array}{c} h_{3}^{(I)} \Delta_{43}^{(I)} - g_{3}^{(I)} \Delta_{44}^{(I)} \\ h_{3}^{(I)} \Delta_{23}^{(I)} - g_{3}^{(I)} \Delta_{24}^{(I)} \end{array} \right\} \right] \left\{ \begin{array}{c} M_{v}(\tau) \\ \overline{U}(\tau) \end{array} \right\} d\tau, \tag{2.16}$$

$$N_{2,k} = k (k+1) N_{1,k}; \quad W_{q,k} = \int_{0}^{1} (1-\xi^{2}) W_{q}(\xi, \tau) P_{k}(\xi) d\xi; \quad (q=7, 8)$$
(2.17)

Коэффициенты системы определяются выражениями:

$$a_{k,\rho}^{(1,q)} = \left\{ \delta_{11}(\rho) \left| J_{k,\rho-\frac{3}{2}}^{(1)} + J_{k,\frac{1}{2}}^{(1)} \tau_{1,\rho-\frac{1}{2}}^{(1)} \right| \Omega_{q_{1}}(\rho) + \delta_{12}(\rho) \left| J_{k,\rho-\frac{1}{2}}^{(1)} + J_{k,\rho-\frac{1}{2}}^{(1)} \right| \Omega_{q_{2}}(\rho) + J_{k,\frac{1}{2}}^{(1)} \left| \beta_{1}(\rho) \gamma_{1,-(\rho+\frac{5}{2})}^{(2)} \Omega_{q_{2}}(\rho) + J_{k,\rho-\frac{1}{2}}^{(1)} \right| \Omega_{q_{2}}(\rho) \right\} + \left\{ \beta_{2}(\rho) \gamma_{1,-(\rho+\frac{1}{2})}^{(2)} \Omega_{q_{2}}(\rho) \right\} \left\{ \frac{2k+1}{k(k+1)P_{k}(0)} P_{p}^{2}(0), \right.$$

$$a_{k,\rho}^{(2)} = \left\{ J_{k,-\frac{3}{2}}^{(2)} \alpha_{p_{2}}^{(0)} + \beta_{1}(\rho) \Omega_{q_{3}}(\rho) J_{k,-(\rho+\frac{5}{2})}^{(2)} + \beta_{2}(\rho) J_{k,-(\rho+\frac{1}{2})}^{(2)} \Omega_{k,-(\rho+\frac{1}{2})}^{(2)} \Omega_{q_{3}}(\rho) \right\} \left\{ \frac{2k+1}{k(k+1)P_{k}(0)} P_{p}^{2}(0), \right.$$

$$a_{k,\rho}^{(3,q)} = -\left\{ \alpha_{p_{1}}^{(q)} Z_{k,-\frac{1}{2}}^{(1)} + \alpha_{p_{2}}^{(q)} Z_{k,-\frac{3}{2}}^{(2)} + \delta_{11}(\rho) \Omega_{q_{3}}(\rho) Z_{k,-\rho+\frac{3}{2}}^{(1)} + \delta_{12}(\rho) \Omega_{q_{2}}(\rho) Z_{k,-\rho+\frac{1}{2}}^{(1)} + \beta_{1}(\rho) \Omega_{q_{3}}(\rho) Z_{k,-(\rho+\frac{1}{2})}^{(2)} + \delta_{11}(\rho) \Omega_{q_{3}}(\rho) Z_{k,-(\rho+\frac{1}{2})}^{(2)} + \beta_{2}(\rho) \Omega_{q_{3}}^{(q)} \Omega_{k,-\rho+\frac{3}{2}}^{(2)} + \delta_{11}(\rho) \Omega_{q_{1}}(\rho) X_{k,-\rho+\frac{3}{2}}^{(1)} + \delta_{12}(\rho) \Omega_{q_{3}}(\rho) Z_{k,-\rho+\frac{3}{2}}^{(1)} + \delta_{12}(\rho) \Omega_{q_{3}}(\rho) Z_{k,-\rho+\frac{3}{2}}^{(1)} + \delta_{11}(\rho) \Omega_{q_{1}}(\rho) X_{k,-\rho+\frac{3}{2}}^{(1)} + \delta_{12}(\rho) \Omega_{q_{3}}(\rho) Z_{k,-\rho+\frac{3}{2}}^{(1)} + \delta_{12}(\rho) Z_{k,-\rho+\frac{3}{2}}^{(2)} \Omega_{q_{3}}(\rho) Z_{k,-\rho+\frac{3}{2}}^{(2)} \Omega_{q_{3}}(\rho) Z_{k,-\rho+\frac{3}{2}}^{(2)} \Omega_{q_{3}}(\rho) Z_{k,-\rho+\frac{3}{2}}^{(2)} \Omega_{q_{3}}(\rho) Z_{k,-\rho+\frac{3}{2}}^{(2)} \Omega_{q_{3}}(\rho) Z_{k,-\rho+\frac{3}{2}}^{(2)} \Omega_{q_{3}}(\rho)$$

Таким образом решение поставленной задачи свелось к решению совокупности бесконечных систем линейных уравнений (2.14).

3. Используя неравенство (1)

$$\left| \frac{P_{-\frac{1}{2}+I_{7}}(0)}{P_{-\frac{1}{2}+I_{7}}(0)} \right| \le \frac{3}{2} \left(-1 + \frac{1}{4} \right)^{1/2}. \tag{3.1}$$

а также значение интеграла

$$\int \frac{x^{2-1}dx}{(x^{2}+a^{2})(x^{2}+b^{2})} = \frac{\pi}{2} \frac{\csc \frac{\mu\pi}{2}}{a^{2}-b^{2}} (b^{\frac{\mu}{2}-1}a^{\frac{\mu}{2}-1})(0 < \text{Re } \mu < 4)$$
(3.2)

после некоторых вычислений для коэффициентов $a^{(t)}_{0}$, $a^{(t)}$ можно получить следующие оценки (при k > N)

$$a_{k0}^{(i)} \sim 0$$
 $\frac{1}{p(p+1)} \prod_{i=1}^{n} \prod_{j=1}^{n} \prod_{i=2}^{n} (q=1, \dots, 4)$

т. е. спободные члены систем ограничены и для индексов стремящихся к бесконечности стремятся к нутю, а для модулен коэффициентов систем имеет место оценка

$$\sum_{p=N+2} \left| \sum_{l,q=1}^{4} a^{(l,q)}_{qp} \right| \leq \left| \sum_{l=1}^{4} a^{(l,q)}_{qp} \right| \leq \left|$$

Таким образом системы (2.14) оказываются кнази-вполне регулярными и решение совокупности систем можно пайти методом последовательных приближений.

Институт экономики и организации сельского колянства МСХ Армянский ССР

3m. II. ՆՇԱՆՅԱՆ

րաղաղբյալ կիսանաբրության առանցքասիմետրիկ խառը <mark>խնդբի մասին</mark>

Աշխատանքում դիտարկված է կիսասֆերիկ փորվածքով կիսատարածուիյան համար առանցքասիմետրիկ կոնտակտային մի խնդիր, երբ փորվածատարածության մեջ։

իսկ կիսասֆերայի և կիսատարածության համան մակերևույնի վրա բացակայում են շոշավող լարումները։ Կիսատարածունյան հորիզոնական եզրն ազատ

արևեն երևաթ է ձգայիր չավասանուդրբեն արվրեն որոարդրբեն քաւգ-

ծույց է տրվում, որ ստացված գծային հավասարումների անվեր, սիստեմները կվաղիլիովին ռեզուլյար , ը դ լուս առատ անդամները սահմանափակ են և ձգտում են զրոյի, երբ ինդես ձգտում է անկան

ЛИТЕРАТУРА— ТРИЧИНОТЕРЗИТЬ

1 Wangt S., J. Appl. Mech (Trans 32, 1965 32 Г Г Чанкветадзе, Труды Груз. политехнического ин-та, 1957, № 3/57 3 В И Ученые записки Белорусского ин-та ж/д транспорта, 1958, в 2 4 Eubanks Аррі Месh. v. 21, 1954, № 1. 8 Никанян, Известия Ан ССР «Механика», XXIII, № 5, 1970 г.

УДК 621 382 2

ФИЗИКА

Член-корреспондент АН Армянской ССР Г. М. Авакьянц, В. М. Арутюнян, Р. С. Барсегян

Формирование участка отрицательного сопротивления на вольтамперной характеристике *р nn** структур

(Представлено 15/111 1971)

Проанализируем возможность возникновения участка отрицательного сопротивления S-типа на прямой ветви вольт-амперной характеристики p nn* структур. Крайние p — и n* — слои считаются короткими* и высоколегированными, падением напряжения на них пренебрегаем. Коэффициенты инжекции переходов считаем равными единице. Тогда вольт-амперная характеристика структуры полностью определяется процессами, происходящими в n-базе.

Вычитая уравнение непрерывности для дырочного тока из соответствующего уравнения для электронной составляющей тока, имеем

$$\frac{d^{2}}{dx^{2}}(n+p) + \frac{1}{kT} \cdot \frac{d}{dx} \left[e(n-p)E \right] = \frac{p-p_{\tau}}{D_{p}\tau_{p}} \cdot \frac{b+1}{b}. \tag{1}$$

Обозначения обычные. Оставим в выражении для напряженности электрического поля

$$E = \frac{\int_{au_p(bn+p)} - \frac{D_p\left(b\frac{dn}{dx} - \frac{dp}{dx}\right)}{u_p(bn+p)} = E_\tau + E_{\text{дифф}}$$
(2)

только член E_{τ} , соответствующий токовому (дрейфовому) электрическому полю. С учетом того, что

$$\frac{d^{2}(n-p)}{dx^{2}} = \left(\frac{dn}{dp} + 1\right) \frac{d^{2}p}{dx^{2}} + \left(\frac{dp}{dx}\right)^{2} \frac{d^{2}n}{dp^{2}}$$
(3)

$$\frac{d^2n}{dx^2} = \left(\frac{dp}{dx}\right)^2 \frac{d^2n}{dp^2} + \frac{d^2p}{dx^2} \frac{dn}{dp} \tag{4}$$

получим из (1) уравнение:

$$\frac{d}{dp} \frac{(np)}{bn+p} \frac{d^2p}{dx^2} + \frac{p}{bn+p} \frac{d^2n}{dp^2} \frac{u_p}{J(b+1)} \cdot \left(b\frac{dn}{dp}-1\right)$$

$$\cdot \frac{d}{dp} \left[e\left(n-p\right)E\right] \left(\frac{dp}{dx}\right) + \frac{1}{kT(b+1)} \left[\frac{d}{dp}\left[e\left(n-p\right)E_1\right]\right] \cdot \frac{dp}{dx} = \frac{p-p_1}{bD_p}$$

$$(5)$$

(5) отличается по виду от уравнения, приведенного в (1), а его коэффициенты имеют новый смысл. В частности, коэффициент при $\frac{1}{kT} \cdot \frac{dp}{dx}$ имеет размерность силы и представляет собой изменение разультирующей силы, действующей на электронно-дырочную плазму со стороны токовой (дрейфовой) составляющей электрического поля, приходящейся на одну инжектированную дырку. В (1) коэффициент при $\frac{dp}{dx}$ имеет форму $\mathfrak{p}\mathfrak{E}$, где \mathfrak{p} называют биполярной подвижностью.

Из (5) можно сделать следующий вывод. Если мы рассматриваем процессы, имеющие место в "короткой" базе в чисто диффузионном приближении, то (5) перепишется так:

$$\frac{d}{d\rho} \frac{(n\rho)}{bn+\rho} \frac{d^{2}\rho}{dx} = \frac{\rho-\rho_{\tau}}{bD_{\rho}^{2}\rho}$$
(6)

Предполагается наличие в базе уровней прилипания для неосновных носителей (дырок). Тогда связь *п с р* дается из условия квазиней тральности в виде:

$$n = p + N_g + \frac{p}{p + p_1} P. \tag{7}$$

Здесь Р — концентрация уровней прилипания. Используя (7), преобразуем (6) к виду:

$$\frac{2p + N_R + \frac{p^2 + 2pp_1}{(p+p_1)^2}P}{(b+1)p + bN_R + \frac{bpP}{p+p_1}} \cdot \frac{d^2p}{dx^2} = \frac{p - p_1}{bD_p\tau_p}.$$
 (8)

Легко убедиться, что множитель при второй производной р по координате не растет с ростом тока и, следовательно, распределение концентрации дырок по координате мало отличается от того, что имеет место в полупроводнике без уровней прилипания. Поэтому, вопреки утверждению (2), заполнение последних не приводит к S-образности в диффузионном приближении. Это для частных случнев показано в (3)

В дрейфовом приближении задача о влиянии уровней прилипания рассматривалась в (4). Нетрудно убедиться, что в этом приближении наибольшим членом в левой части уравнения (5) является последний изменение которого с током может привести к участку отрицательного сопротивления S-типа.

Из (7) можно получить в дреифовом приближении следующее квадратное уравнение для *р*

$$p^{2}-k(M-n_{0})p-kp(N_{x}-n_{0})=0. (9)$$

Здесь

$$n_0 = \frac{j}{eu_n E_1}$$
; $k = \frac{b}{b+1}$; $M = P + N_g + \frac{p_1}{k}$. (10)

Подстановка выражения для p из (9) в уравнение непрерывности позволяет получить соответствующие уравнения, а также установить конкретные виды зависимости E от плотности тока, координаты и параметров материала. Расчет характеристики, описывающей переход от одной квадратичной зависимости, соответствующей весьма слабому заполнению уровней прилипания, к другой квадратичной зависимости, описывающей вольт-амперную характеристику при заполненных уровнях прилипания (4), убеждает нас в существовании участка отрицательного сопротивления S-типа (5). Расчет был проведен методом разделения базы на 4 области: 1) Области $f \sim V^2$, в которой уровни прилипания заполнены

$$E_1 = \sqrt{\frac{2/\lambda}{eu_n u_n - \rho M}} \tag{11}$$

2) области, где

$$E_{11} = \left| (E_2)^{\frac{3}{2}} - \frac{1}{kMu_p z_p} \right| \left| \frac{kp_1}{eu_n} (x_2 - x) \right|^2; \quad (12)$$

3) довольно протяженной области локального отрицательного сопротивления

$$E_{III} = E_2 \exp \left[\frac{ebM \left(x - x_o \right)}{I^{-p}} \right] \tag{13}$$

4) области нижней квадратичной зависимости

$$E_{1V} = \sqrt{\frac{2jx}{eu_n u_p z_p N_e}}.$$
 (14)

Здесь E_z и — величина напряженности электрического поля и координата на границе II и III областей (5).

Сшивая решения в областях между собой при условии непрерывногли напряженности электрического поля на границах областей и нулевом граничном условии при x = 0, получаем с ростом тока продвижение низкоомных областей вглубь базы. Срыв наступает при вхождении трех первых областей в базу на четверть длины последней. Величину тока срыва можно найти численным путем из уравнения

$$B = \frac{(1 - 4B)(1 - B)}{(4 - B)(A - \ln B)} \tag{15}$$

Здесь A— некоторая функция от параметров материала и уровня прилипания ().

$$B = \frac{1}{2ebMd}$$

Для папряжения срыва получим:

$$V_{\rm ep} = \sqrt{\frac{3MB}{N_{\rm c}}} \cdot \frac{d^2}{2u_p \tau_p} \tag{16}$$

В частности, для $P = 50 N_{\rm g}$ и $\frac{P_1}{k} = N_{\rm g}$ имеем:

$$I_{\rm cp} = 2.2 \frac{ebN_{\rm g}d}{r}$$
, $V_{\rm cp} = \frac{1}{2u_{\rm prop}}$. (17)

Заметим, что срыв характеризуется сравнительно малыми величинами $I_{\rm cp}$ и $V_{\rm cp}$. Напомним, что величина тока, равная $\frac{e^{-1}}{r_p}$, характеризует в обычной теории двойной инжекции (6) (при отсутствии уровней прилипания) лишь начало высокого уровня инжекции (переход от закона Ома к квадратичной закономерности).

В. И. Стафеевым была выдвинута идея формирования S-образной характеристики за счет увеличения с ростом тока времени жизни неосновных носителей тока (*) (т—механизм). В дальненшем было показано (*), что увеличение т не является единственной возможностью для получения S-образности. При этом было указано на два механизма возникновения S-образности у компенсированного полупроводинка в условиях двойной инжекции за счет: 1) наличия в базе пустых до инжекции лонушек (Nn—механизм) и 2) накопления и последующего рассасывания объемного заряда (Q-механизм). При анализе случая, когда глубокие уровни заметно смещены к потолку валентной зоны, была принята во внимание убывающая с током зависимось тр. приводящая к накоплению напряжения на базе и смене квадратичной

закономерности (при постоянном τ_p) на $J \sim V$ (°). С учетом этого обстоятельства и механизмов, предложенных в (°°), были проведены расчеты, позволившие понять различные температурные зависимости напряжения и тока срыва (°°).

Новая сторона N_n — механизма была вскрыта в (11), где отмечено, что формирование отрицательного сопротивленяя сопровождается ростом с током биполярной подвижности. В дальнейшем, кроме биполярной

было введено понятие эффективной подвижности (¹²). Если первая характеризует, наряду с другими параметрами, распределение концентрации носителей, то вторая отражает распределение электрического поля по базе. В (¹²) было показано, что эффективная подвижность может менять знак в зависимости от величины концентрации носителей. В последующем это же было отмечено и для биполярной подвижности (¹²). Однако практически оба вида подвижности не обладают достаточной наглядностью и носят формальный характер. S-образность может возникнуть и за счет других факторов, например, утечки (¹⁴) и др.

Одним из эффективных методов получения неравновесной электронно-дырочной плазмы в твердом теле является двойная инжекция носителей с использованием p nn^* структуры (13). Сформированная у электродов плазма заполняет базу так, как это диктуется условием нейтральности и приложенным к структуре внешним напряжением. В частности, на электронно-дырочную плазму со стороны токового электрического поля у p^* слоя действует отмеченная выше результирующая сила. Перенос вглубь базы плазмы (облака из свободных электронов и дырок, нейтрализующих связанный на неподвижных центрах заряд) определяется изменением результирующей силы, приходящимся на одну инжектированную дырку. Если оно растет с током, то плазма входит глубже в базу, распределение носителей становится более плоским. Причиной роста $\frac{d}{dp}$ [$e(p-n)E_1$] являют-

ся микропропессы, связанные с наличием в базе различного рода центров. Например, присутствие, как отмечалось выше, незаполненных до инжекции ловушек способствует накоплению напряжения на базе, которое начинает падать, когда заканчивается задержка раскомпенсации или уменьшение времени жизни. Именно тогда и растет с током указанное изменение результирующей силы, способствующее протаскиванию носителей через полупроводник.

Институт радиофизики и электроники Академии наук Армянской ССР

Հայկական ՍՍՌ ԳԱ թղթակից-անդամ Գ. Մ. ԱՎԱԿՑԱՆՑ, Վ. Մ. ՀԱՐՈԼԹՅՈՒՆՅԱՆ. Ռ. Ս. ԲԱՐՍԵՂՑԱՆ

p nn ստուկտուռայի վոլտ-ամպեռային բնութագծի վռա բացասական ղիմադրության ճատվածի ձևավորումը

Ուսումնասիրվում է հաստատուն հոսանքի անցումը *թ*+ռռ՝ ստրուկտու րայում, որի ռ-հիմքում առկա նն խոռոչննրի համար կսյչողակ<mark>ան մակա</mark>ր ղակներ

մադրության հատվածի բարակայությունը։ Հադրության հատվածի բարակայությունը։

Կուիոխությունը Հոսանրից կախված ընրում է Տ-տիսլի <mark>ըացասական դիմա</mark>

յի վրա, մեկ ներվուծված խոռոչի համար։

ուժն է, որով էլեկտրական դաշտը ազդում է էլեկտրոնա-խոռոչային պլազմաամպերային բնութագծի վրա։ Այդ առուսասար ուժի փուիսխաքյունը այն
դրության հատվածի առաջացմանը նպար

ЛИТЕРАТУРА— ЧРЦЦЦЪПЕР ЗПЕЪ

I Р. Смит, Полупроводники, гл. 8, ИЛ 1962. 2 A Ю . Тейдермин, ФТП. т. 3, 1492 (1969). 3 Г. М. Авакьянц, А. У. Рахимов «Известия АН Арм ССР», Физика, т. 1, 164 (1966); т 2, 105 (1967). 4 Г. М. Авакьянц В. М. Авитинан «Изв. АН Арм. ССР», Фнзнка, т. 3, 200 (1968); ФТП, т 3 964 (1969) 5 Г М Анаказац В М Аругюнян, Р С. Борсеган, Материалы Всесоюзной конференции по филике полупроводниковых приборов н микроэлектронике, Топлиси, 1971. М. А. Lampert, A. Rose, Phys. Rev. 121, 26 (1961). 1 B. H. Cmapees, 4TT, 1 3, 2513 (1961); T. 5, 11 (1963), M. A. Lampett, Phys. Rev. 125, 126 (1962). Repts. Progr. Phys. 27, 319 (1964). * F. M. American Pagnotexnoka н электроника», т. 10, 1880 (1965); «Известия АН Арм ССР», «изика, т. 1. 248 (1966) 9 Г. М. Авакьянц, В. М. Арутюнян, ДАН АрмССР т 46 228 (1968), «Известия АН Арм ССР», Физика, т. 4, 318 (1969) 10 Г М. Авакьяни Ю 4 Абрамян, «Известия АН Apm ССР», Физика, т. 4 386 (1969) 11 В А Сабликов, И Б Павлинов, ДАН Узб ССР т 9 27 (1967), т 4, 21 (1968); В. В. Осилов, В. И. Стафеев, ФТП, т 1 1795 (1967). 12 К) 4 Прамли, Авторефер т. ЕрГУ, 1969 13 В А Душкин, Л П Музюкин В И Мурыгин, В. И. Стафеев, ФТП, т. 4, 1761 (1970). 14 В. И. Стафеев, ФТТ т. 3, 185 (1961). Г. М. Лоакоями, Радноте кника и электроника», т. 10, 1594 (1963), ДАН Ары ССР, т. 50-204 (1970): т. 51. 164 (1970). 15 Б. Анкер-Д≃онсон, Тр. IX Международной конференции по физике полупроводников Наука М. 1970 гр 859.

УДК 11123

АСТРОНОМИЯ

Ч ен коррестондент АН Армянской ССР Г. А. Гурзадян, Э. А. Казарян, М. Н. Крмоян Р. А. Епремян

Ракетная астрофизическая обсерватория К-2

(Представлено 8/IV 1971)

З октября 1970 г. в Советском Союзе был произведен запуск ракетной обсерватории, предназначенной для комплексного исследования Солица в области далекого ультрафиолета и рентгеновских лучей. Настоящая статья посвящена описанию принципов работы и структуры этой обсерватории (условное название «К-2»).

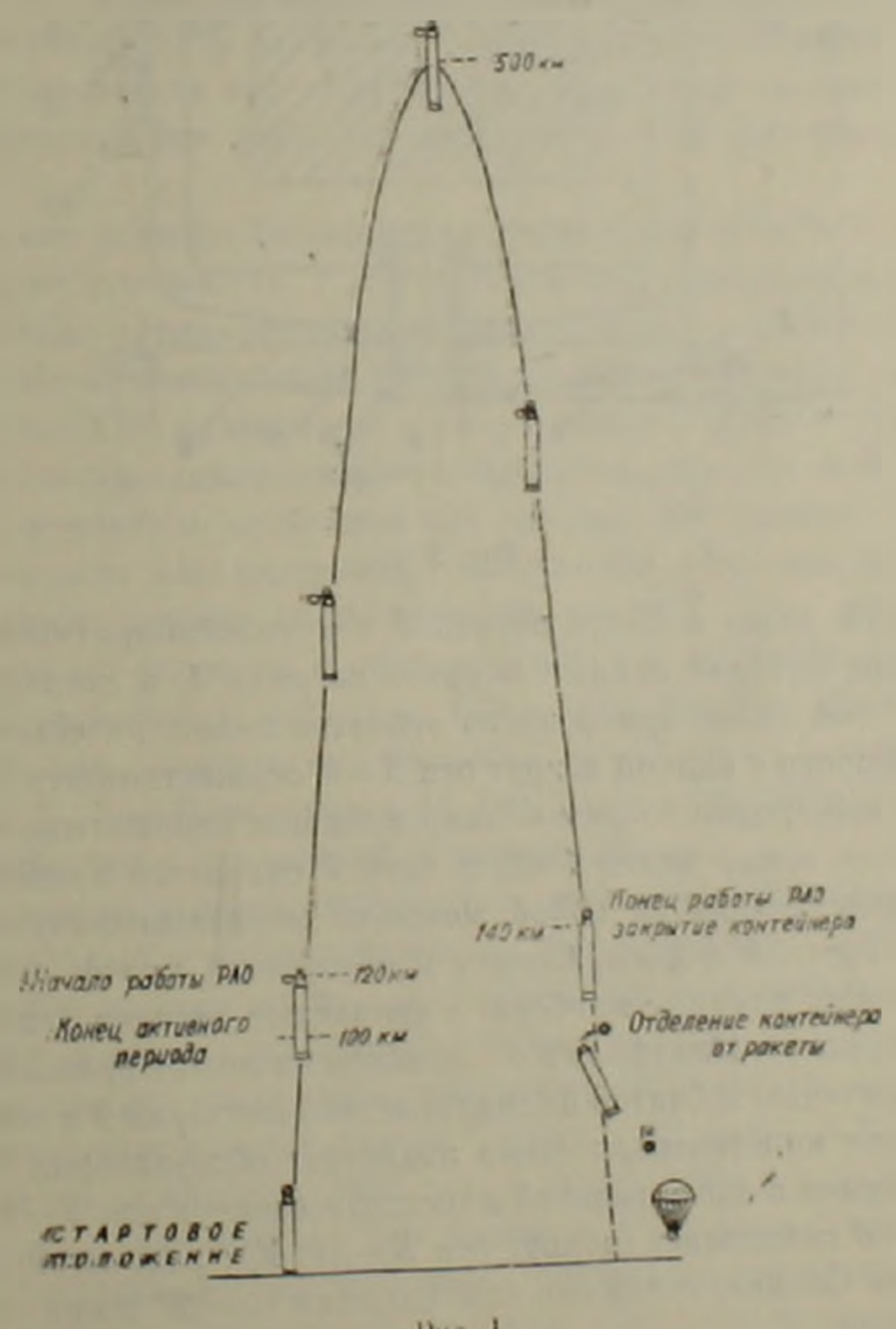
Принцип работы обсерватории К-2. В основу работы ракетной обсерватории К-2 заложена идея использования инертной массы ракеты в качестве платформы первичной стабилизации, когда она стабилизирована и ориентирована в отношении небесных систем координат с очень плохой точностью — нескольких градусов дуги — на пассивном участке ее полета. Установленная в головной части ракеты обсерватория К-2, не отрываясь от нее, сама отрабатывает требуемую точность ориентации и стабилизации, в данном случае не хуже одной минуты дуги, в течение всего периода пассивного полета. Момент инерции подважной части К-2 в среднем одинаков по всем осям и порядка одного кг м сек2. Моменты инерции используемой ракеты с пустыми баками по отношению к ее поперечной и продольной осям порядка сотен кг м сек2. При таком большом отношении моментов инерции ракеты и обсерватории, возмущения, воз никающие вследствие отработки рассогласования положения обсерватории относительно небесных систем координат, практически не будут сказываться на поведении ракеты.

В стартовом положении обсерватория К-2 находится внутри сферического контейнера и наглухо закреплена на опорном кольце, находящемся в нижней части контейнера. Основная задача контейнера—спасение обсерватории со всеми приборами и кассетами с отсиятыми фотопленками после выполнения программы астрономических наблюдений. С этой целью контейнеру придана достаточная жесткость и прочность, он оснащен нужными теплозащитными средствами и имеет парашютную систему.

Использованная для запусков K-2 ракета поднималась почти вертикально до высоты около 500 км. Из них 120 км относятся к активному участку траектории; работа K-2 по программе начинается с высоты 224 120 км. В конце активного участка движения ракеты поступает сигнал к открытию контейнера. Когда контейнер полностью открыт, специальная блокирующая вистема подключает электропитание к автономному программирующему устойству, к следящей системе и электродвигателям подвижных платформ К-2.

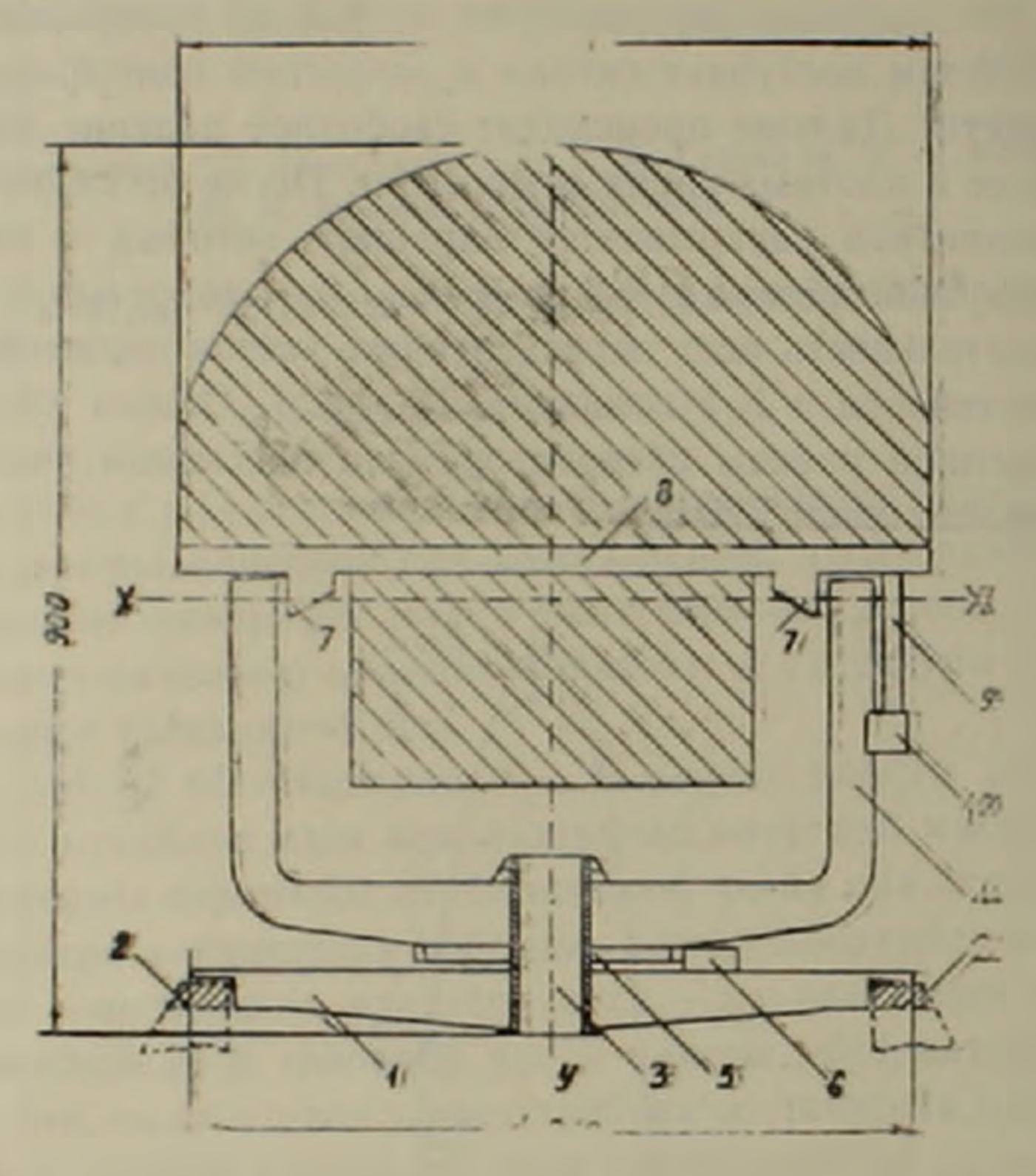
На нисходящей траектории полета, с целью своевременной подготовки операций по спасению обсерватории, ее работа прекращается на высоте 140 км. Затем поступает сигнал к закрытию контейнера и его отстрелу от ракеты. Дальше происходит свободное падение контейнера и его торможение в плотных слоях атмосферы. После этого, на высоте нескольких километров раскрывается паращют, который и обеспечивает мягкую посадку контейнера с К-2 на Землю (со скоростью 8—9 м/сек).

Последовательность всех перечисленных этапов движения ракеты и состояния контейнера с К-2 показана на рис. 1. Общая продолжительность программной работы обсерватории на пассивном участке полета ракеты составляет около 570 сек.



PHC. 1

Конструктивная схема обсерватории К-2. Основная конструктивная схема обсерватории К-2 показана на рис. 2. Сварная опорная рама / является основным несущим элементом, воспринимающим статические и динамические нагрузки обсерватории с учетом перегрузок (до 10 g) и вибраций. Рама / одновременно опирается по периметру на силовое кодь цо 2 контейнера, к которому она закрепляется двенадцатью болгами в



Pric. 2'

центре опорной рамы имеется втулка 3 с крупногабаритными шарикоподшипниками, которая опирается снизу на раму I, а сверху связана с
вилкой 4 К этой вилке прикреплено зубчатое цилиндрическое колесо 5,
вращение которого с вилкой вокруг оси X-X осуществляется с помощью
редуктора с электродвигателем 6, закрепленным неподвижно на раме I

На верхние концы вилки 4 через лапы 7 опирается приборная платформа 8, представляющая собой мощную дюралюминиевую ажурную плиту почти круглой формы. Сверху и снизу этой плагформы установлены неподвижно научные приборы и солнечные датчики (заштрихованная часть на рис. 2). Платформа 8 с приборами может вращаться вокругоси X—X с помощью зубчатой цилиндрической шестерии 9 и редуктора 10.

Выбранная кинетическая схема позволяет обсерватории К-2 осуществлять вращение в азимутальной плоскости (вокруг оси Y-Y) в пределах $0-360^\circ$ по склонению (вокруг оси X-X). К-2 рассчитана на захват и гидирование Солица, когда оно находится на $10-20^\circ$ выше математического горизонта.

Внешний контур объема, внутри которого расположены приборы, ныбран таким образом, чтобы при всех положениях платформы 8 относительно оси X-X ни один прибор не соприкасался с внутренней поверхностью контейнера. Непосредствение к колесу 5 и вилке 4 закрепляется горизонтальная платформа (не указанная на рис. 2), где устанавливается часть вспомогательных приборов (бортовой программник, электронные блоки следящей системы и т. д.). Некоторые из этих блоков закреплены прямо на стойках вилки 4.

Все электрические провода и жгуты, которые должны идти от K-2 к приборному отсеку ракеты, расположенному под контейнером, проходят через центральное отверстие 3, не мешая свободному вращению верхней части K-2 вокруг вертикальной оси.

Полный вес обсерватории К-2 около 200 кг, габаритные размеры 900×900 мм.

Система ориентации и стабилизации К-2 Была осуществлена двухрежимная стабилизация приборной платформы К-2; режим грубой стабилизации — с помощью самой ракеты, и режим точной стабилизации с помощью автономной двухосной стабилизированной платформы К-2. В первом случае ракета как на активном, так и на пассивном участках полета стабилизируется грубо по всем плоскостям (рыскание, крен, тангаж).

В режиме точного слежения приборная платформа K-2 стабилизируется в двух плоскостях, т. е. по одной оси, проходящей через линию Земля—Солице. Ориентация и стабилизация приборной платформы K-2 осуществляется электромеханической системой, которая обеспечивает: а) автоматическую ориентацию в направлении Солица в пределах ± 30°; б) автоматическую стабилизацию с точностью не хуже ± 30°.

Исполнительным элементом для каждой оси системе орнентации и слежения служит электропривод с двигателем постоянного тока с независимым возбуждением от постоянного магнита. Для обеспечения обратной связи по скорости в редуктор встроен тахогенератор с возбуждением от постоянных магнитов. Следящая система, предусмотренная для работы при относительно больших возмущениях, разработана совместно с А. Е. Бор-Раменским и Н. Платоновым по методу оптимального быстродействия с нелинейной обратной связью.

Индикатором углового положения для следящей системы служит двухкоординатный и двухступенчатый прецезионный датчик Солнца. Коиструктивно он состоит из двух частей—грубого датчика или захватчика Солнца, и точного датчика или фотогида Солнца. Захватчик выполнен по принципу щелевых солнечных датчиков и при его небольших размерах обеспечивает поиск и захват Солнца в пределах $\pm 30^\circ$ как по азимуту, так и по склонению. Фотогид предназначен для точного гидирования; основным элементом в нем является длиннофокусный менисковый объектив ($F = 2100^\circ$ мм), который строит на фокальной плоскости изображение Солнца диаметром около 20 мм и с достаточно резкими краями. Там же имеется маска со щелями, за которыми расположены светочув-

ствительные элементы. Основные параметры фотогида следующие: поле зрения 40', разрешающая способность 5", зона линейности 3',2, крутизна 50 мв/мин, выходное сопротивление 500 ом.

Электрические системы. Все приборы и блоки электроняки подсоеди. нены к бортовой батарее напряжением 27 в. Ввиду того, что колебания тока в электрической сети больше, следящая система залитывается черет стабилизатор, а остальные приборы подсоединены к бортовой сети непосредственно.

Программа работы обсерватории К-2 в полете осуществляется электромеханическим программир-временным механизмом, он начинает работу сразу же после включения электропитания в начале пассивного участка движения ракеты. Каждый из приборов подсоединен через диф-ференцирующую цепочку к отдельному диску программника.

На борту ракеты, поднимающей K-2, имеется радиотелеметрическая станция. Однако она используется не для передачи на Землю собственно научной информации от K-2, а для контроля за работой следящей системы и отдельных научных приборов.

Приборный состав и научная программа К-2. Обсерватория К-2 презназначена для изучения отдельных крупных частей Солица — хромосферы, средней и дальней короны, активных областей на фотосфере — в ультрафиолетовых и рентгеновских лучах. Поэтому установленные на ее приборной платформе измерительные приборы являются преимущественно короткофокусного типа.

В один комплект К-2 входят следующие научные приборы:

1. Лайман-альфа камера новой системы (1 шт.) — для получения снимков хромосферы Солнца в линии Лайман-альфа водорода. Фокусное расстояние камеры—500 мм, входное отверстие объектива—70 мм.

2. Корональный щелевой спектрограф системы Роуленда (1 шт.)— для получения спектрограмм короны (и хромосферы) в днапазоне 500— 1300 Å и со спектральным разрешением 0,1 Å.

3, Хромосферный щелевой спектрограф системы Роуленда (1 шт.)— для получения спектрограмм хромосферы в области 700—1800 А и ∞ спектральным разрешением 0,1 А.

4. Внезатменный коронограф (1 шт.)—для получения прямых снимков солнечной короны в области длин воли 2000—3000 А и до расстояний от края солнечного диска около 24 раднусов Солица. Диаметр входного отверстия 16 мм, эквивалентное фокусное расстояние—122 мм.

5. Гелиевый монохроматор (1 шт.)—для получения монохроматиче ских изображений Солица в линиях 304 HeII и 584 Hel. Диаметр вход ного отверстия—50 мм. Фокусное расстояние монохроматора—250 мм.

6. Камеры-обскуры (120 шт.) — для получения прямых снимков Солнца в области мягкого рентгена (короче 60 Å). Фокусное расстояние ка мер—150 мм, угловое разрешение—до одной минуты дуги.

7. Рентгеновский спектрограф косого падения (1 ціз.) — для получе-

ния спектрограммы солнечной короны в интервале 10—150 А, дисперсия спектрографа около 3 А/мм. Все научные приборы работают фотографическим методом. Во избежание фрикционных повреждений фотоэмульсий, в большинстве из этих приборов реализован способ поперечного перемещения плоских кассет, позволяющий получение нескольких снимков на одном небольшом куске фотопленки.

Наладка, юстировка и подготовка научной аппаратуры к запуску правильное ее размещение и крепление на приборной платформе, составляют солидную часть всей работы, связанной с созданием и эксплуатацией обсерватории К-2.

Необходимо подчеркнуть, что после приземления К-2 подавляющее большинство научных приборов, а солнечные датчики и электронные блоки полностью сохраняют свою работоспособность и, согласно результатам проведенного после спуска опробования, могут быть использованы повторно.

Разработка основных принципов работы ракетной обсерватории К-2, расчет и проектирование оптико-механических систем установленных на ней научных приборов и датчиков ориентации, а также комплексная разработка технического проекта обсерватории К-2 велись в Филнале Бюраканской астрофизической обсерватории по космическим исследованиям Академии наук Армянской ССР. Часть научных приборов, установленных на К-2, была изготовлена на Ленинградском оптико-механическом заводе. Изготовление механических частей стабилизованной платформы и вспомогательной аппаратуры, а также монтаж первых комплектов К-2 были осуществлены в основном Бюраканской оптико-механической лабораторией. Новые комплекты К-2 были изготовлены, собраны и наложены Ереванским СКБ «Астро» и Филналом БАО по космическим исследованиям.

Филиал БАО по космическим исследованиям Академии наук Армянской ССР, СКБ "Астро"

> Հայկական ՍՍՀ ԳԱ թղթակից անդամ Գ. Ա. ԳՈՒՐԶԱԴՑԱՆ, Ե. Ա. ՂԱԶԱՐՅԱՆ, Մ. Ն. ՔՐՄՈՑԱՆ, Ռ. Ա. ԵՓՐԵՄՅԱՆ

K-2 Հորիռային աստղադիտաբանը

1970 թ. Հոկտեմբերի 3-ին տեղի է ունեցել K-2 Հրթիռային աստղադիտաբանի արձակումը՝ Արեգակի կարձալիք ու ռենտգենյան ալիքներում ուսումնասիրման նպատակով։

շողվածը նվիրված է այդ աստղադիտարանի աշխատանքի սկզբունքների

և կառուցվածքի նկարագրմանը։

ոտեսներիսով լբևրժարի ումմություրը ճետնոմ Հաասւի քաւռանրմութիչըրև աւ երը K-5 արմարայեր իրերունույը իտեսւրանդար ռիոարդի օգրությադե՝ օգգրիսւ դիաենւ պչենիա առամաժիատիար իտերարանուղն ինափարանվուղ է տևմարմվացն, սնուրը դախրարարար ու իստիա իտեսւրանդար չբրանար օգտաժանՀենիստիրը առամամիատնարի աշխատարեր չիղեսող մեմագ է չենիսի

եառավարող սարթեր. Ճշգրիտ կայունացումը իրականացվում է երկու Հար. Քությամբ, այն է՝ միայն նրկիր-Արեգակ դծի ուղղությամբ։

Հողվածում չարադրված են հռնիռային աստղադիտար<mark>անի կոնստրուկտիվ</mark> առանձնահատկունյունները, կայունացման սիստեմի հիմնական ցուցանիչնեւ րր, տեղեկություններ էլեկտրոնային սիստեմների մասին։

րերված է Հրβիռային աստղադիտարանի վրա տեղավորված ղիտական ու չափողական սարքերի ցանկը և նրանց <mark>Հիմնական ցուցանիշնե</mark>րը։

Այդ սարքերը <mark>Նախատեսված են Արեգակի գունոլորտ</mark>ի ու լուսոլորդի ակտիվ տիրույ**իների ուսումնասիրուիյան նպատակո**վ։

Հոկտնմբնրի 3-ի թոիչքի ընթացքում ստացված արդյունքննրը բևրվում են այլ տնղնրում։ 3 JK 542.61 + 543.70 + 546.86

НЕОРГАНИЧЕСКАЯ ХИМИЯ

Член-корреспондент АН Армянской ССР В. М. Тараян, Ж. М. Арстамян.

К вопросу о химизме экстракции сурьмы основными красителями

(Представлено 30/IV 1971)

Взаимодействие хлоридного аннонного комплекса сурьмы (V) с катионами различных основных красителей широко применяется для экстракционно-фотометрического определения микрограммовых количеств сурьмы. При этом почти все без исключения, авторы считают, что в образовании экстрагируемого нонного ассоциата принимает участие гексахлорантимонат-анион $\{SbCl_6\}^-$. Последний легко гидролизуется, а скорость гидролиза увеличивается с повышением концентрации кислоты в растворе (1). Так константа скорости реакции: $\{SbCl_6\}^-$ — $\{Sb(OH)Cl_5\}^-$, наивысшее значение приобретает при 6.0 н. концентрации HCl $\{K=9,6\cdot 10^{-3}\}$ мин -1).

Авторы считают, что продукт гидролиза т. е. [Sb(OH)Cl₅] - нон нереакционноспособен по отношению к катиону основного красителя и рекомендуют проводить экстракцию при сравнительно низкой кислотности (2,0—3,8 М). Однако описанные в литературе экстракционно-фотометрические методы определения сурьмы (V) осуществляются не только при указанной кислотности, а в заметно широком ее интервале (2).

Одновременно, вопрос о составе извлекаемого в органическую фазу аниона сурьмы (V), в зависимости от кислотности водной фазы т. е. механизм экстракции сурьмы (V) из солянокислых растворов в присутствии основных красителей, практически не исследован.

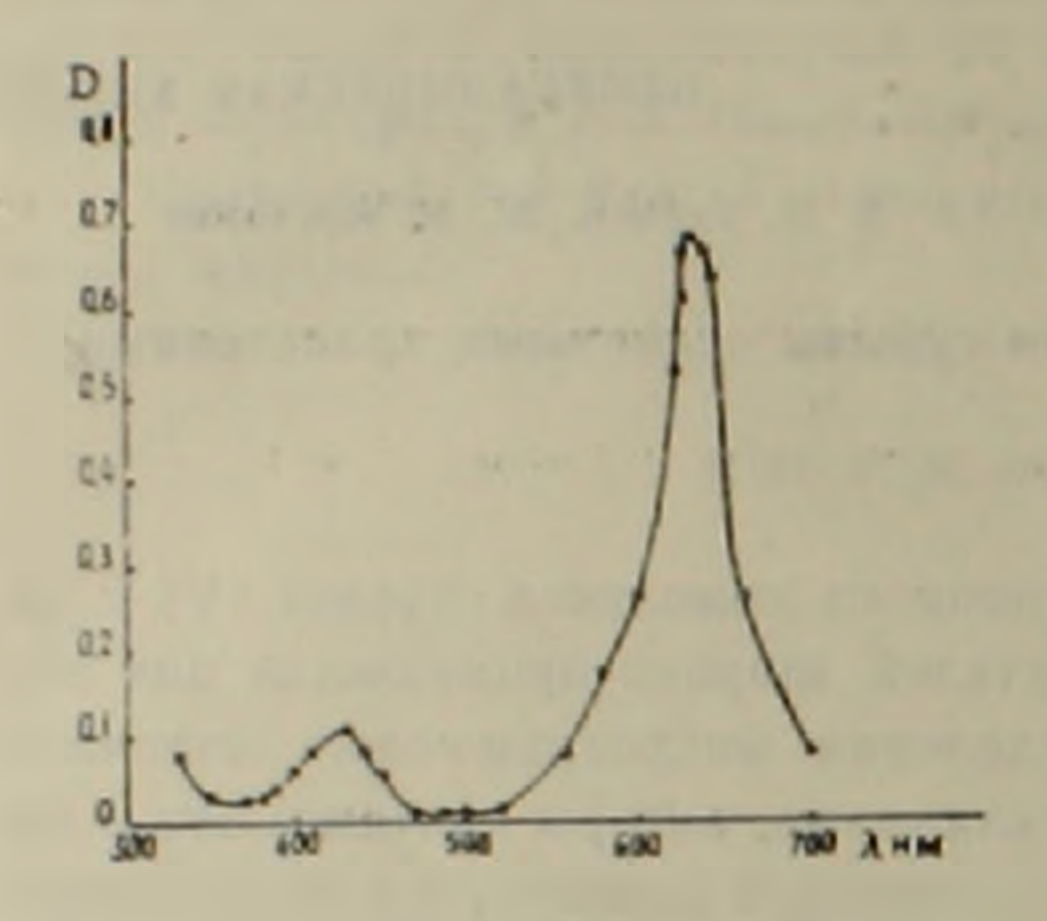
Исходя из вышеизложенного, при исследовании возможностей применения основного красителя метилового зеленого, как реагента для экстракционно-фотометрического определения сурьмы была поставлена задача изучить влияние кислотности водной фазы на полноту экстракции, а также на состав экстрагируемого аннонного комплекса сурьмы (V).

Результаты такого исследования позволили бы установить как область оптимальной кислотирсти, так и четче представить механизм экстракции исследуемого анионного комплекса в органическую фазу. Преднарительными опытами был подобран экстрагент, который практически

^{*} Краситель "Метиловый зеленый", марки, Reanal*.

полностью экстрагировал образующееся трехкомпонентное соединение не изплекая при этом простую соль реагента. В качестве такого экстратента из испытанных нами различных органических растворителей наи более пригодным оказался бензол.

На рис. 1 дан спектр поглощення бензольного экстракта окрашенного соединения сурьмы (V).



0.5 0.5 0.5 0.2 0.1

Рис. 1 Спектр поглощения бензольного экстракта ассоциата аннонного комплекса сурьмы (V) с метиловым зеленым (водная фаза 0.3 и НСІ)

Рис. 2. Зависимость светопоглощения бензольных экстрактов ассоциата анионного комплекса сурьмы (V) с метиловым зеленым от кислотности волной фазы

Из приведенных данных следует, что максимум в спектре поглощения упомянутого экстракта наблюдается при 630 нм. Оптическая плотность «холостого» равна нулю. Соответствующими экспериментами было установлено, что нонный ассоциат сурьмы (V) с метиловым зеленым практически количественно экстрагируется однократной экстракцией в довольно широком интервале кислотности 0,3—5,0 н. НС1 (рис. 2).

В этой связи возникла необходимость определить состав извлекасмого в органическую фазу аннониого комплекса сурьмы (V) в зависимости от кислотности водной фазы и выяснить сохраняется ли этот состав постоянным в указанном широком интервале кислотности. С этой целью в бензольном экстракте определялось мольное отношение хлориона к сурьме.

Методика исследования заключалась в следующем. Количество извлеченной в органическую фазу сурьмы (V) определяли по предварительно заготовленному калибровочному графику. Для определения количества хлор-иона в извлекаемом в органическую фазу трехкомпонентном соединении несколько бензольных экстрактов (содержащих в сумме от 50 до 200 мкг сурьмы) объединялись и тщательно отделялись от остатков водной фазы. Затем объединенный экстракт выпаривали на водяной бане до объема в 5—7 мл, добавляли 10 мл азотной кислоты (1:5) и выпаривали до полного разложения реагента-красителя. Остаток разбавляли водой до 25—30 мл и выделяли сурьму цементацией на медной

спирали. В полученном описанным способом растворе концентрацию хлор-нона определяли амтерометрическим титрованием, раствором нитпата серебра.

Результаты приведены в табл. 1.

Влияние кислотности водной фазы на состав извлекаемого в органическую фазу анионного комплекса сурьмы

Кислотность подной фазы		Содержание хаор. нона в экстракте, г-ноп	Отношение: Sb	Состав анионного комплекса сурьмы
0,3н-НС1	1,64-10 ⁻⁶ 1,13-10 ⁻⁶	1,6 10-6	1:1	[Sb(OH),CI]
1,0m-HCl	0,82 10 ⁻⁶ 1,23 10 ⁻⁶ 1,64 · 10 ⁻⁶	1.68 10 ⁻⁶ 2.57 10 ⁻⁶ 3.11 10 ⁻⁶	1:2	[Sb(OH) ₄ Cl ₄]
3,0н·HCl	$ \begin{array}{c} 1,23 \cdot 10^{-6} \\ 1,23 \cdot 10^{-6} \\ 0,61 \cdot 10^{-6} \\ 0,41 \cdot 10^{-6} \end{array} $	3,72 10 6 3,67 10 6 1,79 10 6 1,22 10 6	1:3	[Sb(OH) ₃ Cl ₃]
5,0н·HC1	1,23·10 ⁻⁶ 0,41·10 ⁻⁶ 0,62·10 ⁻⁶ 0,62·10 ⁻⁶	5,04-10-6 1,72-10-6 2,52-10-6 2,50-10-6	1:4	{Sb(OH),Cl ₄ }
6,0n HCl	0,49 10 6 0,35-10-6 0,35-10-6	2,05.10 6 1.37.10 6 1.47.10 6	1:4	[Sb(OH) _a Cl ₄]

Дальнейшее повышение кислотности* водной фазы приводит к заметному снижению оптической плотности экстракта тройного соединения. По-видимому, в этих условиях катион красителя протонируясь переходит в двузарядную фрму и тем самым нарушаются оптимальные условия экстракции.

Приведенные данные свидетельствуют о том, что даже при 6 н. по соляной кислоте водной фазе, извлекаемый красителем в органическую фазу аннонный комплекс сурьмы (V), не является гексахлор антимонатноном [SbCl₆] -.

Согласно литературным данным все ноны сурьмы чаходятся в анионном состоянии и наиболее характерное координацион юе число сурьмы
в ее анионных комплексах равно шести (³). Имеются данные и о том, что
с уменьшением концентрации соляной кислоты происходит ступенчатый
гидролиз комплексного нона [SbCl₀]: SbCl₀ + xH₂O ≃ SbCl₀ (○H)

- xHCl с образованием соединения общей формулы. Sb(OH)₁ Cl₀ 1.
где x = 1 : 6 (□)

Предварительно было установлен , что в исследуем м интервале кислотиости бенаол не экстратирует соляную вислоту или ее простую соль с катноном реагента.

^{••} При синжении концентрации солиной кислоты (0,3 н.) экстракты мутнеют.

Измерением эффекта Мессбауэра было показано, что только в концентрированной соляной кислоте существует: [SbCl6] -- нон и уже в 11.0 М НСІ в заметных количествах образуется первый продукт гидролиза: [Sb(OH)Cl5] - В 9 М НСІ в основном существует [Sb(OH)Cl5] - анион, а в 6 М НСІ доминирует продукт гидролиза [Sb(OH)2Cl4] пон в т. д. (7). Что действительно суммарный заряд образующихся гидроксо-комплексных анионов сурьмы (V) равен единице, подтвержден нами определением соотношения катиона красителя (метилового зеленого) и аниона сурьмы, которое оказалось равным 1:1 и не изменяется с изменением кислотности водной фазы. Об этом свидетельствует и постоянная оптическая плотность экстракта трехкомпонентного соединения в изученном интервале кислотности (0,3—5,0 и. НСІ—рис. 2).

Одновременно была поставлена задача изучить возможности экстракции сурьмы из растворов соляной кислоты различной концентрации, в отсутствие красителя С этой целью в качестве экстрагента была применена изообъемная смесь бензола с этилацетатом. Последняя не экстрагирует соляную кислоту из водной фазы и создает возможность извлечения сурьмы при 0,3 н. НС1 однократной, а из 1,0—3,0 и. НС1 двухкратной экстракцией. С дальнейшим повышением кислотности, экстракция сурьмы (V) резко уменьшается и при 5,0 и. НС1 сурьма (V) практически из водной фазы не экстрагируется. Далее соответствующими опытами т. е. вышеописанной методикой было нами показано, что даже в отсутствие красителя т. е. в виде соответствующих комплексных кислот при 0,3 и. НС1 в органическую фазу извлекается [Sb(OH)₅Cl] -анион, при 1,0 и. НС1 {Sb(OH)₄Cl₂] -, а из 3,0 и. по соляной кислоте водной фазы [Sb(OH)₅Cl₃] -анион.

Таким образом, как при экстрагировании бензолом в виде нонного ассоциата с катноном красителя, так и в отсутствие последнего, при извлечении указанной бинарной смесью (одним из компонентов которой является кислородсодержащий органический растворитель), составы извлекаемых гидроксокомплексов сурьмы (V) аналогичны.

Полученные нами результаты хорошо согласуются с имеющимися литературными данными, полученными спектрофотомегрическим методом (4,8), изучением экстракции (6,8) и методом изотопного обмена (9). Согласно некоторым авторам, хорошая экстракция гидролизованных комплексов сурьмы (1) объясняется отсутствием у них дипольного момента, вследствие чего не наблюдается заметная гидратация не только [SbCl₆] -, по я гядролизованных (SbCl_{6-x}(OH)) - чонов, причем происходит гидратация и сольватация только катионной части ионного ассоциата (7).

Возможность извлечения гидролизованных анионов сурьмы (V) различного состава в широком интервале кислотности повазана нами на примере основного красителя — метилового зеленого.

Ереванский государственный университет

Հայկական ՍՍՀ ԴԱ թղթակից-անդամ է Մ թառաձան, Ժ Մ ՀԱԻՍՏԱՄՅԱՆ

Հիմնային ներկերով անտիմոնի էքսաբակցիայի մեխանիզմի մասին

2bտազոտվել է օրգանական ֆազ անցնող անտիմոնի (V) անիոնային րողութեոր համասնություրն, դախվոց ձևանիր փասի հեղություրին՝ անոիրնը աղաթթվային լուժույթներից անտիմոնի (V) կրսարակցիայի մեխանիզմը՝ Հիմնային ներկ մեկիլկանաշի ներկայուկյամը։

Ցույց է տրվել, որ հայարակ 6n. ըստ աղաքիվի քրային ֆաղում բենղոլով լջսորակցվող անտիմոնի անիոնային կոմպլնքսը չի հանդիսանում հերսարլո-

ப்படி வயவாடுரிவர்கள்

Հաստատվել է, որ ներկի բացակայությամբ, բինար խառնուրցով (բենկոյ-էթիլացնտատ) էրստրակցելիս կախված ջրային ֆազի թթվությունից, որգանական ֆազ են անցնում անտիմոնի անալոգ բաղադրությամբ հիդրօքսոկոմսլլեքսները։

ЛИТЕРАТУРА- ТСЦЧЦЪПЪРЗПЪЪ

1 R Ramette, E Sandell, Anal. Chim. Acta. 13, 455 (1955). 3 11. A. BAROM. Экстракционно-фотометрические методы анализа с применением основных красителей, Изд. "Наука", М., 1970. ³ N. A. Bonner, J. Amer. Chem. Soc. 71, 3909 (1949) 4 H. M. Neumann, J. Amer. Chem. Soc, 76, 2611 (1954). 5 Г. М. Дакар, Б. З. Пофа, А. Н. Несменнов. Раднохимия, 5, 128 (1963). 4 Б. З. Нофа, 1. М. Дакар, Раднохимня, 6, 411 (1961). 1 В. А Брюханов, Б. З. Иофа, С. Н. Семенов, Радпохимия, 11, 362 (1969). • Г. М. Дакар, Б. З. Нофа, Раднохимия, 7, 125 (1965). • N. А. Воплет, W. Golshi, J. Anier. Chem. Soc., 83, 85 (1961).

УДК 553 432

полезные ископаемые

С. А Зограбин

Новые данные о структурном и магматическом контроле оруденения на Кафанском медно-полиметаллическом месторождении

(Представлено академиком АН Армянской ССР И. Г. Магакьяном 18/V 1971)

На протяжении последних десятилетий Кафанское месторождение являють объектом детальных геологических изысканий. Благодаря исследо аниям нескольких поколений геологов (идр.) в значительной стопени выяснены многие вопросы геологического строения и условий образования месторождения. Ими проделана большая работа и по расшифровке геологической структуры месторождения, хотя некоторые важные вопросы структурного контроля оруденения все еще остаются невыясненными, что, в свою очередь, затрудняет выбор правильного направления дальнейших поисково-разведочных работ.

Нерешенными остаются также вопросы генетической связи колчеданного оруденения с теми или иными магматическими образованиями.

При изучении структуры и условий формирования Ахтальского барит полиметаллического месторождения, расположенного в одной, с Кафанским месторождением, структурно-металлогенической зоне, была обнаружена тесная пространственная связь рудных тел с широко развитыми на месторождении днабазовыми и габбро-днабазовыми дайками. Было установлено, что все промышленно интересные рудные тела локализованы на участках сопряжения указанных даек с экранарующей оруденение поверхностью контакта между рудовмещающими кварцевыми плагиопорфирами и порфиритами (8).

В дальнейшем нами была сделана попытка проверить возможное проявление этой закономерности и на других, соседних с Ахтальским, месторождениях Алавердского рудного района и, в первую очередь, на Шамлугском медноколчеданном месторождении. В результате ознакомления с месторождением у нас сложилось мнение о том, что рудные жилы здесь не только не выявляют пространственной приуроченности к структурам, вмещающим диабазовые дайки, а, наоборот, сии чаще ориентируются вкрест простиранию последних.

При изучении структуры Кафанского месторождения оказалось, что и здесь рудные жилы, как правило, орнентируются вкрест простиранию

даек Многократные наблюдения подобных полимения на мнорудниках и горизонтах месторождении навели нас на мысль о на личии какой-то общей закономерности в полобных соотношениях рудных жил и даек Дальнейшие исследование подтвердили правильность этого предположения.

Установленные закономерности пространственного размещения руд ных тел на Кафанском месторождении дают основание предложить новую схему структурного и магматического контроля оруденения на месторождении и выдвинуть новые критерии для понсково-разведочных работ. Наши представления по этим вопросам сводятся к следующему

На Кафанском месторождении рудные тела, представленные медноколчеданными и колчеданно-полиметаллическими жилами (яногда сопровождающимися штокверковым оруденением) распределены на плошлди месторождения неравномерно и группируются в отдельные участки (рудники), разобщенные промежутками практически бе рудных пород.

Указанные группы жил, а местами и единичные жилы в большинстве случаев пространственно тяготеют к выходам днабазовых даек я ориентируются вкрест их простиранию.

Наиболее типичная схема структуры рудоносного участка представляется следующим образом.

В центральной части участка залегает днабазовая дайка (или серня даек) обычно северо-восточного близмериднонального направления Вкрест простиранию дайки (а иногда и под некоторым углом к ней) симметрично по обе ее стороны залегают убывающие в мощности и постепенно выклинивающиеся по мере удаления от дайки рудные жилы В результате возникает древовидная структура участка (рис. 1, 2, 3, 4), внешне напоминающая отрастание веток от ствола дерева. Это сравнение, разумеется, не должно пониматься в прямом смысле слова. Пространственную связь между диабазовыми дайками и рудными жилами надо понимать как связь структурную, принимая, что дайки и рудные жилы тяготеют к сопряженной системе трещин, а точнее, рудные жилы локализуются в трешинах отрыва, оперяющих сколовые нарушения, вмещающие диабазовые дайки. Циркуляция же гидротермальных растворов по этим рудовмещающим структурам, естественно, происходила в восходящем направлении и не в сторону от дайки, а иногда и по направлению к ней (о чем свилетельствуют нередкие случаи экранирования дайками рудных жил и прожилков). Описанные соотношения рудных жил и лиабазовых лаек наблюдаются на многочисленных горизонтах рудников 1-2, 7-10, им. Комсомола. Нор-Барабатум и многих других. Для иллюстрации сказанного на рис. 1, 2, 3 и 4 даны выкопировки с геологических планов некоторых из указанных горизонтов. Таких иллюстраций можно было бы привести очень большое количество, однако, исходя из ограниченного объема краткого сообщения, ограничимся этими

В ряде случаев наблюдается концентрация рудных жил по одну сторону от даек, в лежачем, либо висячем их боку (рудник им. Комсомола, гор. 813, 787, 746).

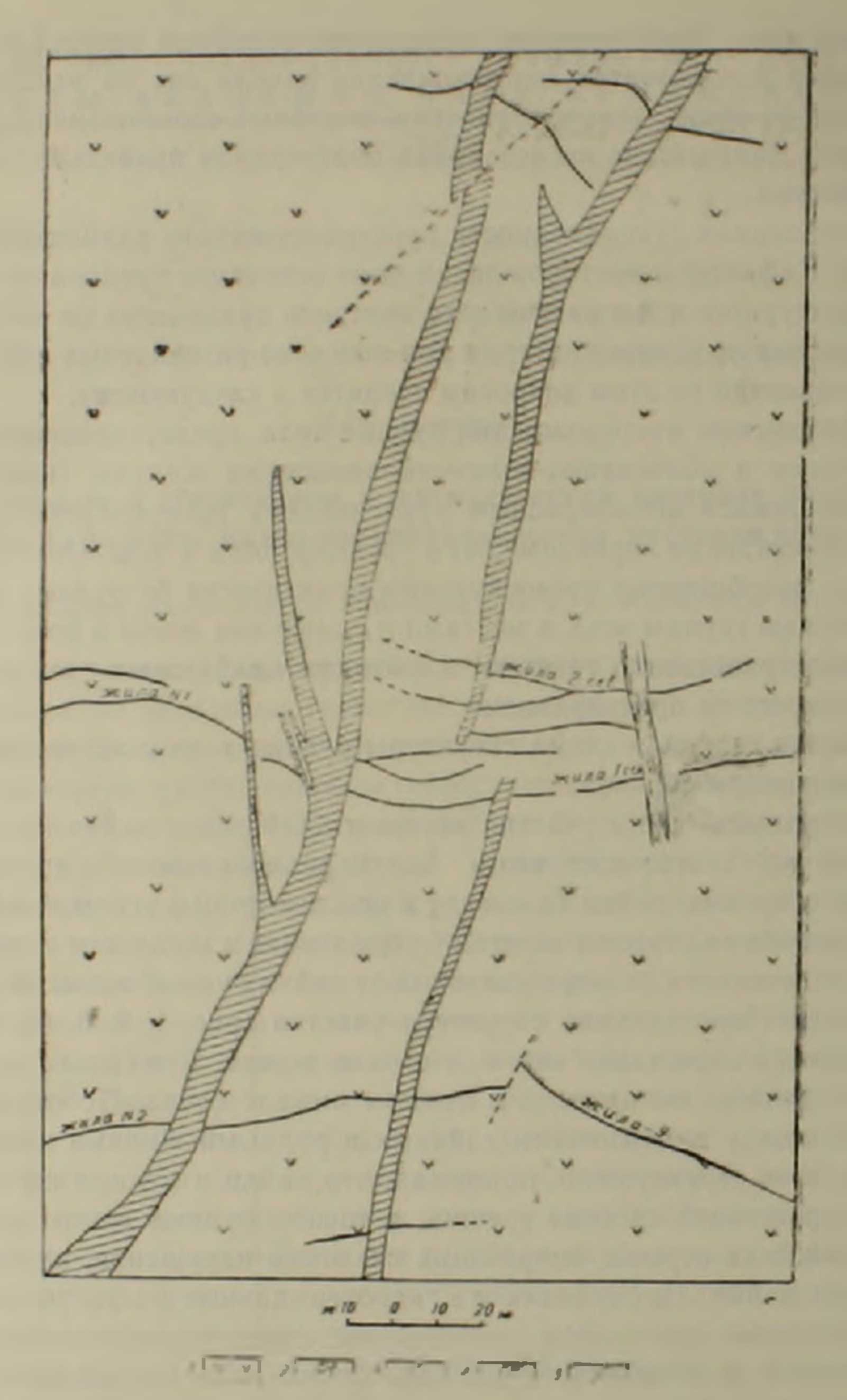


Рис 1 Рудник 1—2, гор 888 м 1—плагиоклазовые порфириты и их туфобрекчии; 2— днабазовые дайки, 3—рудные жилы, 4—тектонические нарушения, 5—небольшие трещины

Сравнительно редки случан сосредоточения колчеданных жил в блоке пород, заключенном между двумя параллельно залегающими диабазовыми дайками (рудник им. Комсомола, гор. 893, 862).

Не исключены случан локализации в самих призальбандовых частях даек сульфидных жил и прожилков, часто дающих ответвления во вмещающие породы под косыми углами к дайке (шт. Саралых-2, ствол, рудник им. С. Шаумяна, гор. 840, жила № 3 и др.).

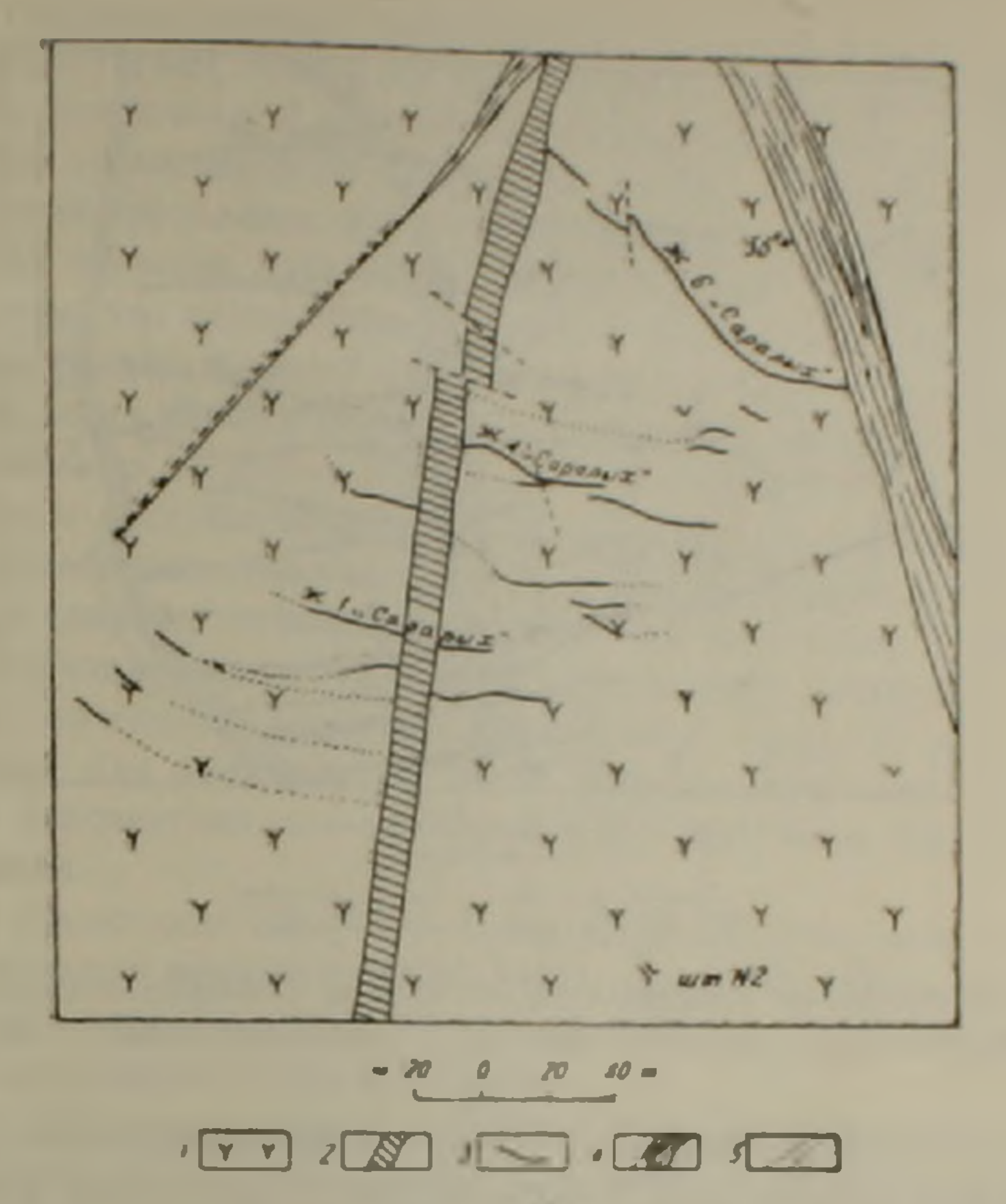


Рис. 2. Штольня «Саралых»-2, гор. 1009 — 1—плагножлановые порфиряты, 2—диабановые дайки; 3—рудные жилы, 4—техтонические нарушения, 5—предполагаемые продолжения рудных жил

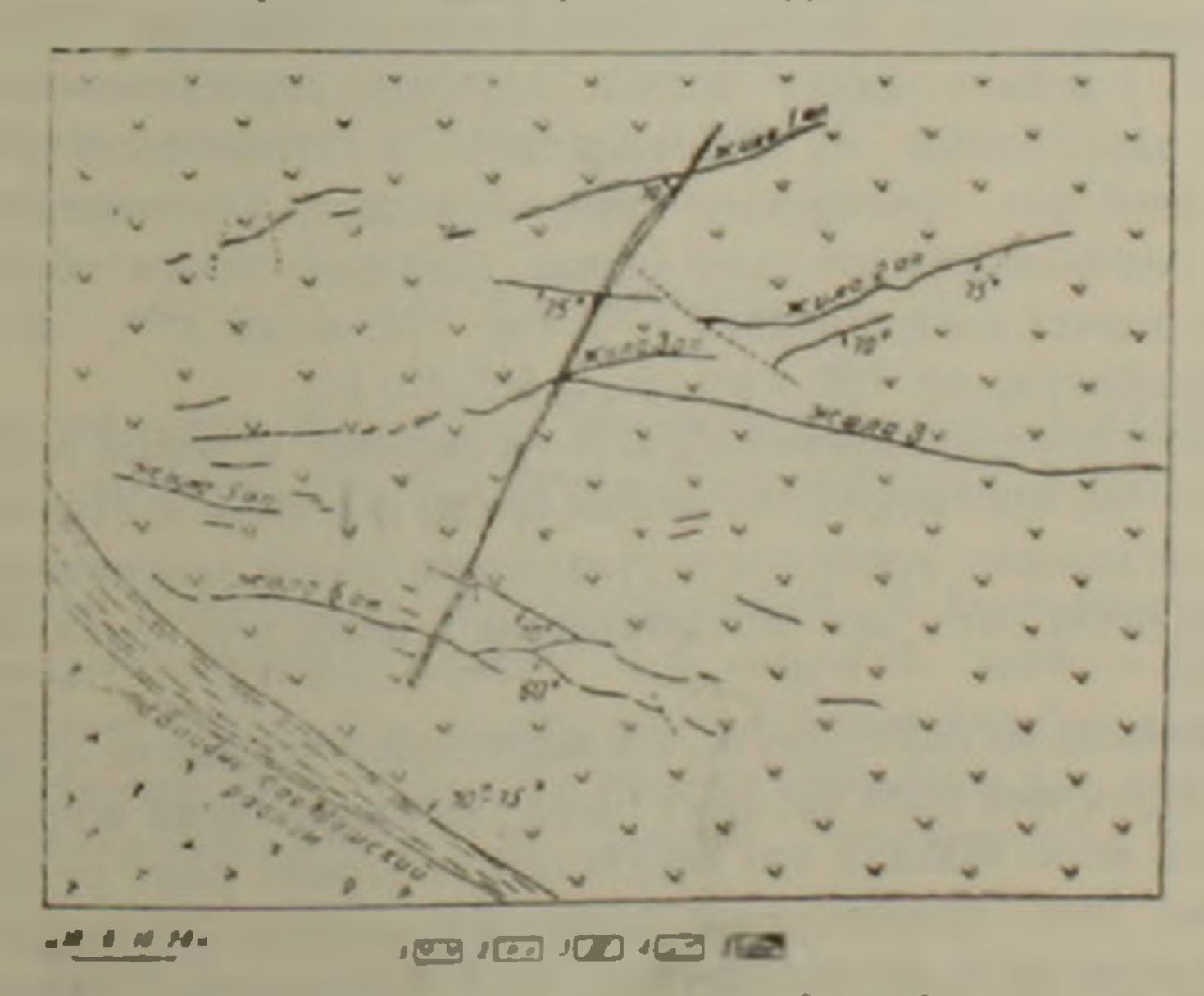


Рис 3. Рудник 7—10, уч. Катар, гор 1009 м. 1, 2 порфириты и их туфобрекчии, 3—диабазовые дайки, 4—рудные жилы, 5—тектонические на рушения

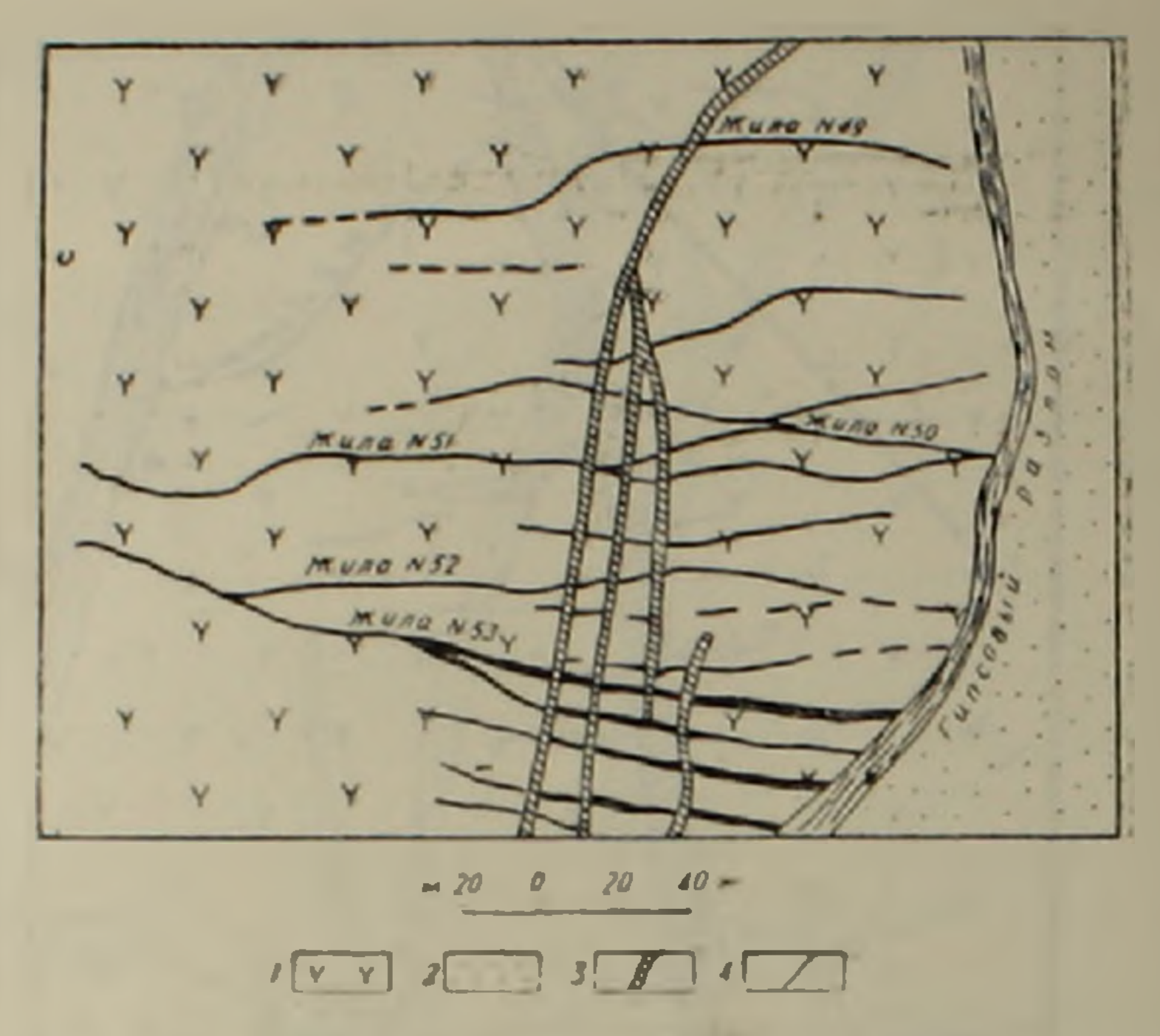


Рис 4 Рудник им Комсомолв (6), гор 813 м. I—кварц-плагноклазовые порфириты. 2— огипсованные породы, 3—днабазовые дайки, 4—рудные жилы

Насколько тесна связь и закономерна отмеченная ориентировка рудных жил относительно даек, свидетельствуют и следующие факты.

Как известно, рудные жилы на Кафанском месторождении имеют в основном близширотное простирание, а контролирующие их дайки имеют северо-восточное, близмеридиональное простирание. Однако на некоторых участках дайки вблизи крупных тектонических нарушений меняют направление на близширотное, а тяготеющие к ним рудные жилы, наоборот, приобретают северо-западное, близмеридиональное, а иногда северо-восточное простирание, сохраняя, таким образом, ориентировку вкрест дайке (рудник 1—2, гор. 888, жилы 3 сбм, 4 сев., рудник Нор-Барабатум, гор. 780, жилы 2, 3, 4, 5, 8 и 11).

Таким образом, изучение фактов и явлений, которые первоначально, казалось бы, противоречили нашим представлениям о структурном контроле оруденения, привело к установлению новых закономерностей, подтверждающих эти же представления с иной, несколько неожиданной стороны.

Необходимо подчеркнуть, что полученные данные не отрицают рудоконтролирующей роли крупных разрывных нарушений широко развитых в рудном поле. Однако эти нарушения не играли роли рудоподводящих каналов (что принималось ранее некоторыми исследователями), а подготовили и создали тектонически благоприятные условия, способствовавшие внедрению диабазовых даек и формированию последовавших за ними рудных жил. Поэтому не случайно, что рудные жилы, тяготея к участкам развития даек, больших количеств и максимальных мощностей достигают вблизи зон крупных разрывных нарушений.

Не исключены и естественны единичные случан развития рудных жил вне зависимости от диабазовых даек и, наоборот, имеются случан отсутствия оруденения вблизи некоторых диабазовых даек.

При изучении Ахтальского месторождения (9) было высказано мнение о том, что циркуляция рудоносных растворов вдоль даек основного состава свидетельствует о значительной глубине рудоносного магматического очага. Тесная связь рудных тел с дайками днабазового состава, выявляемая и на других колчеданных месторождениях Алаверди-Кафанской зоны дает основание с большей уверенностью предположить наличие парагенетической связи между этими образованиями в смысле общности единого, глубоко залегающего, магматического очага.

Установленные закономерности позволяют выдвинуть диабазовые дайки в качестве важнейшего структурного и магматического поискового критерия для обнаружения новых слепых рудных тел, что открывает новые перспективы для расширения сырьевой базы Кафанского месторождения.

В заключение следует отметить, что положения, выдвигаемые в статье, являются новыми для месторождения, возможно не лишены некоторых противоречивых моментов и, естественно, нуждаются в дальнейшем более детальном изучении.

В будущем выяснение генетической связи указанных даек с теми или иными магматическими очагами, определение места и времени формирования их в истории тектонического развития складчатой зоны, несомненно прольет свет на проблему генезиса колчеданных месторождений Армении.

Институт геологических наук Академии наук Армянской ССР

U. U. SUZPUPSUE

Նու տվյալնեւ Ղափանի պղինձ-բազմամետաղային ճանքավայրի ստուկտուռային և մագմատիկ վեռանսկման մասին

ծաղահարի չարծավանի անկղաց թը ասարցիր ը իսքավաներուղ (չարծթևսւղ)։

Հարտարի չարծաղարկիրը և հանձակար ընթությելը և հանձակար ուսևստերահանձակարի չարժարկվուղ է չարծանրանդար ուսևստենասերահանձակարի չարժարկվում է չարծանրանդար ուսևստերահանձակար անո ուսիսանի չարՀաղանականի չարժարկան ընթությելը և իսներևստ (չարծթևստ)։

Взгляды, близкие к этим, в свое время были высказаны А Эрном (1), хотя в дальнейшем все исследователи Кафанского месторождения отрицали наличие какой-либисвязи между диабазовыми дайками и колчеданным оруденением, а многие из них считали указанные дайки послерудными образованиями

ունեն տարածական սերտ կապ դիաբազային և դաբրո-դիարաղային երակնեւ բի հետ. տեղադրվում են այդ երակները ընդգրկող խախտումներին հարող հեղջերում։ Մերձհասարակածային տարածման պոկման հեղջերին հարող հանրային երակները, տեղադրված են դայկաների նկատմամբ սիմետրիկ և և կողմնորոշված են ուղղահայաց նրանց տարածմանը (երբեմն որոշ անկյատ տակ)։ Հանրային երակների հզորությունները նվազում են դայկաներից հե ռանալիս և աստիհանաբար մարում։ Այս կապակցությամբ դիաբազային և գաբրո-դիաբազային հյուսիս-արևելյան, մերձմիջորեականային ուղղության երակները առաջարկվում են դիտել որպես որոնողական կարևորագույն չա փանիչ։

Հանրայնացման տարածական և հավանաբար, ժամանակային սերտ կապր դիաբաղային երակների հետ, որը դիտվում է Ալավերդի-Ղափան ստրուկտուր-մետալոգենիկ զոնայի որոշ կոլչեդանային հանրավայրերում, վկայում է նրանց պարադենետիկ կապի դոյության մասին խորը տնղադրված մագմատիկ օջախի հետւ

ЛИТЕРАТУРА — ЭРЦЧЦЪПЬРВПЬЪ

1 А Эрн. Отчет об исследовании Катар-Кавартского месторождения медных руд Зангезурского уезда Елисаветпольской губернии, Тифлис, 1910 2 М. П. Русаков, В. Г Грушевой, «Разведка недр», № 19—20, 1934 3 В. Н. Котляр, «Известия АН СССР» (отделение мат и естеств. наук), № 2 (1938). 4 Б. С. Вартапетян, «Советская геология», № 29, 1948. 5 А. Е. Кочарян, Комсомольский рудник Кафанского месторождения меди (на арм яз.), Изл. АН АрмССР, 1948. 6 С. С. Ванюшин, Ю. А. Лейе, Э. Г. Малхасян, Кафанское мелное месторождение, Изд. НТО Цветмет, 1957. 7 В. Т. Аколян, А. Г. Казарян, Г. Г. Шехян, «Известия АН СССР» (сер. геол.), № 5 (1969), в С. А. Зограбян, ДАН Арм ССР, т. ХІ, № 1 (1965), в С. А. Зограбян, Особенности геологической структуры Ахтальского барит-полиметаллического месторождения и условия локализации рудных тел (автореферат канд. дисс.), 1967.

УДК 5504

ГЕОХИМИЯ

Р. Г. Гевориян, Г. О. Григорян

О поведении кремния и алюминия при кристаллизации щелочноземельных вулканических дифференциатов в Кафанском рудном поле (Армянская ССР)

(Представлено академиком All Армянской ССР И Г Магакьяном 20/VI 1971)

Результаты исследования особенностей поведения кремния и алюминия в условиях колебаний давления, температуры и щелочности в расплавах связанных с юрским вулканизмом (1) в Кафанском рудном полемогут восполнить наши представления о геохимических процессах, протекающих при становлении щелочно-земельной серин пород типа кварцевых порфиритов и др., с которыми тесно ассоциируют медное и полименаллическое оруденение.

Ранее установлена (2) существенная роль изменчивости давления паров воды и появление в связи с этим двух «баро-фаций» пород в соответствии с известным «геохимическим барометром Борхерта» (3). Колебаниям давления летучих компонентов в расплаве в свою очередь обязаны также последующие смещения уровней шелочности, температур кристаллизации и коэффициентов растворимости кремнезема.

Во всех этих многообразных и сложных процессах значительная роль отводится кремнию и алюминию. Ниже, на основе сопоставления данных петролого-геохимических исследований с результатами эксперимента оценены влияния давления, щелочности и температуры на поведение последних $(^{2-4})$.

Кремний. Содержание кремнезема колеблется от 50,88% в авгитовом порфирите и 53,50% в кварцевом порфирите «барабатумского типа» до 73,96%—в кварц-порфире и 77,60%—в альбитофире (данные взяты из силикатных анализов по данным Г. О. Григоряна).

Петрографически кварц входит в структурную группу вкрапленников и частично основной массы, образуя в первой зачастую прекрасно ограненные круппые бипирамидальные слегка корродированные кристаллы (5), составляющие значительную долю особенно среди кварцевых порфиритов. Условия образования бипирамидального кварца служили предметом специального обсуждения (5). Исходя из возможности приложения к вулканической системе Кафана «геологического барометра Борхерта» (2), нами были оценены колебания давления для данного случая. Из результатов работы видно, что в период раскрывания жерла или трещины вулкана резко падало давление водяных паров в камере и, наоборот, их закупорка вела к наращиванию давления. Соответственно это выражалось в появлении двух барофаций пород кварцевых порфиритов и кварцпорфиров, альбитофиров.

О степени воздействия давления при образовании всей гаммы пород Кафанского района свидетельствуют также проявления резких колебаний отношений закиси железа и его окиси в соответствии с экспериментами (3) в системе FeO—Fe₂O₃—H₂O и данными химического анализа.

В зависимости от давления меняется растворимость летучих компонентов расплава и его состав. Экспериментальные данные по растворимости летучих в расплавах свидетельствуют о том, что они более чувствительны к колебаниям давления, чем к изменениям температуры. Понижение температуры в целом приводит к повышению растворимости летучего вещества, а понижению давления отвечает обратный эффект.

Лаффит (4) также высказал предположение, что при геологической интерпретации растворимости, изученной в эксперименте (2, 6), основной упор следует делать на изменение растворимости в зависимости от давления, а не от температуры. В зависимости от смещения коэффициентов растворимости вполне подвижных компонентов от давления последует изменение кислотности-щелочности растворов, как это следует из экспериментов Мори и Хессельгессера (6) и теории (7, 8).

В этой ситуации главными конечными для системы параметрами в цепи указанных зависимостей остаются величина коэффициента растворимости и рН растворов. Это четко видно на рис. 1, где приведены за-

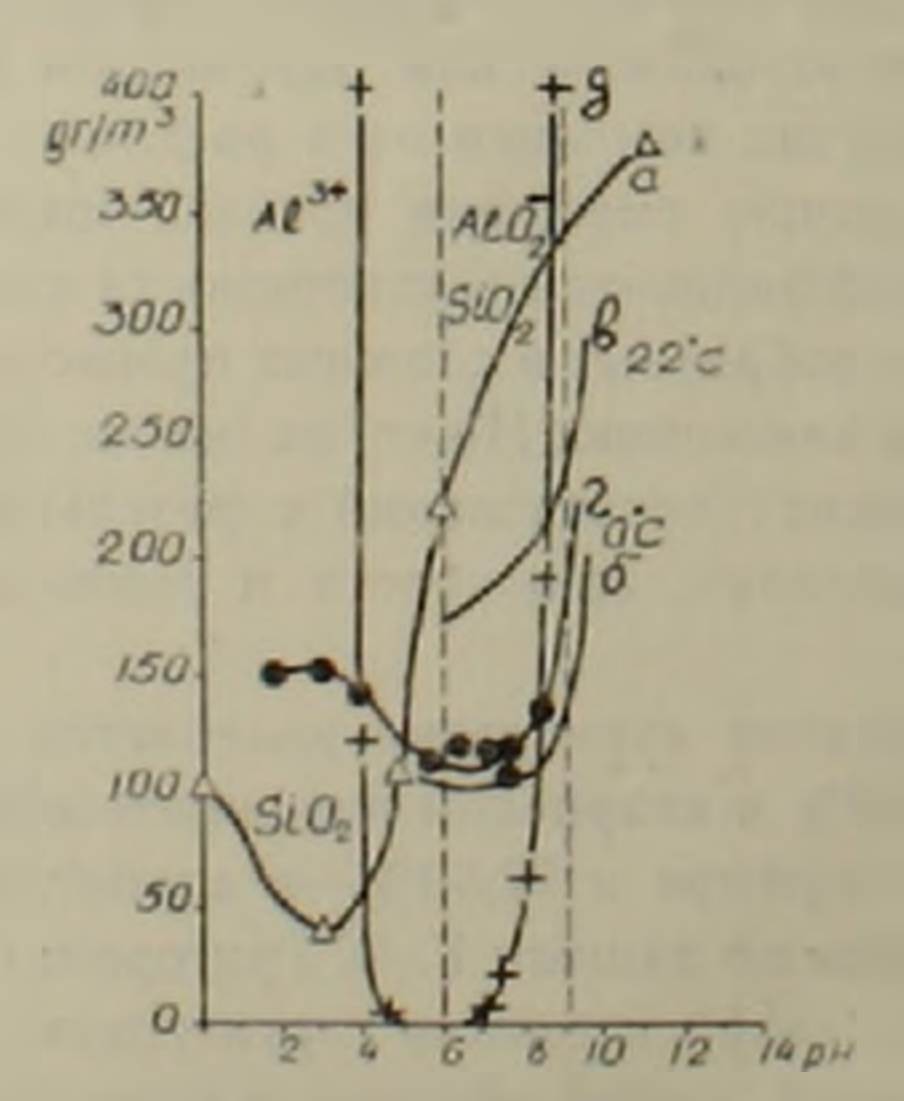


Рис 1. Растворимость кремнезема и алюминия в зависимости от значений рН (по данным различных авторов (²)). а—растворимость кремнезема по Корренсу; б—растворимость кремнезема по Окамото при 0°С; в—растворимость кремнезема при 22°С по Окамото; г—растворимость кремнезема по Александеру: д—растворимость алюминия по Брауну

висимости эмпирических конвых растворимостей кремнезема и алюминия от рН. С этой точки зрения нами рассмотрены положения и формысоответствующих конвых для пород Кафанского района в равноценных

Для кремнезема (рис. 2, a) в условиях постепенного термического охлаждения кривые растворимости будут повторять друг друга в узком интервале температур от ΔT_1 до ΔT_2 Причем диапазон ΔT_3 кристаллизации очевидно не превышает $100-200^{\circ}$

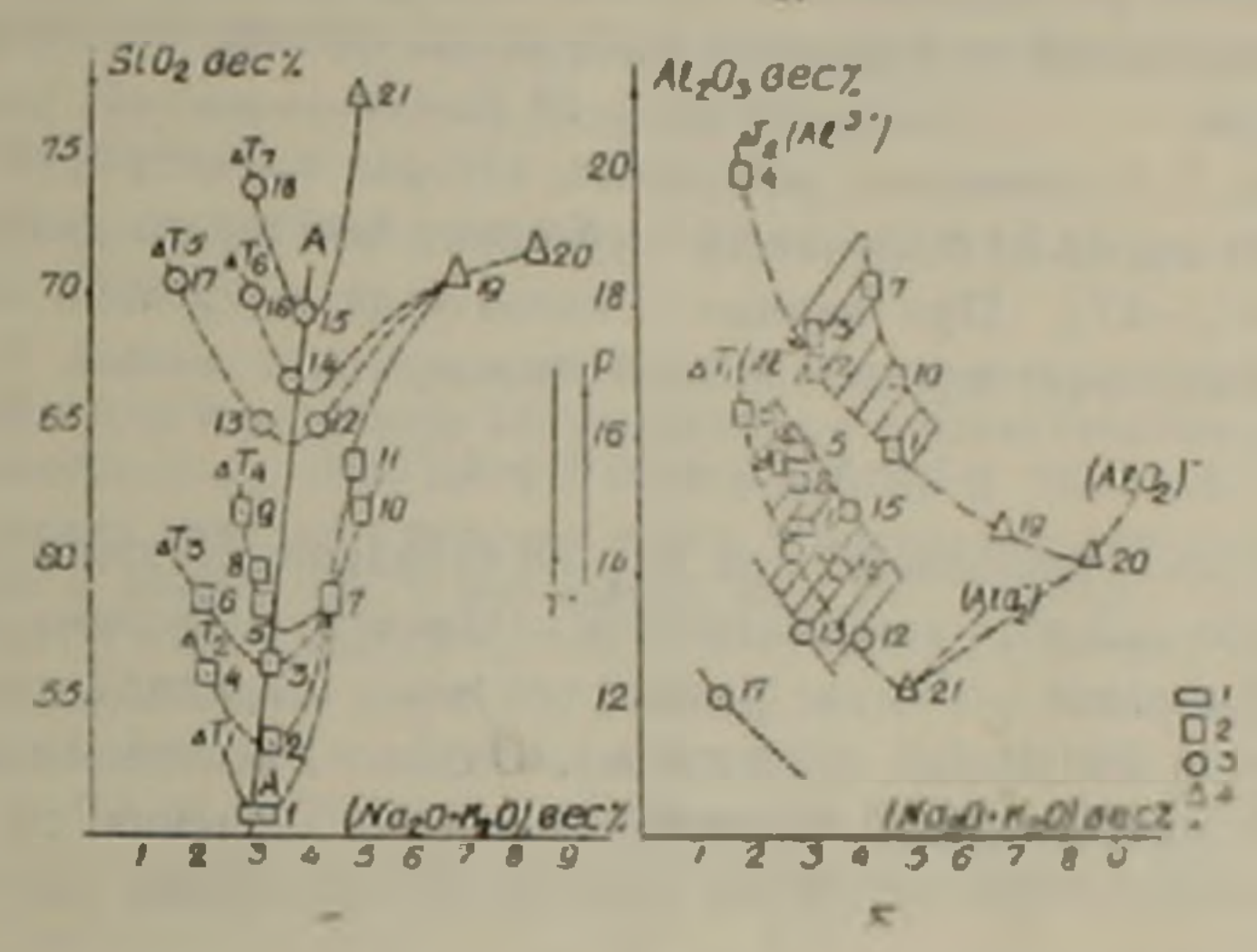


Рис. 2. Зависимости поведения кремнезема (а) и глинозема (б) от содержания щелочей в вулканических породах Кафанского рудного поля /—порфирит; 2—кварцевый порфирит. 3—кварцпорфир, 4—альбитофир Цифры—номера анализов по данным Г. О. Григоряпа

Мори и Хассельгессер (6) показали, что растворимость щелочных силикатов в воде в условиях надкритических температур велика, однако она резко падает при понижении давления.

С этой точки зрения известное воздействие колебаний давления на растворимость кремнезема и уровень щелочности объясняет выпадение раннего бипирамидального кварца из водных растворов при его понижении и последующее корродирование кристаллов с возрастанием давления летучих в магматической камере. Отсюда следует, что наибольшие потери растворимости кремнезема необходимо ожидать в интервале наименьших значений щелочности пород (левые ветви изотерм $\Delta T_1 - \Delta T_2$). По всей вероятности к этому же уровню щелочности приурочнвается и дискретное выпадение бипирамидального кварца даже в расплаве, не обладающем слишком высоким валовым содержанием кремнекислоты (например, кварцевые порфириты).

Следовательно, можно полагать наибольшее выпадение кристаллов раннего квариа в некоторой минимальной точке и изотермического сечения, за которой затем следует параллельное возрастание щелочности и содержания кремнекислоты, т. е. резко возрастает растворимость кремнести.

незема, сводящая на нет интепсивный процесс выпадзния кристаллов кварца в раннюю стадию пониженных значений давления и коэффициентов растворимостей.

Алюминий. Влиянне щелочности и температуры на поведение алюминия в соответствии с теорией Л. Л. Перчука (в) при кристаллизации щелочно-земельного расплава обсуждалось нами ранее (в). Анализ зависимости глиноземистости от щелочности и температуры кристаллизации пород Кафанского района также подтверждает закономерности, вскрытые теорией (в) и нами (в, во).

В отличие от предыдущего случая, как мы видели, щелочность не является независимым параметром, а строго зависит от давления в камере вулкана.

На рис. 2, δ приведена диаграмма, которая иллюстрирует характер зависимости пород от щелочности в условиях некоторого диапазона температур $\Delta 7_1 - \Delta 7_2$. При данных температурах и уровиях щелочности глинозем ионизирует в расплаве по основному типу:

$$1/2 \text{ Al}_2\text{O}_3 = \text{Al}^{+3} + 3/2 \text{ O}^{-2}$$
.

Возрастание щелочности при ΔT_1 по «принципу Коржинского» ведет к повышению валовых коэффициентов активности глинозема и он осаждается из расплава в составе ранних основных и средних плагноклазов (порфириты и кварцевые порфириты). Однако дальнейшее повышение щелочности, достигаемое вследствие увеличения давления, создает предпосылки для ионизации на уровне составов альбитофиров уже по кислотному типу:

$$1/2 \text{ Al}_2 \text{O}_3 + 1/2 \text{ O}_2 = \text{AlO}_2.$$

Аналогичная картина наблюдается при более низкой температуре ΔT_2 . В обоих случаях изменение температуры привело «изотермы» ΔT_1 и ΔT_2 к области более высокой щелочности и низких значений глиноземистости в точках \mathbf{e}_1 и \mathbf{e}_2 , приближающихся к «изоэлектрической точке» глинозема (10).

Показанное еще раз подтверждает возможность достижения глиноземом и другими амфолнтами (10) в условиях нарастающего давления изоэлектрической точки в расплавах (магмах) и возможность смещения этих точек с изменением температуры.

Ереванский политехнический институт им. К. Маркса

Ռ. Գ. ԳԵՎՈՐԳՑԱՆ, Հ. Հ. ԴՐԻԳՈՐՑԱՆ

Կայծքառի և ալյումինիումի վառքագիծը Ղափանի հանքային դաշտի ալկալանողային նռաբխային դիֆեռենցիատնեռի բյուռեղացման ժամանակ

րութանդար գուղարաի։ Սափարի Հարծայիր մաշակ անիանաշսմայիր շևտեխայիր տատևրթևի ենսւարացուղ քուստետրվաց է իայծճաևի ը տնյուղիրիսւղի վաևծաժիցե ւրա փատված թևիսւ ատևերև «հաևս-ֆանիարբևի» տստմանդաղը։ դրևուղ տակարավակած է նևի ժանսևշիրբևի ջրչդար փափախութեաղծ ը ժևտ հարանակար ան կայծծաևի բանագրբերութ վաևծաժիցը տեմ ետևմ տևանրոդատանվաց ստուղրառիևութեսւրբըն է ջակրրակրբեր Հարմերևոր այր բմ-

8նդող կոմպոնենտների ճնչման փոփոխության հետ է կապված ալկալականության մակարդակի, չերմաստիճանի և լուծման դործակիցների փոփոխու-

թյունները։

Այդ (փաստերով) գործոններով է ղեկավարվում թիպիրամիդային քվարցի

Ալյումինիումի վարքագիծը նման է այն համապատասխան էֆեկտներին. որոնք առաջանում են, երբ նա անցնում է այսպես կոչված շիզոէլեկտրական կնտի» միջով՝ համապատասխան Պերչուկի Թնորիայի։

ЛИТЕРАТУРА — ԳՐԱԿԱՆՈՒ№ ЗՈՒՆ

1 А. П. Лебедев, Э. Г. Малхасян, Юрский вулканизм Армении, 11зд. . Наука*, 1965. Вогспет. Der Wert gesteins- und lagerstattengenetischer Forschung für die Geologie und Rohstoffnutrung.— Ber. deutsch. Geol. Wiss., 13; 1, В., 1968. В Дж. К. Кеннеди, Равновесие между летучими и окислами железа в изверженных породах. Сб. Вопросы физико-химии в минералогии и петрографии, Изд. И.І. М., 1950. В П. С. Ловерииг, Бюллетень ОНТИ ВИМС, вып. 15. М., 1962. В Э. Г. Малхасян, Записки Арм. отд. ВМО. № 1, 1959. В Мори, Дж. М. Хессельгессер, В сб. «Экспериментальные исследования в области петрографии и рудообразования», Изд. И.І. М., 1951. В В. Щербина ДАН СССР, т. 173, № 5 (1967). В Л. Л. Перчук, «Геохимия», № 11, 1964. В Г. Гевор. КЯН, ДАН СССР, т. 176, № 2 (1967). В Л. Л. Перчук, «Геохимия», № 12, 1968.

LIII 1971

УДК 577,3

БИОФИЗИКА

Г. Л. Кантарджян, С. С. Оганесян

Исследование автоколебательного режима в биохимических цепных реакциях с обратной связью

(Представлено академиком АН Армянской ССР Г. Х. Бунятяном 1/111 1971)

Периодические изменения концентраций реагентов, участвующих в последовательных реакциях химических систем, наблюдаются, когда начальная реакция в системе регулируется обратной связью (1-3). Аллостерическое регулирование конечиым продуктом описано для многих биохимических систем (4).

Математическое исследование условий возникновения колебаний в системах биохимических реакций с обратной связью для случая, когда константы скоростей отдельных ферментативных реакций в цепи равны друг другу, было проведено Е. Е. Сельковым (1). Настоящая работа посвящена исследованию автоколебаний концентрации конечных продуктов в биохимической системе с обратной связью в случае, когда константы скоростей последовательных ферментативных реакций не равны.

С учетом сказанного рассмотрим систему цепей биохимических реакций с обратной связью

$$\xrightarrow{v_0} S_0 \xrightarrow{v_1} S_1 \xrightarrow{v_2} S_2 \xrightarrow{v_n} \cdots \xrightarrow{E_{n-1}} S_n \xrightarrow{v_n}$$

Субстрат S_n через ряд промежуточных реакций превращается в конечный продукт S_n .

 $E_1, E_2 + E_n$ — катализаторы. Убыль субстрата восполняется со скоростью v_0 , а конечный продукт со скоростью v_n стекает в реакции, потребляющие S_n .

Если допустить, что скорость начальной реакции в цепи мало зависит от концентрации субстрата, то на основании закона сохранения и действия масс, систему (1) запишем в системы дифференциальных уравнений в окрестности стационарного состояния

$$S_{1} = v_{1} - k_{1}S_{1}$$

$$S_{2} = k_{2}S_{1} - k_{2}S_{2}$$

$$S_{n} = k_{n-1}S_{n-1} - v_{n}$$

$$(2)$$

тде k_i — константы скоростен

$$(1 \le j \le n), \quad s_j = \frac{\partial s_j}{\partial t}, \quad s_j = |s_j|, \quad v_1 = v_1(s_0, s_n, t) \neq 0$$

Введем обозначения

$$V_1 = \max v_1, \quad \mu_1 = \frac{v_1}{V_1}, \quad \mu_n = \frac{v_n}{V_1}, \quad x_l = \frac{k_l \, s_l}{V_2}$$

Деля обе части уравнений системы (2) на V, приводим ее к виду

Линеаризация уравнений (3) ведет к системе первого приближения

где

$$\chi_1 = \left(\frac{\partial \mu_1}{\partial x_1}\right)_{x_n = x_n^{(0)}} \quad \chi_n = \left(\frac{\partial \mu_n}{\partial x_n}\right)_{x_n = x_n^{(0)}}$$

Будем считать, что X_1 и X_n принимают любые значения от — ∞ до $+\infty$. Система (4) имеет характеристическое уравнение.

$$\begin{vmatrix}
-k_1 - \lambda & 0 & 0 & \cdots & k_1 X_1 \\
k_2 & -k_3 - \lambda & 0 & \cdots & 0 \\
0 & k_3 & -k_3 - \lambda & \cdots & 0
\end{vmatrix} = 0$$

которое приводится к виду

$$(-1)^{n}(-k_{n}X_{n}-\lambda)\prod_{j=1}^{n-1}(-k_{j}-x)+(-1)^{n+1}k_{1}X_{1}\prod_{j=2}^{n}k_{j}=0$$

или же

$$(k_n X_n + \lambda) \prod_{j=1}^{n-1} (k_j + \lambda) - X_1 \prod_{j=1}^{n} k_j = 0.$$
 (5)

Смена динамических режимов системы при изменении параметров \mathcal{I}_1 и \mathcal{I}_n происходит при пересечении траектории точки (\mathcal{I}_1 , \mathcal{I}_n) в плоскости этих параметров с построенными линиями кратных, мнимых, нулевых корней.

Характеристическое уравнение (5) при n=2 имеет вид:

$$(k_2 \lambda_2 - \lambda)(k_1 + \lambda) - k_1 k_2 \lambda_1 = 0.$$
 (6)

Для n=2 построим линию кратных, нулевых, мнимых корней. Линия кратных корней

$$k_2^2 \lambda_1^2 + 2k_1 k_2 (\lambda_1 - \lambda_2) + k_1^2 = 0. \tag{7}$$

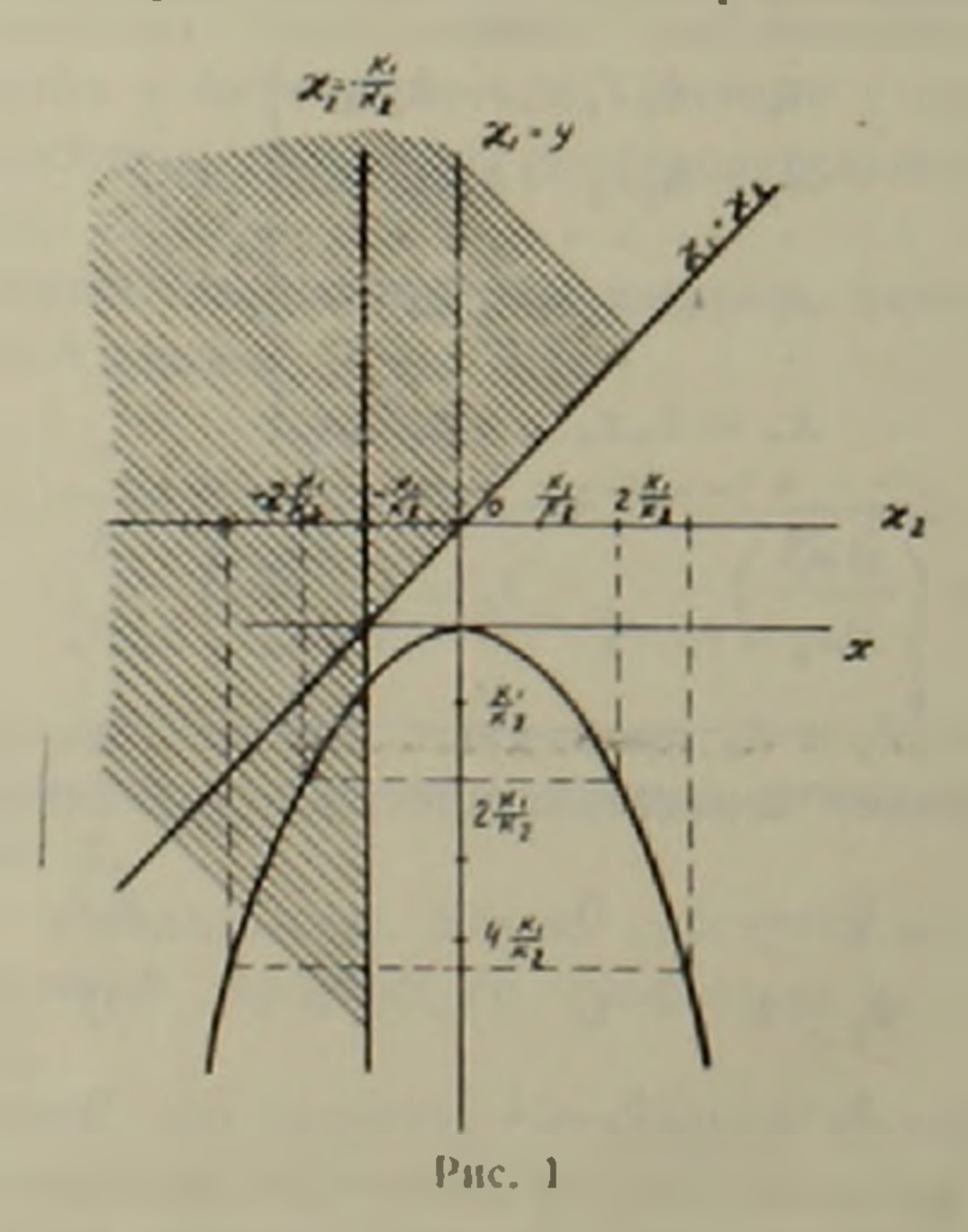
Линия нулевых корней

$$\chi_1 = \chi_2. \tag{8}$$

Линия мнимих корией

$$k_1 \lambda_2 - k_1 = 0. (9)$$

Графики полученных уравнений показаны на рис. 1. Сплошная штрихонка соответствует областям, в которых система (1) неустойчи-



ва при малых отклонениях от стационарного состояния. Область неустойчивости занимает большую часть параметрической плоскости. Следовательно, система (1) может быть неустойчива в широком диапазоне вариации параметров Z₁, Z₂

Область неустойчивости значительно увеличивается, если однако в экстремальных случаях константы скоростей не могут изменяться бесконечно, в пределе могут отличаться на один, полтора ворядка.

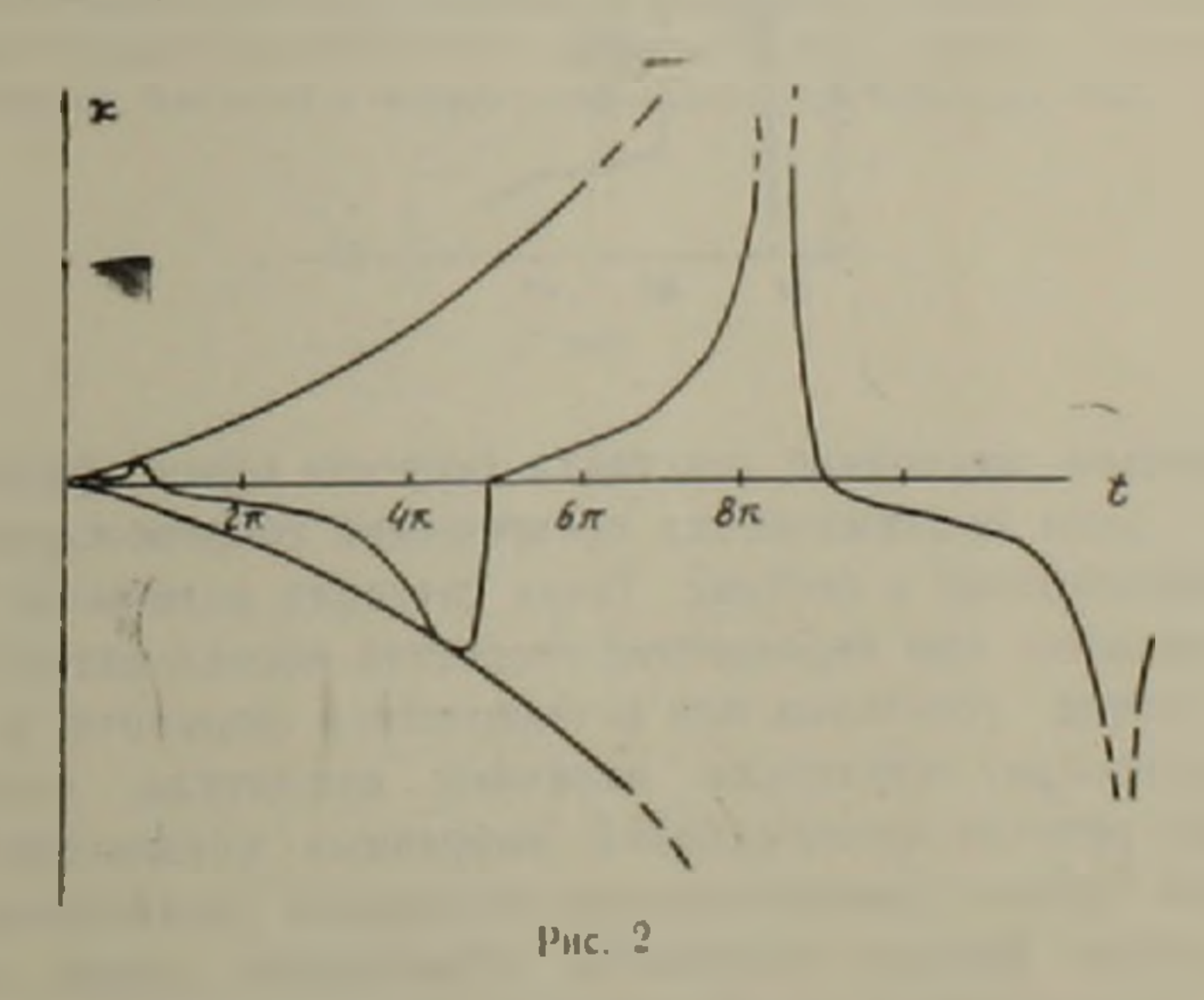
Рассмотрим поведение системы при n=3 для случая $k_2=10\,k_1$. Характеристическое уравнение будет:

$$(k_1 l_1 + l_2)(k_2 + l_3)(k_1 + l_4) - k_1 k_2 k_3 l_1 = 0.$$
 (10)

По виду корпей характеристического уравнения (10) можно судить о характере движения системы (1) вблизи стационарных состояний. В случае, когда корни характеристического уравнения имеют вид $\lambda = \alpha + i\beta$ (2 > 0) линейная модель (4) неустойчива, а в системе (1) возникают автоколебания (3).

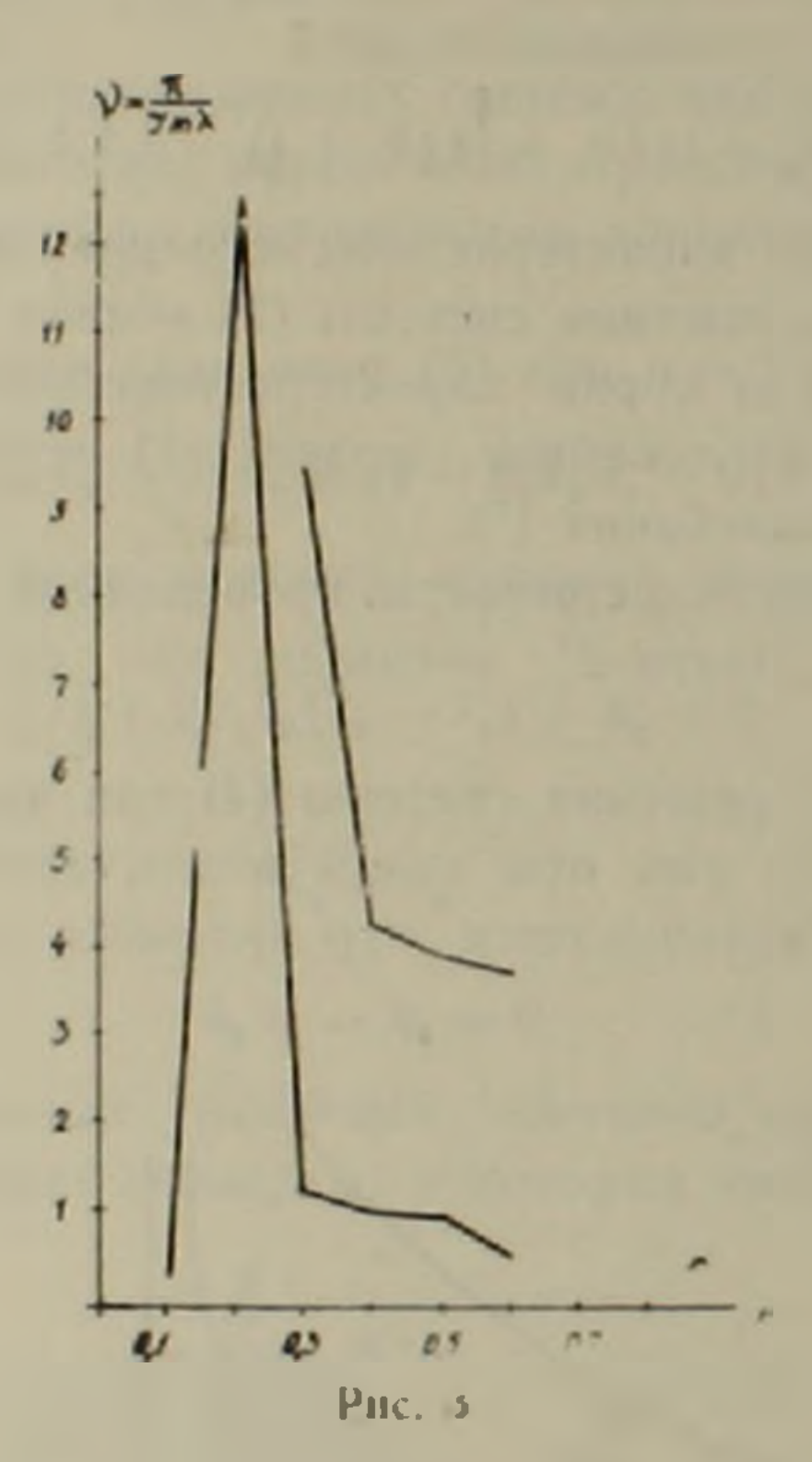
Вычислительные эксперименты, проведенные с помощью счетнорешающей машины "Наири-2" показали, что система (1) неустойчива при 0,1 — 0,9.

График одного решения системы (4) при n=3 показан на рис. 2. Из рис. 2 видно, что уже при малом возрастании времени, амплитуда колебаний резко увеличивается, что указывает на сильную неустойчивость системы.



В тех случаях когда мнимые кории характеристического уравнения (10) имеют отрицательную действительную часть, система из неустойчивого состояния переходит в устойчивое. Вычислительные эксперименты показали, что в этом случае 0,3 — 2,3 — 2,4 — 2,5

На рис. 3 дано изменение частоты колебания v = — относительно k. В тех случаях когда система (1) находится в неустойчивом состоянии максимальная частота автоколебания = 12,6 при $k_3 = 0,1$, минимальная при $k_3 = 0,1$ v = 0,3. Если система из неустойчивое осстояния переходит в устойчивое, частота колебания падает с 9,5 до 3,6. Таким образом, исследование модели биохимической системы с обратной регуляцией для случая k = k ($k \neq j = 1, 2 \cdots n$) показывает, что существует широкий класс параметров, для которых система из неустойчивого состояния переходит в устойчивое.



Очевидно, изменение константы скорости одной ферментативной реакции в цепи биохимических превращений сопровождается усилением автоколебаний в системе. Такая ситуация возможна в патологических условиях при неравенстве скоростей последовательных реакций вследствие угнетения или активирования фермента. В результате этого происходит изменение величины амплитуды автоколебаний. Изменение режима автоколебаний выбранных показателей в системе с обратной связью демонстрировано на примере увеличения амплитуды автоколебаний физико-химических показателей крови при экстремальных воздействиях на организм (5). Дальнейшая разработка этой проблемы может идти с учетом нелинейности (6), присущей подобным системам.

Институт кардиологии и сердечной хирургии Министерства здравоодранения Армянской ССР

Գ. Լ. ՂԱՆԹԱՐՋՑԱՆ, Ս. Ս. ՀՈՎՀԱՆՆԻՍՑԱՆ

Հետադառձ կեռպով կառգավոռվող բիռքիմիական շղթայի ռեակցիաների ինքնատատանման ռեժիմի հետազոտումը

ույց է տրված, որ գոյություն ունի չափանիշների մի լայն դաս, որտեղ սիստեմը գտնվում է անկայուն վիճակում և ինքնատատանման ալիքների թարձրությունը աձում էւ Կան նաև չափանիշների նեղ շրջանակ, որտեղ սիստեմը անկայուն վիճակից անցնում է կայուն վիճակի։

ЛИТЕРАТУРА — ЭГЦЧЦЬПЬ№ 5 ПЬ U

Е. Е. Сельков, Сб. Колебательные процессы в бнологических и химических системах, Из-во «Наука», 1967. 2 В. С. Гудвин, Временная организация клетки, Изд. «Мир». 1966. 3 А. А. Андронов, А. А. Витт. С. Э. Хайкин, Теория колебания, Физматгиз, 1963. 4 Ф. Б. Штрауб, «Биохимия», Изд. АН Венгрии, 1965. 5 В. К. Ткач, Сб. Колебательные процессы в биологических и химических системах Изд. «Наука», 1967. 6 Ю. М. Апонин, Е. Е. Сельков, Тезисы дохладов Всесоюзной конференции молодых ученых, посвященной 100-летию со дня рождения В. И. Ленина Пущино-на-Оке, 16—20 ноября 1970. 7 Е. А. Барбаилин, Введение в теорию устойчивости. Изд. «Наука», 1967.

УДК 577.15.07

БИОХИМИЯ

Член-корреспондент АН Армянской ССР А. А. Галоян, М. В. Оганян, Г. Г. Геворкян

Выделение и некоторые свойства находящихся в крови коронароактивных веществ

(Представлено 30/VI 1971)

Ранее нами было сообщено о выделении двух коронарорасширяющих нейрогормонов из гипоталамо-нейрогипофизарной системы животных (1-4). Было показано значение М-холинореактивных субстанций мозга в выделении из мозга коронарорасширяющих нейрогормонов. Нам удалось выделить коронарорасширяющие начала из крови в комплексе с белковыми фракциями сыворотки альбуминами и гамма-глобулинами (1) В настоящем исследовании мы задались целью выделить из крови, оттекающей из мозга животных, низкомолекулярные коронароактивные гормоны.

Опыты проводились на кошках, наркотизированных уретаном с хлоралозой (из расчета 1 г уретана и 0,1 г хлоралозы на 1 кг веса животного, внутрибрюшинно). Кровь брали из v. vertebralis животных. Кошкам внутрицистернально вводили гистамин (0,1 мг на 1 лг), брали кровь через 20 мин после инъекции гистамина. Кровь выдерживали 30 мин при 37°C для образования стустка, затем отделяли сыворотку центрифугированием. Цельную сыворотку ставили на диализ против 2N уксусной кислоты на 24 часа при 4°C. Диализат лиофилизировали и подвергали гелевой фильтрации на колонках Сефадекс G10. 50 иг лиофилизированного порошка растворяли в 5 мл дистиллированной воды, центрифугировали, надосадочную жидкость наносили на колонку. Элюцию производили 0,067 М фосфатным буфером рН 7,4 со скоростью 10 мл/ч. Элюаты собирали по 5 мл. Оптическую плотность элюатов определяли на СФ-4Л (280 ммк). Биологическую активность фракций определяли по методу Моравитца и Цана (6). Содержимое высушенных элюатов разделяли хроматографней на бумаге FN-1 в системе бутанол:уксусная кислота:вода (4.1.5). Элюаты хроматографических фракций сушили и подвергали гидролизу с 6N HCl при 105°C в течение 24 часов.

На рис. 1 показан профиль элюции коронароактивных веществ из колонки. Биологическое испытание элюатов фракций показало, что коронарорасширяющие начала сосредоточены в пределах 2-го и 4-го пиков (указано стрелками).

При внутривенном введении кошкам поата 2 година 5 м., количество крови, оттекающей из венозных сосудов сердца, через 5 мин после введения препарата увеличивается на 40% (±2,3) Эгот эффект постепенно исчезает через 1.5—2 часа Артериальное давление при этом в течение первых 15—20 минут опыта незначительно повышается и затем возвращается к исходному уровню.

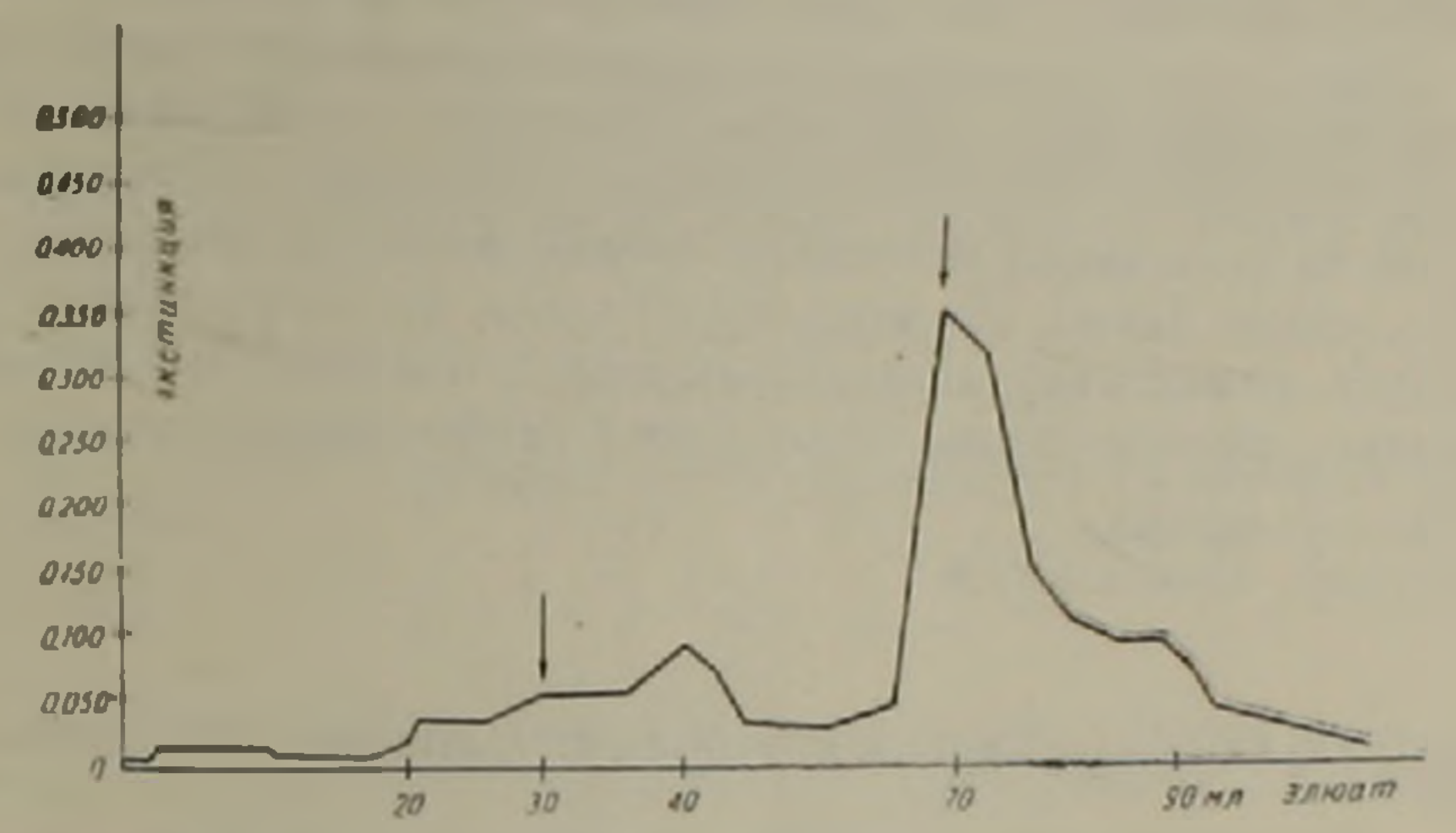


Рис. 1. Профиль элюции коронарорасширяющих соединений из колонки Сефадекс G-10. Буфер фосфатный, 0,067 М, рН 7,4. Скорость элюции 10 мл/час. На горизонтальной линии количество элюатов в мл. На вертикальной линии экстинкция

При введении элюата 4-го пика (5 мл) количество коови, оттекающей из коронарного синуса сердца, увеличивается через 1 час на 100%. Этот эффект длится более 3-х часов. На протяжении опыта артериальное давление не подвергается заметным изменениям.

Элюат 4-го пика после разделения методом бумажной хроматографии обнаруживает два коронароактивных пятна. Элюат одного из них с коэффициентом распределения (Rf) 0,15 при внутривенном введении кошке увеличивает количество крови, оттекающей из венозных сосудов сердца, на 60% (±3,8%). Эффект длится около 1,5 часов.

Элюат другого пятна (Rf 0,35) при внутривенном введении кошке вызывает увеличение количества крови, оттекающей из венозных сосудов сердца на $130\% \ (\pm 3,3\%)$. Эффект нарастает в течение 20 минут и длится около одного часа.

Элюаты хроматографических пятен, активных в отношении коронарного кровообращения, после кислотного гидролиза обнаруживают следующие свойства — гидролизат первого пятна (Rf 0,15) полностью сограняет свое коронарорасширяющее действие. Гидролизат 2-го пятна (Rf 0,35), наоборот, не оказывает эффекта на коронарный отток у кошки, оставляя его без изменений.

Мы попытались обнаружить в крови после гистаминовой провокации также коронаросуживающие вещества. При гелевой фильтрации цельной сыворотки крови сефадексом G-200 мы обнаруживали коронаросуживаю-

щую фракцию, которая вызывает суживание коронарных сосудов на 10-й минуте после введения в течение более чем одного часа. Артериальное давление при этом не меняется.

Результаты наших исследований показывают, что в крови нормальных животных имеется два коронарорасширяющих вещества, количество которых увеличивается при провокации гипоталамо-гипофизарной системы гистамином. Эти вещества по своим коэффициентам распределения (Ri) на бумажной хроматограмме совпадают с веществами «К» и «С», выделенными из гипоталамуса. Однако для полной идентификации этих веществ необходимы дальнейшие физико-химические исследования.

Полученные данные свидетельствуют о том, что нейрогормоны гипоталамуса, по-видимому, парагипофизарным путем поступают в общую циркуляцию, достигая сердца в комплексе с сывороточными белками.

Институт биохимии Акалемии наук Армянской ССР

Հայկական IIIIՀ ԴԱ բղբակից-անդամ Ա. Ա. ԴԱԼՈՅԱՆ, Մ. Վ. ՕԴԱՆՑԱՆ, Հ. Դ. ԴՍՎՈՐԳՅԱՆ

Աւլան մեջ գտնվող պսակաձև անոթնեւը լայնացնող նյութեւի անջատումը և նւանց ուռչ հատկություննեւը

Մեր Նախկին հետաղոտությունները պարզել են, որ հիպո<mark>թալամո-նեյրո-</mark> հիպոֆիղար համակարգությունում սինթեղվում են երկու պսակաձև անոթները յայնացնող հորմոնները։

Ներկա Տետազոտության նպատակն է պարզել նշված հորժոնների առկայությունն արյան մեջ։

Հետաղոտությունների արդյունքները ցույց տվեցին, որ նորմալ կատուների արյունից ժելային ֆիլտրացիայի և թղթային քրոմատոգրաֆիայի եղանակներով կարելի է անջատել պսակաձև անոթները լայնացնող երկու նյութեր։ Արյունում նշված նյութերի քանակությունն ավելանում է հիստամինային արդուկությունն ավելանում է հիստամինային

ЛИТЕРАТУРА — ЭГЦЧЦЫПЬР 5ПЬ

1 А. А. Галоян, ЛАН Арм. ССР, т. 34, № 3, 109 (1962). 2 А. А. Галоян, Некоторые проблемы биохимии гипоталамической регуляции, изд. «Айастан», Ереван, 1965. 3 А. А. Галоян, Вопросы биохимии мозга, т. 3, 291, 1967. 4 А. А. Галоян, Тезисы доклядов Всесоюзной конференции, посвященной 70-летию со дня рождения Х. С. Коштоянца, Ереван, 1971. 6 А. А. Галоян, Р. А. Алексанян, М. В. Агаронян, Г. Г. Гепоркян, ДАН Арм. ССР. т. 54. — 2, 82 (1967). 4 Р. Могашит, А. Zahn, Dt. Arch. Klin. med., 116, 364 (1914).

